

ZADÁNÍ DIPLOMOVÉ PRÁCE

(PROJEKTU, UMĚLECKÉHO DÍLA, UMĚLECKÉHO VÝKONU)

pro
Františka Kulhavého

obor
23 - 07 - 8 strojírenská technologie

Vedoucí katedry Vám ve smyslu nařízení vlády ČSSR č. 90/1980 Sb., o státních závěrečných zkouškách a státních rigorózních zkouškách, určuje tuto diplomovou práci:

Název tématu: **Racionalizace mezioperační manipulace se sekciemi bezvřetenových dopřádacích strojů BD a BDA v pres-toru zapřádání s využitím vozíků na vzduchovém polštáři**

Zásady pro vypracování:

1. Politicko-ekonomický význam zadání
2. Rozbor stávajícího stavu mezioperační manipulace v objektu
3. Technicko-organizační studie manipulace se sekciemi
4. Konstrukční návrh univerzálního vozíku na vzduchovém polštáři pro přepravu sekce typu BD 200 RN a BDA 10, včetně řešení rozvedu tlakového vzduchu pro navržené řešení
- 5: Ekonomické zhodnocení navrženého řešení, závěr

V 248/87 ✓

VYSOKÁ ŠKOLA STROJNÍ A TEXTILNÍ
Ústřední knihovna
LIBEREC 1, STUDENTSKÁ 5
PSČ 461 17

Rozsah grafických prací: Konstrukční podklady pro vozíky na vzduchovém polštáři - dle potřeby
Rozsah průvodní zprávy: cca 40 - 50 stran textu

Seznam odborné literatury:

Líbal, V. a kol.: Organizace a řízení výroby. SNTL 1976

Mayer, J.: Teoretické základy energetických zařízení. II. díl,
skripta VŠST Liberec, 1984

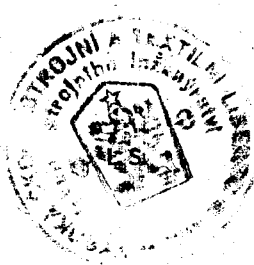
Kušník, M.E.: Transportnyje ustrojstva na vozdušnoj poduške,
Montažnyje i specialnyje roboty v strojitélstvě,
9/1975

Vedoucí diplomové práce: Ing. Ivana Kubelková, CSc.

Konzultant: Ing. Jiří Blecha, Elitex ,p. Ústí n/Orlicí

Datum zadání diplomové práce: 6. 10. 1986

Termín odevzdání diplomové práce: 11. 5. 1987



Gazda
Doc. Ing. Jaromír Gazda, CSc.
Vedoucí katedry

or H. Kubelkou
Doc. Ing. Ján Alaxin, CSc.
Děkan

v Liberci dne 30. 9. 19..... 86

Vysoká škola strojní a textilní v Liberci
nositelka Řádu práce

Fakulta strojní
obor 23-07-8 - strojírenská technologie
zaměření obrábění a montáž

Katedra obrábění a montáže

Racionalizace mezioperační manipulace se sekčemi bez
vřetenových dopředacích strojů BD a BDA v prostoru
zařízení s využitím vozíků na vzduchovém polštáři

KOM - OM - 502

František Kulhavý

Vedoucí práce: Ing. Ivana Kubelková CSc, Katedra obrábění
a montáže VŠST Liberec

Konzultant: Ing. Jiří Blecha, projektant FVZ a.s. ELIT
Ústí nad Orlicí

Počet stran: 63

Počet příloh: 4

Počet tabulek: 11

Počet obrázků: 16

Počet výkresů: 4

Počet modelů nebo jiných příloh: -

Vysoká škola strojní a textilní v Liberci

nositelka Řádu práce

Fakulta strojní

obor 23-07-8 - strojírenská technologie

zaměření obrábění a montáž

Racionalizace mezioperační manipulace se sekčemi bezvřetenových dopředacích strojů BD a BDA v prostoru zapředání s využitím vozíků na vzduchovém polštáři

KOM - OM - 502

František Kulhavý

Vedoucí práce: Ing. Ivana Kubelková CSc, katedra obrábění
a montáže VŠST Liberec

Konzultant: Ing. Jiří Blecha, projektant RVP k.p.ELITEX
Ústí nad Orlicí

Počet stran: 63

Počet příloh: 4

Počet tabulek: 11

Počet obrázků: 16

Počet výkresů: 4

Počet modelů nebo jiných příloh: -

Místopřísežně prohlašuji, že jsem tuto Diplomovou
práci vypracoval samostatně s použitím uvedené
literatury.

V Liberci dne 3. května 1987

Obsah:

List:

Seznam příloh	2
Seznam použitých zkrátek a symbolů	3
1. Úvod	6
2. Současný stav manipulace se sekciemi	9
2.1. Umístění a funkce jednotlivých pracovišť	9
2.2. Manipulace se sekciemi při jejich odvozu	11
2.3. Manipulace se sekciemi při jejich výměně	14
3. Navrhovaný způsob manipulace se sekciemi	18
3.1. Přepravní plošiny a podmínky jejich provozu	18
3.2. Manipulace se sekciemi při jejich odvozu	22
3.3. Manipulace se sekciemi při jejich výměně	24
4. Návrh provozního předpisu	27
4.1. Základní ustanovení	27
4.2. Pracovní doba	27
4.3. Pracovní činnosti	27
4.4. Specifické podmínky manipulace s materiélem	29
4.5. Specifické bezp. a hygienické podmínky	30
4.6. Specifické požární podmínky provozu	31
4.7. Odpovědnost pracovníků	31
5. Teorie vzduchového polštáře	33
5.1. Návrh pneumatické opěry	33
5.2. Princip funkce vzduchového polštáře	33
5.3. Tlakové parametry vzduchového polštáře	34
5.4. Průtokové parametry vzduchového polštáře	37
5.5. Výkonové parametry vzduchového polštáře	39
5.6. Vliv velikosti abs. tlaku na parametry opěry	40
5.7. Charakteristika pneumatické opěry	44
5.8. Dopravní plošina s n pneumatickými opěrami	46
6. Konstrukční část	48
6.1. Konstrukce plošiny na vzduchovém polštáři	48
6.2. Konstrukce závěsného zařízení přív. hadice	49

7.	Ekonomické zhodnocení	50
7.1.	Produktivita práce a její dynamika	50
7.2.	Úspory	52
7.3.	Nutné náklady na navrhovaný způsob manipulace	56
7.4.	Návratnost vynaložených nákladů	60
8.	Závěr	62
	Seznam použité literatury	63

Seznam příloh:

- Příloha 1 - Základní rozměry sekcí strojů BD 200 RCE(RN)
a BDA 10
- Příloha 2 - Situační plán haly zábíhání a konečných úprav
pro výrobu sekcí strojů BD 200 RCE(RN)
- Příloha 3 - Situační plán haly zábíhání a konečných úprav
pro výrobu sekcí strojů BDA 10
- Příloha 4 - Výkres stavitelného stojanu pod sekce

Seznam použitých zkrátek a symbolů

- a_j - počet sekcí do jednoho stroje (sekce/stroj),
A - náklady na výrobu plošin na vzduchovém polštáři (Kčs),
A₁ - náklady na nákup elementů vzduch. polštáře (Kčs),
A₂ - náklady na výrobu rámu plošin (Kčs),
b_j - počet pracovníků v dané operaci (prac./sekci),
B - roční úspora fin. prostř. ze snížení spotřeby elektrické energie (Kčs),
B_i - roční úspora el. energie v dané operaci (Kčs),
B_{i(j)} - roční úspora el. energie v dané operaci a při daném pohybu jeřábu (Kčs/rok),
c_j - příkon elektromotoru pro j-tý pohyb (kW),
C₁ - cena jednoho vzduchového polštáře (Kčs/ks),
C₂ - výrobní cena jednoho rámu plošiny (Kčs/ks),
C₃ - výrobní cena jedné kladky (Kčs/ks),
C₄ - výrobní cena shrnovací lišty (Kčs),
C₅ - montážní náklady na rozvod tlakového vzduchu (Kčs),
C₆ - náklady na výrobu 1 m³ tlakového vzduchu (Kčs/m³),
C₇ - cena úpravy 1 ks stojanu (Kčs/ks),
C₈ - náklady na výrobu 1 ks stojanu pod sekce (Kčs/ks),
C₉ - náklady na položení 1 m² plastbetonu (Kčs/m²),
C₁₀ - nákupní cena 1 m hadice (Kčs/m),
C₁₁ - celkové nákupní cena potřebné vzduchotechniky (Kčs),
d - cena 1 kWh elektrické energie (Kčs/kWh),
D - průměr pneumatické opěry (m),
E - celkové náklady na rozvod tlakového vzduchu (Kčs),
E₁ - náklady na zhotovení nosného prvku hadice (Kčs),
E₂ - náklady na výrobu a montáž nosných kladek (Kčs),
E₃ - náklady na hadice a potřebnou vzduchotechniku (Kčs),
f_s - součinitel vlečného tření vznášející se opěry (l),

g	- tříhové zrychlení zemské (m/s^2),
G	- hmotnost břemene (kg),
h	- zdvih opěry nad podložkou (m),
H	- roční náklady na výrobu potřebného tlak. vzduchu (Kčs/rok),
H_i	- roční náklady na výrobu potřebného tlak. vzduchu v i-té operaci (Kčs/rok),
J	- celkové náklady na stojany pod sekce (Kčs),
J_1	- náklady na úpravu stojanů (Kčs),
J_2	- náklady na vyrobení nových stojanů (Kčs),
m	- počet průjezdů jeřábu daným místem (l),
M_k	- roční výroba strojů daného typu (strojů/rok),
n	- počet pneumatických opěr na jedné plošině (ks/plošinu),
n_R	- počet let, za který nám úspory vyrovnejí náklady (rok),
N_L	- výkon vzduchu při vznášení opěry (W),
N_S	- výkon při posuvu vznášející se opěry (W),
N_V	- úhrnný výkon na vznášení a posuv opěry (W),
p	- absolutní tlak v opěře (Pa),
p_o	- atmosférický tlak (Pa),
Δp	- přetlak vzduchu v opěře (Pa),
P	- celkové náklady na opravu podlahy (Kčs),
p_1	- náklady na odstranění kolejí (Kčs),
p_2	- náklady na položení vrstvy plastbetonu (Kčs),
Q	- hmotnostní průtok vzduchu otvorem (kg/s),
Q_i	- množství vyrobených produktů (ks),
R	- měrná plynová konstanta vzduchu (J/kgK),
s_2	- počet vyráběných plošin (ks),
s_3	- počet stojanů k opravě (ks),
s_4	- počet stojanů k výrobě (ks),
s_5	- plocha, která bude pokryta novou vrstvou plastbet. (m^2),
s_6	- počet nosných kladek (ks),
s_7	- celková potřebná délka přívodních hadic (m),

- S - plocha pneumatické opěry (m^2),
- S_C - plocha výtokového průzezu (m^2),
- s - šíře obrazce v Sankeyově diagramu (mm),
- t_{iv} - doba spotřeby tlak. vzduchu pro daný stroj (hod/stroj),
- $t_{i(j)S}$ - stávající čas j-tého pohybu jeřábu v i-té operaci (hod/stroj),
- $t_{i(j)N}$ - navrhovaný čas j-tého pohybu jeřábu v i-té operaci (hod/stroj),
- T - absolutní teplota vzduchu (K),
- T_i - odpracovaný čas (hod),
- T_{iS} - stávající výkonová norma jedné sekce (hod),
- T_{iN} - navrhovaná výkonová norma jedné sekce (hod),
- U - celková roční úspora z mezd (Kčs/rok),
- U_i - roční úspora na mzdách v dané operaci při výrobě daného stroje (Kčs/rok),
- v_s - rychlosť posuvu plošiny (m/s),
- V - objemový průtok vzduchu otvorem (m^3/s),
- V_i - produktivita práce (ks/hod),
- V_{iS} - produktivita práce stávající (ks/hod),
- V_{iN} - produktivita práce v navrženém způsobu (ks/hod),
- V_v - spotřeba tlakového vzduchu plošinou (m^3/hod),
- W - celková výše všech nákladů (Kčs),
- X - výtokový součinitel (l),
- Z - celkové úspory vzniklé zavedením nového způsobu manipulace se sekciemi (Kčs/rok),
- z_k - hodinový mzdový tarif jednoho prac. (Kčs/hod a prac.),
- α - součinitel kontrakce (l),
- ϱ - měrná hmotnost vzduchu před otvorem (kg/m^3).

1. Úvod

XVII. sjezd KSČ při koncipování cílů sociálně ekonomického rozvoje vycházel z důkladné analýzy tendencí vývoje v uplynulých 15 letech a zejména v období 7. pětiletky. Hlavním východiskem programu XVII. sjezdu byly však podmínky a požadavky budoucího vývoje, které posuzoval jak z vnitřního, tak mezinárodního hlediska. Základem dalšího rozvoje se stal společný zájem a úsilí celého socialistického společenství v čele s SSSR o další progresivní rozvoj socialismu, o plné prosazení jeho přednosti ve spojení s vymoženostmi vědeckotechnické revoluce.

Generální linií hospodářské a sociální politiky strany v nadcházejícím období 8. pětiletky a ve výhledu do roku 2000 se stala strategie urychlení sociálně ekonomického rozvoje, směřující k podstatnému zvýšení efektivnosti našeho hospodářství cestou urychlené a všeobecné intenzifikace, založené na plném uplatnění vědeckotechnického pokroku ve výrobě i v dalších oblastech činnosti.

Je nezbytné se odpoutat od dosavadních tendencí vývoje a zajistit vyšší tvorbu zdrojů než v předcházejícím desetiletí. Náročnost úkolů není ani tak v požadovaném tempu růstu samém, jako spíše v nárocích na vzestup efektivnosti. V nadcházejícím období je 3,5 % růst národního důchodu podmíněn růstem efektivnosti minimálně o 1,3 % ročně, tedy tempem více jak dvojnásobně vyším než v předcházející etapě vývoje.

Podstata a hlavní obsah strategie urychlení proto tkví především v urychlení procesu intenzifikace a v dosažení nové kvality ekonomického růstu. Strategie urychlení proto obrací pozornost k těm intenzifikačním činitelům, které

jsou schopny překonávat dlouhodobé bariéry na straně zdrojů.
Základem se proto stává:

- uplatnění vědeckotechnického pokroku ve výrobě,
- rozvinutí mezinárodní dělby práce na bázi socialismu a ekonomické integrace členských zemí RVHP,
- systematické zdokonalování hospodářského mechanismu.

Náš koncernový podnik ELITEX Ústí nad Orlicí zaujímá významné místo v textilním strojírenství zejména vývozem bezvřetenových dopřádacích strojů BD 200 RN, BD 200 RCE a automatizovaných strojů bezvřetenového předení BDA 10 do socialistických i nesocialistických zemí. Pokud chceme hodnotit první rok 8. pětiletky z pohledu závěrů XVII. sjezdu KSČ, je nutno konstatovat, že větší díl práce nám zbývá zabezpečit v dalších letech pětiletky. Současný stav nezabezpečuje dynamiku a úkoly se zvládají ne technicko-organizačními zásahy, ale za pomoci mimořádných opatření, včetně brigád techniků.

Stranické, odborové a svazácké organizace podniku projednaly vypracovaný Stabilizační program k.p. ELITEX Ústí nad Orlicí do roku 1990 a výhled do roku 2000 s tím, že vedení podniku musí zabezpečit hlavní cíle, které určuje linie XVII. sjezdu tak, aby došlo k upevnění výroby textilních strojů a to jak v efektivnosti výroby, tak i v kvalitě. Jedině dlouhodobým programem rozvoje podniku je možné odstranit současné nedostatky a navrátit našemu podniku dřívější lesk. V nejbližší době je nutno proto připravit moderní techniku ke zvýšení produktivity práce a zvýšit i samotnou organizaci práce na všech pracovištích.

Jedním z kroků, které by měly přiblížit výše uvedené cíle v našem závodě, je i zlepšení manipulace se sekczemi. Tato manipulace v prostoru haly zabíhání se dosud provádí

pomocí elektrického mostového jeřábu a kolejového vozíku, což je neoperativní a zdlouhavé. V poslední době se ve světě objevila nová dopravní technika, založená na využití vzduchového polštáře sloužícího k pronikavému zmenšení vlečného tření mezi pohybujícím se předmětem a podložkou, po níž se předmět pohybuje.

Tato práce se proto zabývá nasazením a využitím této nové dopravní techniky, přesněji řečeno dopravních plóšin na vzduchovém polštáři, ke zlepšení a urychlení manipulace se sekczemi v prostoru haly zabíhání a části expedice.

2. Současný stav manipulace se sekciemi v prostorách haly zabíhání a konečných úprav

2.1. Umístění a funkce jednotlivých pracovišť v hale

ELITEX k.p. Ústí nad Orlicí je začleněn do VHJ ELITEX s generálním ředitelstvím v Liberci. Náš k.p. se ve svém základním závodě zabývá převážně montáží bezvřetenových dopředecích strojů. Hlavními vyráběnými typy jsou stroje BD 200 RCE, BD 200 RN a BDA 10. První dva typy stroje se navzájem vzhledově ani rozměrově příliš neliší, skládají se z 5 sekcí, bočnice čištění a bočnice pohonu. Poslední typ BDA 10 je stroj využívající automatizace některých technologických funkcí. Skládá se ze 12 sekcí, jejichž vnější rozměry se liší od sekcí předchozích typů, bočnice čištění a bočnice pohonu. Základní rozměry typů sekcí jsou uvedeny v příloze 1.

Provoz zabíhání a konečných úprav sekcí strojů BD je dispozičně řešen v I. podlaží haly M5 v bezokenním prostoru na ploše 42 x 9 m. Tímto provozem musí projít všechny sekce, vyrobené v našem podniku. Po záběhu, opravě a umytí každé sekce se v expedici, která těsně sousedí s provozem zabíhání, zabalí a odešle k odběrateli. Konečná montáž celého stroje se provádí až na místě u zákazníka.

Provoz v hale se skládá ze dvou pracovišť. V levé části prostoru (viz přílohy 2 a 3) jsou umístěny dva zabíhací stendy prvého pracoviště. Ty se skládají z vyvýšené konstrukce tělesa stendu, kolejové dráhy stendu, na které se pohybují upravovatelné vozíky pod sekce, z bočnice pohonu a bočnice čištění. Na každém z těchto zabíhacích stendů lze zabíhat 5 sekcí stroje BD 200 RCE(RN) nebo 8 sekcí stroje BDA 10. Pro obsluhu zabíhacích stendů jsou kolem zhotoveny

zvýšené chodníky. Při změně výroby se vymění bočnice pohonu a bočnice čištění, pojezdové vozíky stendu se upraví pro dané sekce. Bočnice pohonu a čištění, které nejsou v dané chvíli potřeba se umístí v prostoru za zabíhacími stendy. Oba zabíhací stendy, v dvojstrojové obsluze, pro zabíhání sekcí BD 200 RCE(RN) obsluhuje četa pěti pracovníků plus předák čety. Pro zabíhání sekcí stroje BDA 10 je určena četa sedmi pracovníků a jeden pracovník jako předák této čety. Úkolem obsluhující čety na zabíhacích stendech je přivézt si jednotlivé sekce, sestavit a propojit je s bočnicemi pohonu a čištění, spustit stroj na prázdro, sledovat funkci jednotlivých mechanismů, provádět vlastní záběh stroje s materiélem, sledovat funkce technologických elementů, sledovat přetrhovost jednotlivých spřádních míst, změřit příkon a izolační odpor každé sekce, po skončení zapředení opět sekce odpojit od bočnic, rozpojit je navzájem a přemístit na místa určená pro konečné úpravy a mytí.

Druhé pracoviště, pracoviště konečných úprav a mytí, je umístěno v pravé části prostoru (viz přílohy 2 a 3). Na toto pracoviště přicházejí sekce ze zabíhacích stendů. Zde se myjí a čistí od nečistot způsobených montáží a zapředením, opravují se nedostatky odhalené při zapřádání a provádějí se opravy barvy povrchu jednotlivých sekcí. Sekce jsou z ergonomických důvodů umístěny na stojanech (příloha 4) s tímto rozmístěním: pro stroje BD 200 RCE(RN) je umístěno 5 sekcí vlevo a 5 sekcí vpravo od osy haly, stroje BDA 10, které jsou širší, mají rozmístěny 4 sekce vlevo a 4 sekce vpravo od osy. Na tomto pracovišti pracují v jedné směně dva opraváři, tři pracovnice provádějící mytí a čištění sekcí a pracovník opravující vzhledově poškozená místa barvou.

Rozmístění pomocných a odkládacích regálů, skříní a stolů v celé hale je patrné z příloh 2 a 3.

Sekce strojů BD 200 RCE(RN) i BDA 10 se montují ve druhém podlaží haly M5. Vždy po smontování 5 sekcí stroje BD 200 RCE(RN) nebo 8 sekcí stroje BDA 10 se otvorem v podlaží II. podlaží spouští pomocí mostového jeřábu tyto sekce dolů do prostoru expedice na přistavený kolejový vozík. Prostor expedice, prostor zabíhání a konečných úprav, lépe řečeno místa dosažitelná mostovými jeřáby expedice, montáže ve II. podlaží (otvorem) a jeřábem provozu zabíhání, jsou spojeny pomocí kolejí a kolejového vozíku.

K manipulaci se sekciemi v prostoru zabíhání se používá elektrický mostový jeřáb o nosnosti 3,2 t. Tento mostový jeřáb má pro podélný pojezd příkon $2 \times 0,55$ kW, pro pojezd příčný 0,37 kW a zdvihací zařízení má příkon 7,5 kW.

2.2. Manipulace se sekciemi při jejich odvozu z prostoru konečných úprav do expedice

Po skončení všech konečných úprav na 5 nebo 8 (dle druhu vyráběného stroje) sekciích, je nutno předat tyto jako hotové expedici k zabalení a odeslání. Jeden ze dvou opravářů z pracoviště konečných úprav, který byl mistrem určen jako jeřábník, musí dojít pro mostový jeřáb do prostoru mezi zabíhací stendy. Po přesunu jeřábu umístí jej jeřábník do prostoru nad první sekci zprava (viz obr. 1 a 2). Za pomocí druhého opraváře, který nyní plní funkci jeřábníkova pomocníka, se sekce upevní na závěsné zařízení, vyzvedne se ze stojanu a přesune nad kolejový vozík. Na tento vozík se sekce umístí, odepne se závěsné zařízení a vozík se odtlačí do expedice. Zde se mostovým jeřábem expedice sekce z vozíku odebere a vozík je odtlačen zpět do prostoru konečných úprav.

Jeřáb je přesunut nad další sekci a celý cyklus se opakuje tak dlouho, až je odvezeno všech 5 (nebo 8) sekcí. Pořadí odvážených sekcí je zřejmě ze Sankeyových diagramů /1/ na obrázcích 1 a 2. Časový snímek této činnosti je zachycen v tabulkách 1 a 2. Představuje průměrné hodnoty délek jednotlivých úkonů z 10 provedených měření. Při těchto měřeních byly potvrzeny technické údaje el. mostového jeřábu, týkající se pojezdových rychlostí, které jsou následující:

- podélný pojezd 0,25 m/s,
- příčný pojezd „kočky“ 0,25 m/s,
- rychlosť zdvihu 0,15 m/s.

Dále byly zjištěny časy, potřebné pro manipulaci se sekcí a závěsným zařízením v daných podmínkách (přístupnost), časy pro ustavení sekce a pro pohyb kolejového vozíku:

- upevnění sekce na závěsné zařízení v prostoru konečných úprav a v prostoru expedice 15 s,
- umístění sekce na kolejový vozík a odepnutí závěsného zařízení 20 s,
- rychlosť pojezdu kolejového vozíku 0,8 m/s.

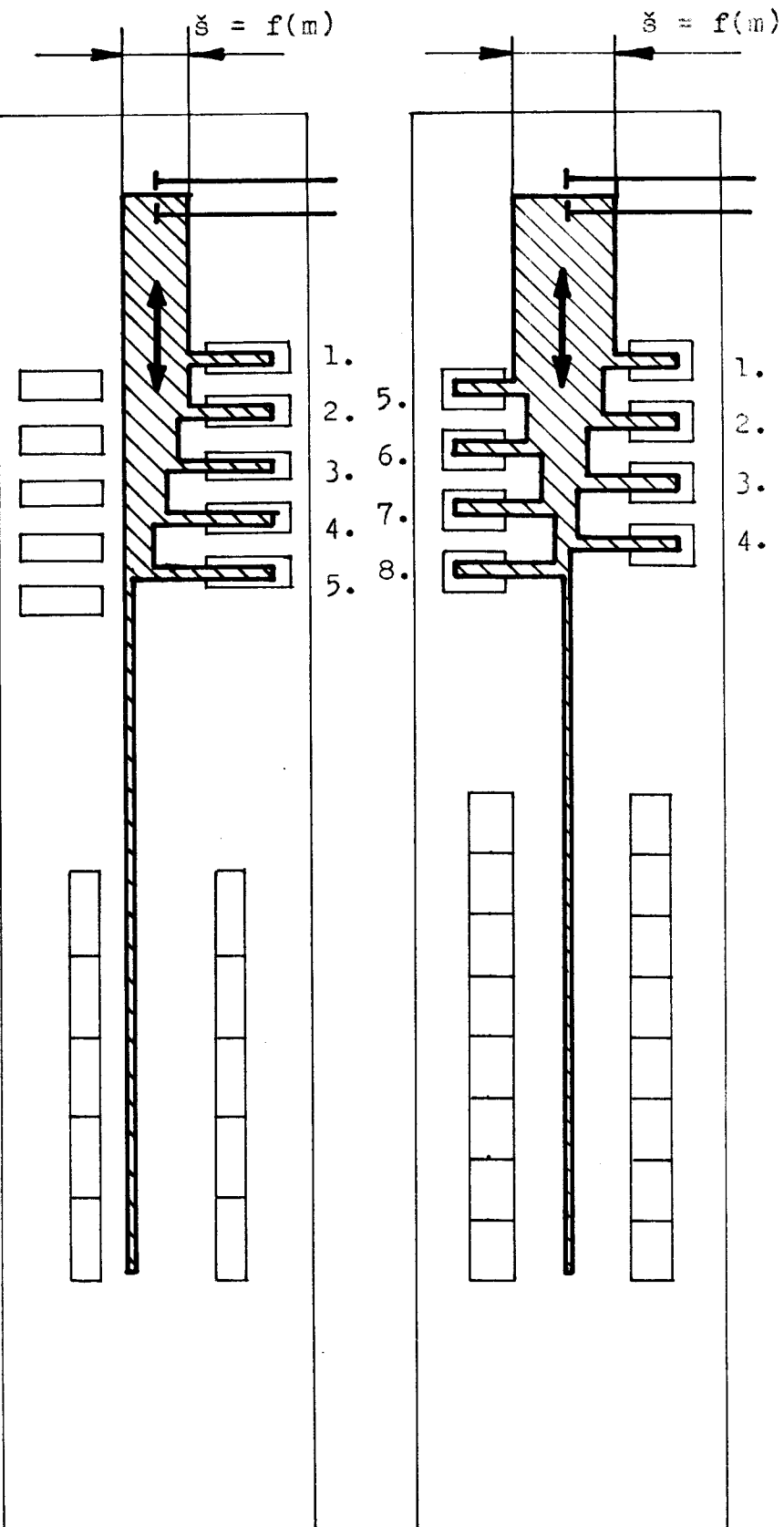
Celkový čas potřebný pro odvoz všech sekcí BD 200 RCE(RN) z prostoru konečných úprav do expedice byl určen z časového snímku na 15,9 minuty, tzn. 3,18 minuty/sekcii.

Celkový čas potřebný pro odvoz všech sekcií BDA 10 z prostoru konečných úprav do expedice byl určen na 24,7 minuty, tzn. 3,09 minuty/sekcii.

Výkonová norma celé operace konečných úprav, včetně manipulace, dle platného technologického postupu je pro každého z opravářů u sekcií BD 200 RCE(RN) 31 min/sekcii (T_{1S}) a u sekcií BDA 10 40 min/sekcii (T_{2S}).

Stává se, že v prostoru expedice není v čase přesunu sekcií přítomen jeřábník, nebo je jeřáb momentálně využit

m - počet průjezdů jeřábu daným místem



Obr. 1 Odvoz sekcí strojů
BD 200 RCE(RN) do
expedice

Obr. 2 Odvoz sekcí strojů
BDA 10 do expedice

na jinou práci. V těchto případech musí opraváři čekat tak dlouho, dokud jim není sekce z vozíku v expedici odebrána. Teprve potom mohou pokračovat v práci, čímž neúměrně vznikne čas potřebný pro převezení sekcí do expedice.

2.3. Manipulace se sekcmi při jejich výměně na zabíhacích stendech

Po skončení zabíhacích prací a rozpojení sekcí je potřeba provést jejich výměnu na zabíhacích stendech. Protože je na tomto pracovišti dvojstrojová obsluha, jsou rozděleni pracovníci čety tak, že dva z nich převážejí sekce pomocí noštového jeřábu, dva jezdí s kolejovým vozíkem a odebírají sekce z otvoru ve stropě. Zbytek pracovníků se zabývá zatím pracemi na druhém stendu. Postup při výměně je následující.

Pracovník, určený do funkce jeřábníka, přisune jeřáb a umístí jej nad první sekci (viz obr. 3 a 4). Pomocí dalšího pracovníka čety, který nyní plní funkci jeřábníkové pomocníka, upevní sekci na závesné zařízení, vyzdvihne ji ze zabíhacího stendu a odvezete do prostoru konečných úprav, kde ji umístí na stojan, odepne závesné zařízení a jeřáb přesune nad kolejový vozík. Na tento vozík zatím v prostoru expedice dva pracovníci čety umístili sekci, kterou jim spustili otvorem z druhého podlaží. S naloženým vozíkem pak přijeli do prostoru konečných úprav, kde čekali než si pro sekci přijede jeřáb. Po najetí jeřábu nad kolejový vozík se sekce zavěsí a jeřábem odvezete do prostoru zabíhacích stendů, kde se umístí na uvolněné místo. V této době pracovníci s kolejovým vozíkem již pod otvorem nakládají další sekci. Po ustavení přivezené sekce na stend se jeřáb přesune nad vedlejší sekci a celý cyklus výše popsany se opakuje dokud nejsou všechny sekce odvezeny do prostoru konečných úprav a na stendu nejsou navenzeny sekce nové.

Pořadí odvážených sekcí je zřejmé ze Sankeyových diagramů na obrázku 3 a 4. Časový snímek této manipulace je zachycen v tabulkách 3 a 4. Představuje průměrné hodnoty délek jednotlivých úkonů z 10 provedených měření. Při těchto měřeních byly vedle údajů o el. mostovém jeřábu (viz údaje kap. 2.2) zjištěny i časové údaje potřebné pro manipulaci se sekci a závěsným zařízením v daných podmínkách (přístupnost k sekci na zabíhacím stendu je horší, než u kolejového vozíku), časy pro ustavení sekce na určené místo a potvrdila se rychlosť pojezdu kolejového vozíku:

- upevnění sekce na závěsné zařízení v prostoru zabíhacího stendu 20 s,
- upevnění sekce na závěsné zařízení z kolejového vozíku 15 s,
- umístění sekce na kolejový vozík pomocí jeřábu z druhého podlaží 30 s,
- umístění sekce na stojany v prostoru konečných úprav nebo na vozíky zabíhacích stendů 20 s,
- rychlosť pojezdu kolejového vozíku 0,8 m/s.

Celkový čas potřebný k výměně všech sekci BD 200 RCE(RN) na zabíhacím stendu výše popsáným způsobem byl určen z časového snímku na 31,12 minuty, tzn. 6,22 minuty/sekcii.

Celkový čas potřebný k výměně všech sekci BDA 10 na zabíhacím stendu výše popsáným způsobem byl určen na 47,8 minuty, tzn. 6 minut/sekcii.

Výkonová norma celé operace zabíhání, včetně manipulace se sekciemi, dle platného technologického postupu je pro každého pracovníka řady včetně předáka u sekci BD 200 RCE(RN) 39,6 minuty/sekcii (T_{3S}) a u sekci BDA 10 66 minuty/sekcii (T_{4S}).

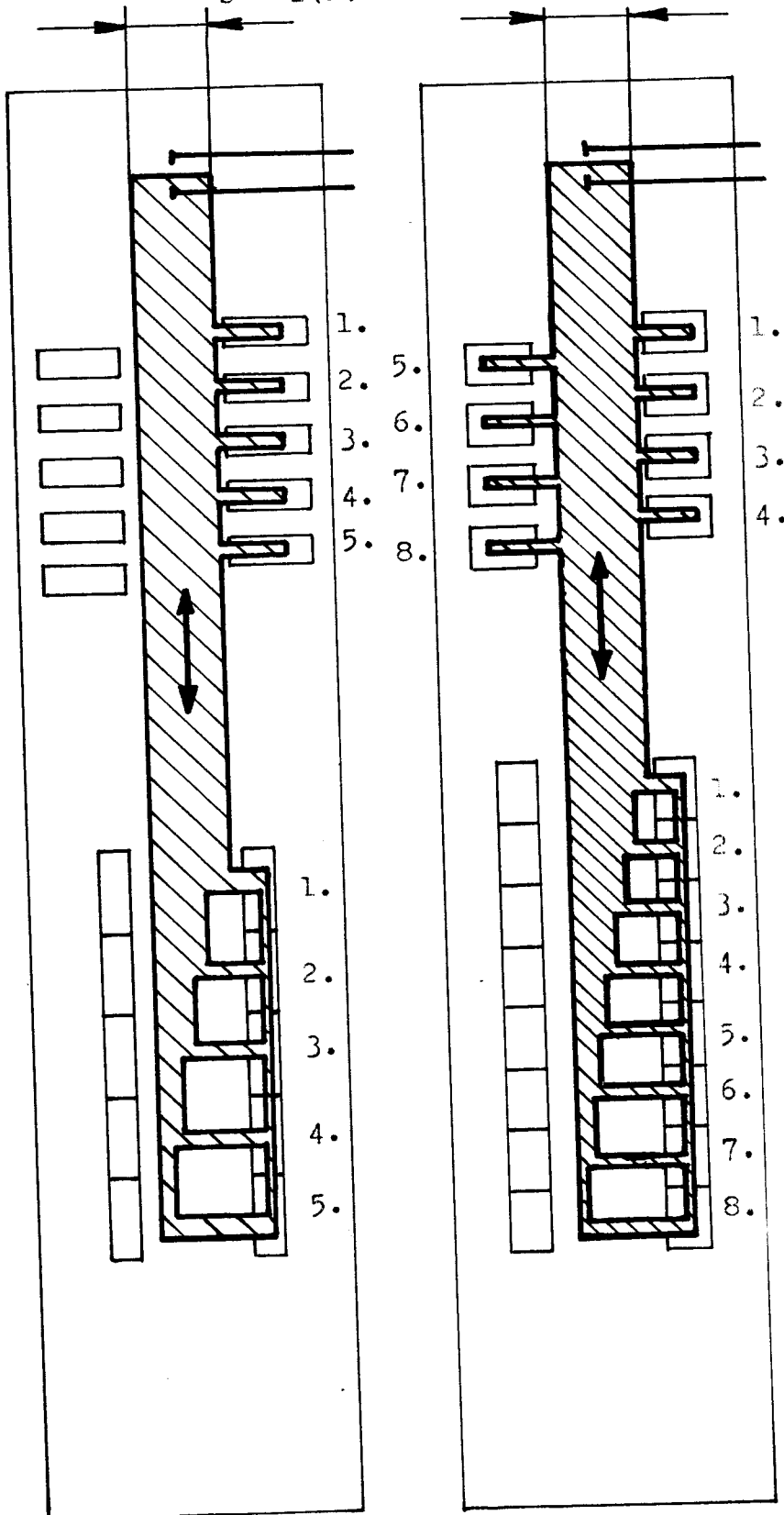
Stane se, že opraváře sekcí zdrží neodebrání sekcí v expedici tak, že v době, kdy končí zapřádání, nejsou dosud z míst konečných úprav odvezeny sekce. Pracovníci čety na zábíhacích stendech musí tedy buď čekat, nebo provést výměnu s tím, že zapředené sekce umístí na zem mezi stendy, kde jim však v další manipulaci překážejí. Pracovníci oprav si pak musí sekce na stojany konečných úprav dovézt. Dochází tím ke značnému zdržení, nebo práci navíc a zvyšuje se i nebezpečí úrazu.

Ukázalo se, že manipulace se sekciemi pomocí jeřábu a kolejového vozíku je zdlouhavá a neoperativní. Zvláště zůstane-li vozík v expedici nevyložen, je prakticky celý prostor zabíhání a konečných úprav odříznut od ostatních provozů. Nelze nové sekce navéžet, ani zapředené a umyté odvéžet.

m - počet průjezdů jeřébu daným místem

$$š = f(m)$$

$$š = f(m)$$



Obr. 3 Výměna sekcí BD
200 RCE(RN) na
zabíhacím stendu

Obr. 4 Výměna sekcí BDA 10
na zabíhacím stendu

3. Navrhovaný způsob manipulace se sekciemi pomocí přepravních plošin na vzduchovém polštáři

3.1. Přepravní plošiny a podmínky jejich provozu

V posledních několika desetiletích se ve světě objevila nová dopravní technika, založená na využití vzduchového polštáře, sloužícího k pronikavému zmenšení vlečného tření mezi pohybujícím se předmětem a podložkou, po níž se předmět pohybuje /3/. Ve vyspělých státech doznala poměrně velkého rozmachu. Postupem času se dopravní prostředky na vzduchovém polštáři rozdělily na dvě skupiny:

- vznášedla,
- dopravní plošiny.

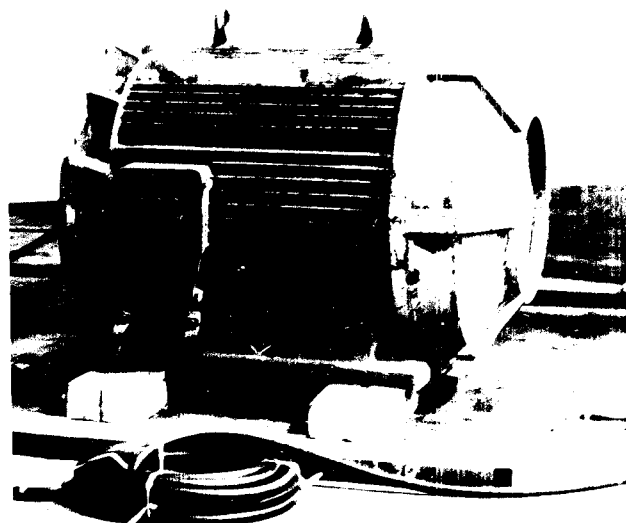
Vznášedlem rozumíme autonomní dopravní prostředek, tj. vozidlo, pohybující se na vzduchovém polštáři, vybavené vlastním pohonem jak pro vznášení, tak pro pohyb ve vodorovném směru. Vznášedla dosahují poměrně velkých rychlostí a díky velké světlosti se mohou pohybovat v členitém terénu, na sněhu i na vodě.

Dopravní plošinou se rozumí jednoduchý dopravní prostředek, pohybující se na vzduchovém polštáři, většinou vázaný na externí zdroj energie jak pro vznášení, tak pro pohyb ve vodorovném směru. Dopravní plošiny se pohybují menší rychlostí a v důsledku extrémně malé světlosti vyžadují poměrně rovnou opěrnou podložku. Uplatňují se zejména v mezinárodní operační dopravě a na montážních linkách.

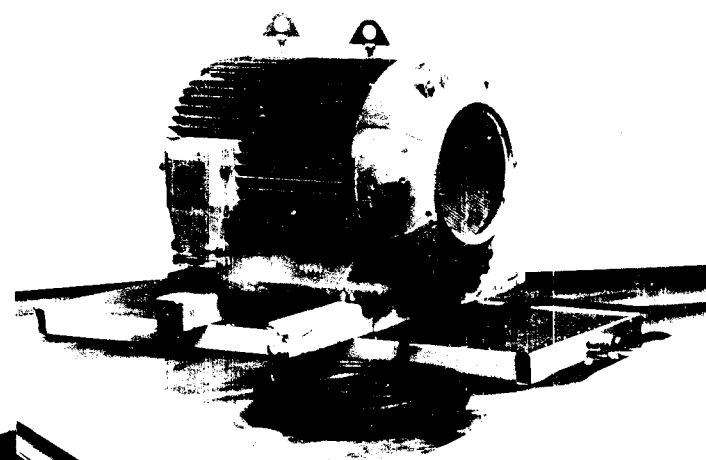
V ČSR se zatím, pokud je mi známo, využívá této dopravy velmi málo. Navštívil jsem TMS Pardubice, kde používají vzduchové polštáře americké firmy AERO-GO v mezinárodní přepravě. Toto zahraniční zařízení je nejenom velmi drahé, ale i vzhledem ke své konstrukci dosti poruchové a náročné na vzduchotechniku. Druhý závod, který jsem navštívil, byl závod

Elektrotechnika ČKD Praha. Zde použili přepravní plošiny, vyrobené v ZVVZ Milevsko, na montážní lince elektrických rozvaděčů. Jednoduchost konstrukce, spolehlivost a poměrně nízká cena (přepravní plošina o nosnosti 1200 kg stála cca 5000,- Kčs) jsou přednosti přepravní plošiny domácí výroby. Právě v ČKD Praha jsem získal některé údaje použité v této práci a měřením si ověřil možnou rychlosť přepravy. Další údaje, týkající se inovace tohoto výrobku, jsem načerpal přímo u výrobce v ZVVZ Milevsko, kam jsem se rovněž zajel podívat. Údaje o vlastní konstrukci vzduchového polštáře a jeho parametrech jsou uvedeny v dalších kapitolách této práce. Pro názornost jsou plošiny vyrobené v Milevsku zobrazeny na obr. 5a6.

Vlastní plošina, kterou jsem navrhl pro použití v našem závodě (výkres 1-KOM-OM-502-01-01), se skládá z rámu, na kterém je umístěn upravený stojan pod sekce a čtyř pneumatických podpěr, do kterých je přiváděn tlakový vzduch. Pohyb plošiny je proto vezán na vzduchovou síť a akční rádius plošiny je dán délkou přívodní hadice. V /3/ se uvádí, že použití až 60 m hadice nijak neovlivní funkční vlastnosti plošiny. Pryžová hadice DN 16 je na jednom konci opatřena šroubením pro ovládací skříňku OSK-A. Na druhém konci je opatřena ventilem pro regulaci přívodu vzduchu a rychlospojkou Narrrex RA 3, která umožnuje rychlé spojování i rozpojování hadice a plošiny pod pracovním tlakem. Místa přívodu tlakového vzduchu v provozu zabíhání a konečných úprav je patrno z příloh 2 a 3. Hlavní rozvod bude posuvně na kladičkách zavěšen na napnuté lano, natažené přes celou délku haly. Tento přívod bude používán při manipulaci se sekciemi umístěnými na plošinách po celé délce haly. Vedlejší rozvod s hadicí, která bude vlečena po zemi, nám umožní manipulaci od místa



Obr. 5 Příklad využití plošiny se vzduchovým polštářem



Obr. 6 Příklad využití plošiny se vzduchovým polštářem

konečných úprav až do expedice, kde sekci převezme místní mostový jeřáb.

Předpokladem pro dobrou funkci přepravní plošiny na vzduchovém polštáři je vhodná podlaha, které musí být rovná, hladká a neprodyšná. Požadavek rovinnosti vyplývá především ze silových a bezpečnostních důvodů. Při povolené úchytle $+/- 0,5^\circ$ od horizontální se zvýšení tažné síly z hlediska manipulace téměř neprojevuje a naopak není možné, aby se plošina samovolně uvedla do pohybu při zapojení tlakového vzduchu. Z ověřovaných povrchů podlahy se ukázal jako nejvhodnější plastbeton, který je poměrně snadno dostupný a využívá i kritériím bezpečnosti práce. Přepravní plošiny se dobře pohybují i na krytině na bázi PVC /4/. V zásadě platí, že hladkost podlahy přímo ovlivňuje jízdní odpory. Na prodyšném povrchu plošina zcela znehýbní. Tlakový vzduch přiváděný do plošiny má mít minimální tlak 0,25 MPa, má být přiměřeně suchý, bez nečistot a nesmísený s olejovou mlhou, aby nedocházelo ke znečištění podlahy. Pro kontrolu tlaku vzduchu se mohou přípojky opatřit tlakoměrem umístěným na přívodním potrubí. Pohyb plošiny lze ihned zastavit sejmutím rychlospojky RA 3. Plošina nevyžaduje v provozu žádnou údržbu. Stálá pozornost však musí být věnována zachování kvality podlahy. Praktická životnost elastického prstence je dosti vysoká.

Podlaha v hale provozu zabíhání a konečných úprav je již nyní opatřena vrstvou plastbetonu, která je však na několika místech mírně poškozena a jsou v ní zapuštěny kolejí pro kolejový vozík. Navrhoji proto po odstranění kolejí provést v tomto prostoru položení nové vrstvy plastbetonu a provést i opravy poškozených míst. Celkový sklon podlahy v hale zabíhání nepřevyšuje $0,2^\circ$. Podle měření tlaku vzduchu v rozvodné síti během jednoho týdne, se tlak pohybuje v rozmezí 0,35 - 0,55 MPa, což je vyhovující.

3.2. Manipulace se sekciemi z pracoviště konečných úprav do expedice a zpět mezi zabíhací stendy

Po provedení konečných úprav sekcí (technologický postup úprav až na manipulaci se sekciemi zůstane zachován) je nutno tyto v počtu 5 nebo 8 přemístit do prostoru expedice. To se bude provádět následujícím způsobem. Jeden z opravářů nasune přívodní hadici tlakového vzduchu od vedlejší přípojky na první plošinu s hotovou sekcí, tím se otevře přívod tlakového vzduchu a s plošinou lze manipulovat. Oba opraváři ji odvezou do prostoru expedice. Zde mostový jeřáb odebera sekci a s plošinou se zajede pod stropní otvor, odkud se ze druhého podlaží jeřábem spustí nová sekce určená k zapředení. Naložená plošina se přemístí do prostoru konečných úprav. Zde se provede výměna přívodu tlakového vzduchu. Na plošinu se připojí hlavní přípojka, která je zavěšena posuvně pod stropem haly. Další manipulací se plošina přemístí mezi zabíhací stendy, až na úroveň poslední sekce umístěné na tomto stendu. Po odpojení přívodu tlakového vzduchu se opraváři i s tímto přívodem vrátí k další sekci určené na odvoz do expedice a celý cyklus manipulace se opakuje až do odvezení poslední sekce do expedice a přisunutí poslední sekce mezi stendy. Na závěr řady plošin se sekciemi se umístí jedna prázdná plošina, která bude sloužit pro odložení první sekce odebrané ze zabíhacího stendu. Předpokládaný časový snímek této manipulace je zachycen v tabulkách 5 a 6. Časové údaje použité v těchto tabulkách pro jednotlivé údaje jsou dvojího druhu. Údaje týkající se manipulace s mostovým jeřábem jsou stejně jako ve druhé kapitole určeny z provedených měření. Údaje pro obsluhu přepravní plošiny na vzduchových polštářích jsem získal měřením na montážní lince ČKD Praha:

- zapojení nebo odpojení tlakového vzduchu 10 s,
- přepojení tlakového vzduchu z jedné přípojky
na druhou 15 s,
- průměrná rychlosť pohybu plošiny 0,8 m/s.

Celkový čas potřebný pro odvoz všech sekcí BD 200 RCE(RN) navrhovaným způsobem z prostoru konečných úprav do expedice a navezení nových sekcí mezi zabíhací stendy byl

vypočten na 14,2 minuty, tzn. 2,84 minuty/sekcí.
Využití manipulaci se sekciemi BDA 10 byl vy-

- zapojení nebo odpojení tlakového vzduchu 10 s,
- přepojení tlakového vzduchu z jedné přípojky na druhou 15 s,
- průměrná rychlosť pohybu plošiny 0,8 m/s.

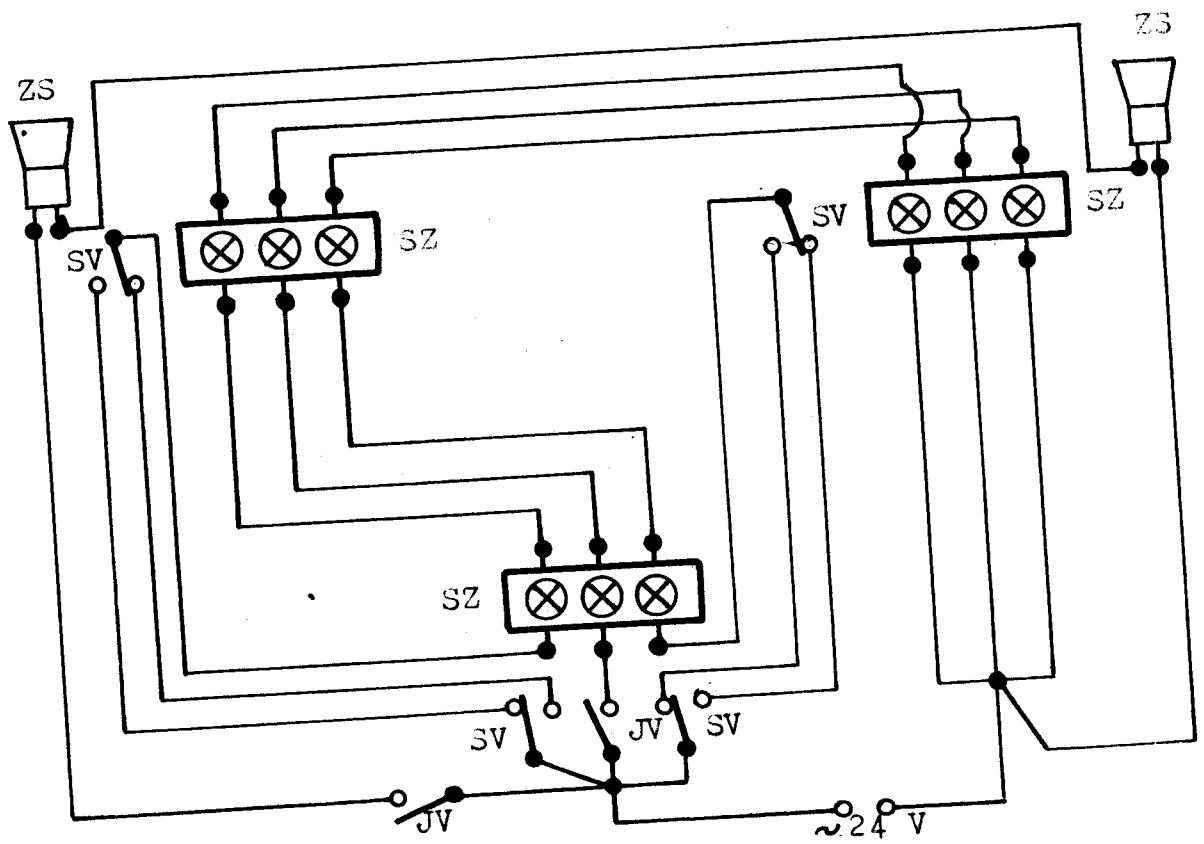
Celkový čas potřebný pro odvoz všech sekcí BD 200 RCE(RN) navrhovaným způsobem z prostoru konečných úprav do expedice a navezení nových sekcí mezi zabíhací stendy byl vypočten na 14,2 minuty, tzn. 2,84 minuty/sekcii.

Čas pro tutéž manipulaci se sekciemi BDA 10 byl vypočten na 22,9 minuty, tzn. 2,86 minuty/sekcii.

Navrhovaná výkonová norma celé operace konečných úprav, včetně manipulace s plošinami, bude pro každého z opravářů u sekci BD 200 RCE(RN) 30,6 minuty/sekcii (T_{1N}) a u sekci BDA 10 39,6 minuty/sekcii (T_{2N}).

Výhoda manipulace pomocí plošin je nejen ve zkrácení vlastního času potřebného pro provedení celé akce, ale i ve zvýšení bezpečnosti práce a odstranění čekacích dob v expedici. Zde, pokud není okamžitě k dispozici jeřáb na odejmutí sekce, mohou opraváři celou plošinu se sekci zanechat a věnovat se převozu dalších sekcií. Určitá časová ztráta zde sice nastane, ale ve srovnání se současným stavem, je zcela nepatrná a nemá vliv na organizaci další práce.

Pro lepší organizaci vzájemné spolupráce jeřábníka z druhého podlaží, jeřábníka expedice a opravářů na konečných úpravách, navrhoji zavést krátkou zvukovou a nepřetržitou světelnou signalizaci mezi zúčastněnými. Opraváři po skončení konečných úprav dají stlačením ovladače signál, že jsou připraveni k převozu sekcií. Ve druhém podlaží montáže i v expedici se ozve krátký zvukový signál a rozsvítí se světelná signalizace. Pokud budou jeřábníci ve druhém podlaží i v expedici připraveni k provedení výměn, odpoví signálem, který



ZS - zvuková signalizace
 SZ - světelné znamení

SV - schodišťový vypínač
 JV - jednoduchý vypínač

Obr. 7 Schema signalizačního zařízení

rozsvítí signální zařízení v prostoru konečných úprav a celá manipulace může začít. Po jejím skončení opraváři celý signalaizační systém vypnou. Schema signalaizačního zařízení je na obr. 7.

3.3. Manipulace se sekciemi při jejich výměně na zabíhajících stendech

Po skončení zabíhání a rozpojení jednotlivých sekcí (technologický postup zabíhání, až na manipulaci se sekciemi, zůstane zachován) postačí k jejich výměně 4 pracovníci, obsluhující čety. Jeřábník, jeho pomocník a dva pracovníci,

kterí odvezou sekce pomocí plošiny na místo konečných úprav. Ostatní pracovníci čety se mohou věnovat pracem na druhém zábíhacím stendu. Výměna proběhne velice rychle následujícím způsobem. Jeřáb se umístí nad první sekcí stendu, ta se zavěší na závěsné zařízení a jeřábem přemístí nad prázdnou plošinu se stojanem, kam se uloží. Jeřáb najede nad další plošinu s první novou sekcí určenou k zapředení. Tu přemístí nad zábíhací stend na místo prve uvolněné. Po uložení sekce přejede jeřáb nad druhou sekci stendu. Tu přemístí na uprázdněnou plošinu a celý cyklus se opakuje až do provedení poslední výměny. V průběhu těchto výměn dva pracovníci čety, po připojení tlakového vzduchu z hlavní přípojky na plošinu, přemístí náklad na místo konečných úprav, kde plošinu i se sekcí zanechají. Na závěr celé výměny zůstane mezi stendy jedna prázdná plošina. Ta se umístí na jí vyhražené místo a bude sloužit při další výměně jako první, na kterou se uloží zapředená sekce. Předpokládaný časový snímek celé manipulace je zachycen v tabulkách 7 a 8 a pohybový obrazec jeřábu na Sankeyových diagramech v obrázcích 8 a 9. Časové údaje použité v těchto tabulkách jsou opět dvojího druhu. Údaje týkající se manipulace s mostovým jeřábem jsou stejně jako ve druhé kapitole určeny z provedených měření. Údaje pro obsluhu přepravní plošiny jsem získal měřením na montážní lince ČKD Praha:

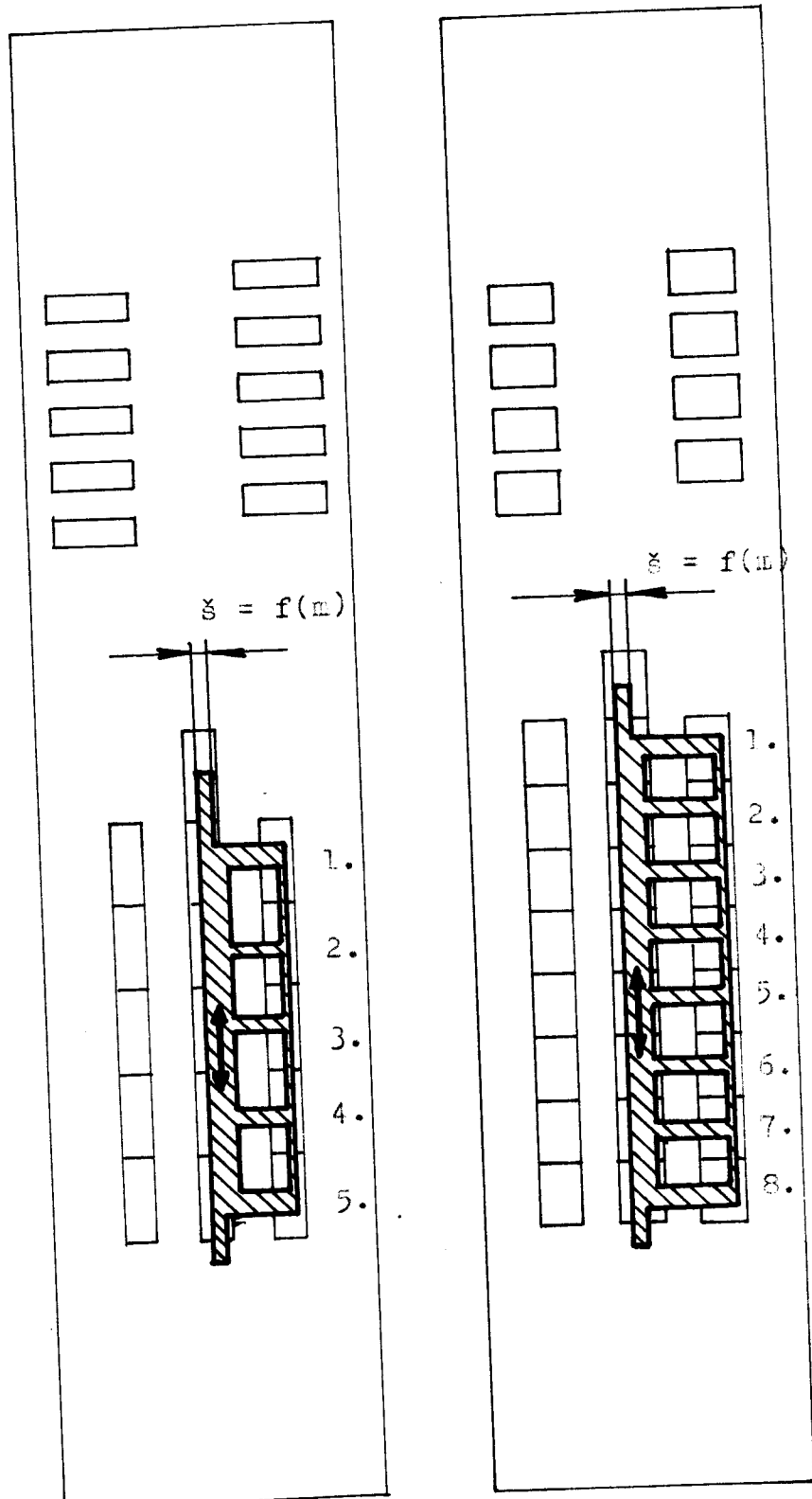
- zapojení nebo odpojení tlakového vzduchu 10 s,
- rychlosť pohybu plošiny 0,8 m/s.

Celkový čas potřebný pro výměnu všech sekcí stroje BD 200 RCE(RN) na zábíhacím stendu navrhovaným způsobem byl vypočten na 12,3 minuty, tzn. 2,5 minuty/sekcii.

Celkový čas na tutéž manipulaci se sekciemi BDA 10 byl vypočten na 17,9 minuty, tzn. 2,2 minuty/sekcii.

Navrhovaná výkonová norma celé operace zábíhání, včetně manipulace se sekciemi, bude pro každého pracovníka čety i předáka u sekcí BD 200 RCE(RN) 35,8 minuty/sekcii (T_{3N}) a u sekcí BDA 10 62,3 minuty/sekcii (T_{4N}).

m - počet průjezdů jeřábu dáným místem



Obr. 8 Výměna sekcí stroje
BD 200 RCE(RN) na
zábíhacím stendu
navrhovaným způsobem

Obr. 9 Výměna sekcí stroje
BDA 10 na zábíhacím
stendu navrhovaným
způsobem

4. Návrh provozního předpisu pro pracoviště umístěná v prostoru zabíhání a konečných úprav sekcí strojů BD v hale M5 na základním závodě Ol k.p. ELITEX
Ústí nad Orlicí

4.1. Základní ustanovení

Provozní předpis se vydává v souvislosti se změnami manipulace se sekciemi a změnami v organizaci práce. S provozními podmínkami stanovenými tímto předpisem budou prokazatelně seznámeni všichni pracovníci, kteří v tomto provozu pracují trvale i pracovníci, kteří sem byli přiděleni místem na kratší dobu jako náhrada za nepřítomného stálého pracovníka.

4.2. Pracovní doba

Dvousměnný provoz (6.00 - 22.00) v pětidenním pracovním týdnu.
Pozn.: Na základě požadavku výroby lze zařízení provozovat i v třísměnném provozu.

4.3. Pracovní činnosti

1) Vyčleněné manipulační a opravářské práce na montážní lince sekcí ve II. podlaží hal M5

- 1 pracovník TKK 8 zajišťuje tyto práce: instruktáž a opravy na montážní lince sekcí, veškerou manipulaci se sekciemi pomocí mostového jeřábu až po uložení sekce propadlem na plošinu v prostoru expedice.
- 1 pracovnice TKK 5 zajišťuje tyto práce: pomocník jeřábníka při manipulaci se sekciemi ve II. podlaží hal M5 pomocí mostového jeřábu až po

uložení sekce propadlem na plošinu v prostoru expedice.
Pozn.: Tato pracovnice musí být kmenově zaměstnána na II. podlaží haly M5, aby mohla na vyzvání jeřábníka být ná pomocná při manipulaci se sekciemi pomocí jeřábu.

2) Opravářské a manipulační práce na pracovišti konečných úprav sekcí

- 2 pracovníci TKK 8
zajišťují tyto práce: manipulaci s hotovými sekciemi na plošeň se vzduchovými polštáři z prostoru konečných úprav do prostoru expedice, ustavení sekce na plošinu v součinnosti s jeřábníkem z II. podlaží haly M5, manipulaci s naloženou plošinou z prostoru expedice do prostoru mezi zabíhací stendy, opravy sekcí dle platného technologického postupu.

3) Mycí a čistící práce na pracovišti konečných úprav

- 3 pracovnice TKK 4
zajišťují tyto práce: mytí a čištění sekcí dle platného technologického postupu, zakrytování sekce a očíslování spředních míst dle platného technologického postupu.

4) Práce na konečných úpravách laku na prac. kon. úprav

- 1 pracovník TKK 7
zajišťuje tyto práce: opravy poškozených míst lakem shodné barvy.

5) Zabíhání sekcí

Dvojstrojová obsluha zabíhacích stendů se skládá:

- pro sekce RCE(RN): 1 pracovník TKK 9 jako předák čety,
5 pracovníků TKK 8,

- pro sekce BDA 10 : 1 pracovník TKK 9 jako předák čety,
7 pracovníků TKK 8.

Zajišťují tyto práce: předák směny (požadovaná profese elektro)

bude kromě své pracovní náplně dle stávajícího technologického postupu řídit práce pro sladění dvojstrojové obsluhy stendů. Dva určení pracovníci čety budou zajišťovat následující manipulace pomocí mostového jeřábu:

- manipulace se sekciemi ze stendů na plošiny, umístěné mezi stendy,
- manipulace se sekciemi z plošin umístěných mezi stendy na vozíky těchto stendů,
- manipulace s bočnicemi pohonu a čištění při změně výroby.

Další dva určení pracovníci čety budou manipulovat s naloženou plošinou z prostoru mezi zabíhacími stendy do prostoru konečných úprav.

Všichni pracovníci čety budou provádět zabíhání sekcí dle platného technologického postupu a příkazů předáka čety.

4.4. Specifické podmínky manipulace s materiálem

1) Manipulace pomocí elektrického mostového jeřábu

S ohledem na hmotnost a rozměrnost přepravovaných sekcí je z pohledu zajištění bezpečnosti práce nutné, aby byla manipulace prováděna dvěma pracovníky (1 pracovník - jeřábník, 1 pracovník - pomocník jeřábníka).

2) Manipulace pomocí plošin na vzduchovém polštáři

S ohledem na hmotnost a rozměrnost celého břemene a snazší manipulaci je nutno pohyb zajišťovat dvěma pracovníky, kteří:

- provádějí signalizační domluvu s jeřábníky ze II. podlaží a z expedice,
- provádějí manipulaci s prázdnými i naloženými plošinami při těchto úkonech: vyvážení sekcí do expedice, navážení sekcí do prostoru mezi stendy, přemístování sekcí do prostoru konečných úprav,

- ihned po skončení jakékoliv manipulace s plošinou jsou povinni odpojit přívod tlakového vzduchu od plošiny pomocí rychlospojky RA 3,
- plošinu s břemenem mohou tlačit nebo táhnout, odřežení plošiny je nepřípustné,
- seřídí přívod vzduchu ovládacím kohoutem, dojde-li k vibraci plošiny.

4.5. Specifické bezpečnostní a hygienické podmínky

- 1) Bezokenní prostor zabíhání musí být v pracovní době stále uměle větrán se zajištěním teploty vzduchu v rozmezí $18 \pm 21^{\circ}\text{C}$.
- 2) Pracovní množství používaných chemikálií pro 1 pracovníka:
 - čisticí prostředek Unisolvant 2 litry,
 - acet. barva pro opravy laku 0,25 kg,
 - acetonové ředitlo 0,25 litru.
- 3) Nádoby na pracovní dávky chemikálií musí být opatřeny víčky pro snadné uzavírání a zamezení zbytečného odpsívání chemikálií do prostoru.
- 4) Pracovník je povinen uzavřít nádoby s chemikáliemi aži přepravě nádob ne manipulačním vozíčku, aby nedocházelo k rozstřiku.
- 5) Na konci směny je pracovník povinen uložit uzavřené pracovní nádoby s chemikáliemi do kovové skříně a tuto uzamknout.
- 6) Manipulaci s plošinou na vzduch. polštáři provádět dvěma pracovníky.
- 7) Je zakázáno přetěžovat plošinu nad vyznačenou mez, uvedenou na boku plošiny.
- 8) Je zakázáno zdvihat plošinu s břemenem jeřábem nebo jiným zdvihadlem.

- 9) Manipulaci s el. mostovým jeřábem provádět dvěma pracovníky.
- 10) Plné konve s bavlnou ukládat pod regály podél stěn u stendů.
- 11) Prázdné konve od bavlny ukládat do speciálních regálů podél kratší zadní stěny.

4.6. Specifické požární podmínky provozu

V prostoru lze skladovat max. 30 kg hořlavin I. třídy. Barvy a ředitla musí být uchovávány v nerozbitných uzavíratelných a řádně označených obalech, které budou umístěny v plechové uzamykatelné skříni. Při skončení pracovní směny umístit provozní dávku barev, ředitel a čisticího přípravku Unisolvant v řádně uzavřených obalech rovněž do plechové skříně a tuto uzamknout.

V prostoru zabíhání a konečných úprav sekcí platí přísný zákaz kouření a manipulace s otevřeným ohněm.

4.7. Odpovědnost pracovníků

- 1) Za zajištění nepřetržité dodávky tepla, tlakového vzduchu a chodu klimatizace k vytvoření předepsané teploty (dle odst. 1, článku 4.5) odpovídá výrobní náměstek.
- 2) Za zajištění dostatečné kvalifikace pracovníků dle tohoto řádu předepsané odpovídá mistr pracoviště.
- 3) Za plnění úkolů vyplývajících z odst. 1, 2, 3, 4 článku 4.3 a odst. 1 článku 4.4 odpovídá mistr.
- 4) Za plnění ustanovení odst. 5 článku 4.3 a odst. 2 článku 4.4 pro manipulaci ve směru od zabíhacích stendů do prostoru konečných úprav sekcí odpovídá předák čety zabíhání.
- 5) Za manipulaci pomocí plošiny dle odst. 2 článku 4.4 a prostoru konečných úprav do expedice a z prostoru expedice do

prostoru mezi stendy odpovídá mistrem pověřený pracovník
(jeden z opravářů na pracovišti konečných úprav).

- 6) Za plnění úkolů dle odst. 1 až 8 článku 4.5 odpovídá
mistrem pověřený pracovník (jeden z opravářů na pracovišti
konečných úprav sekcí).
- 7) Za plnění úkolů dle odst. 9 článku 4.5 ve II. podlaží haly
M5 odpovídá instruktor na montážní lince.
- 8) Za plnění úkolů dle odst. 6 až 11 článku 4.5 v prostoru
zabíhání odpovídá předák čety zabíhání sekcí.
- 9) Mistr směny určí jednoho ze dvojice opravářů na konečných
opravách sekcí pro odpovědnost dle odst. 5 a 6 článku 4.7
totoho předpisu.

5. Teorie vzduchového polštáře

5.1. Návrh pneumatické opěry

Protože není účelné navrhovat a konstruovat speciální pneumatickou opěru pouze na dané zatížení, využil jsem opěry vyráběné a dodávané podnikem ZVVZ Milevsko, která svými parametry vyhovuje daným hodnotám zatížení. Jedná se o opěru označenou výrobcem jako Pneumatická opěra 330.

Celkové zatížení plošiny je realizováno hmotností sekce, které je pro sekci BD 200 RCE(RN) - 600 kg a pro sekci BDA 10 - 900 kg, hmotností stojanu pod sekce ve velikosti 80 kg a hmotnosti vlastního rámu plošiny, která představuje 120 kg. Celková hmotnost je tedy 800 nebo 1100 kg. Na každou ze čtyř podpěr tedy působí 200 nebo 275 kg.

V dalších článcích této kapitoly je uvedena teorie vzduchového polštáře a způsob teoretického výpočtu jeho parametrů. Tyto uvedené vztahy jsou pak použity pro stanovení závislosti hmotnostní spotřeby vzduchu, objemového průtoku a výkonu vzduchu na růstu absolutního tlaku v pneumatické opěře, které má pevné rozměry.

5.2. Princip funkce vzduchového polštáře

Dopravní plošina na vzduchovém polštáři sestává principiálně z rámu, na nějž se ukládá přepravované břemeno, ze čtyř pneumatických opěr, umístěných na spoční straně rámu. Tyto opěry jsou vlastními elementy se vzduchovým polštářem, což je názorně dokumentováno na obr. 5 a 6.

V klidovém stavu spočívá opěra (obr. 10) střední částí na podložce /2/. Je-li potřeba dopravní plošinu s břeménem přemístit, přivede se do opěry tlakový vzduch. Ten proudí jednak do vnitřního prostoru opěry, jednak do elastické prstencové podušky, vytvářející tento vnitřní prostor.

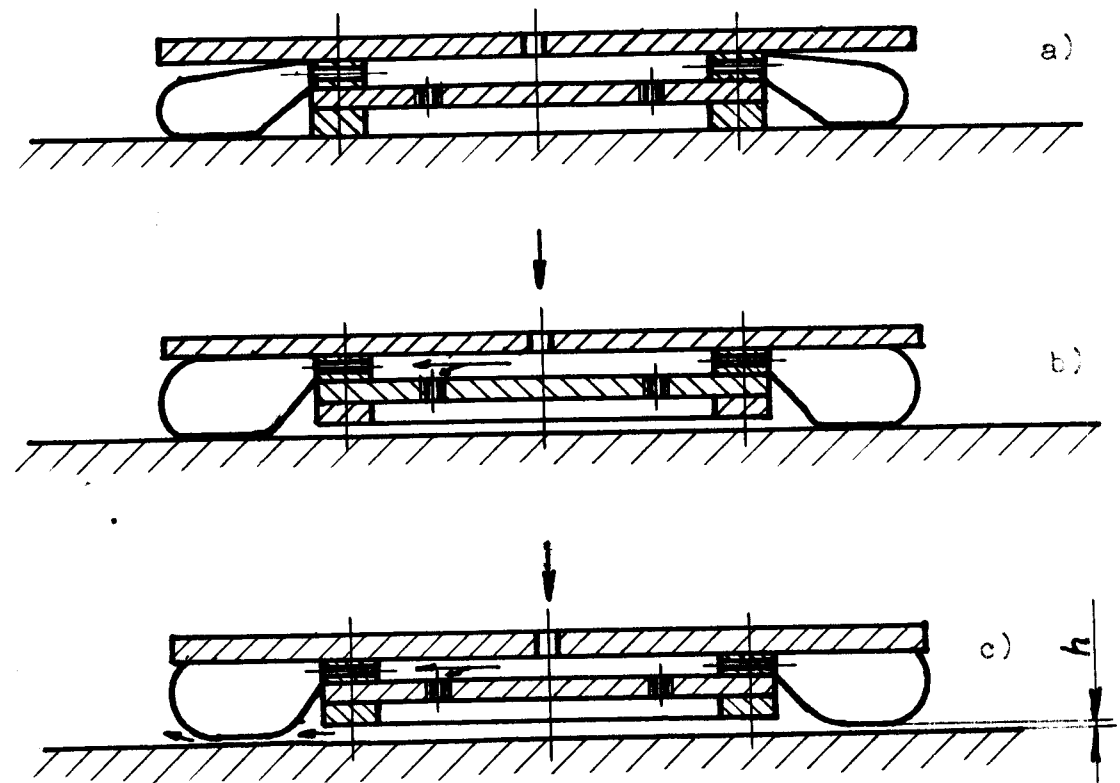
Vzduch z vnitřního prostoru zatím volně uniká mezerou mezi prázdnou poduškou a podložkou. Poduška se postupně nadevá a stále těsněji přiléhá k podložce, čímž postupně utěšíuje vnitřní prostor opěry oproti atmosféře. Jakkoli se vertikální síla, vyvolovaná přetlakem vzduchu ve vnitřním prostoru opěry, vyrovná příslušné složce tíhy celé plošiny a břemene na ní uloženého, opěra se vznese. Zdvih opěry nad podložkou ustálí na takové hodnotě h , že hydraulický odpor kruhové štěrbiny po obvodu opěry, tj. mezi nafouknutou elastickej poduškou a podložkou, je právě roven přetlaku vzduchu, potřebnému pro vznášení opěry. Zdvih opěry je velmi malý, dle /3/ němu kolem 0,1 mm. Tato meze zabraňuje přímému styku elastickej prstence s podložkou a tím snižuje pasivní odpor při pohybu pneumatické opěry a celé plošiny s přemisťovaným nákladem - v ideálním případě až na hodnotu danou součinem tíže břemene a součinitele tření vzduchu. Skutečnost, že odpor při pohybu je vždy větší než tato ideální hodnota a že navíc záleží na kvalitě povrchu, se projevuje tím, že elastickej prstencové podlahy přece jen bodově dotýká. Tuhost prstence, v tím i vliv kvality povrchu podlahy na jízdní vlastnosti, je díra přetlakem v jeho dutině. Ten se může regulovat počtem zasazených otvorů ve vnitřním prostoru opěry. Součinitel tření vzduchových polštářů není dle /3/ větší než 0,001.

5.3. Tlakové parametry vzduchového polštáře

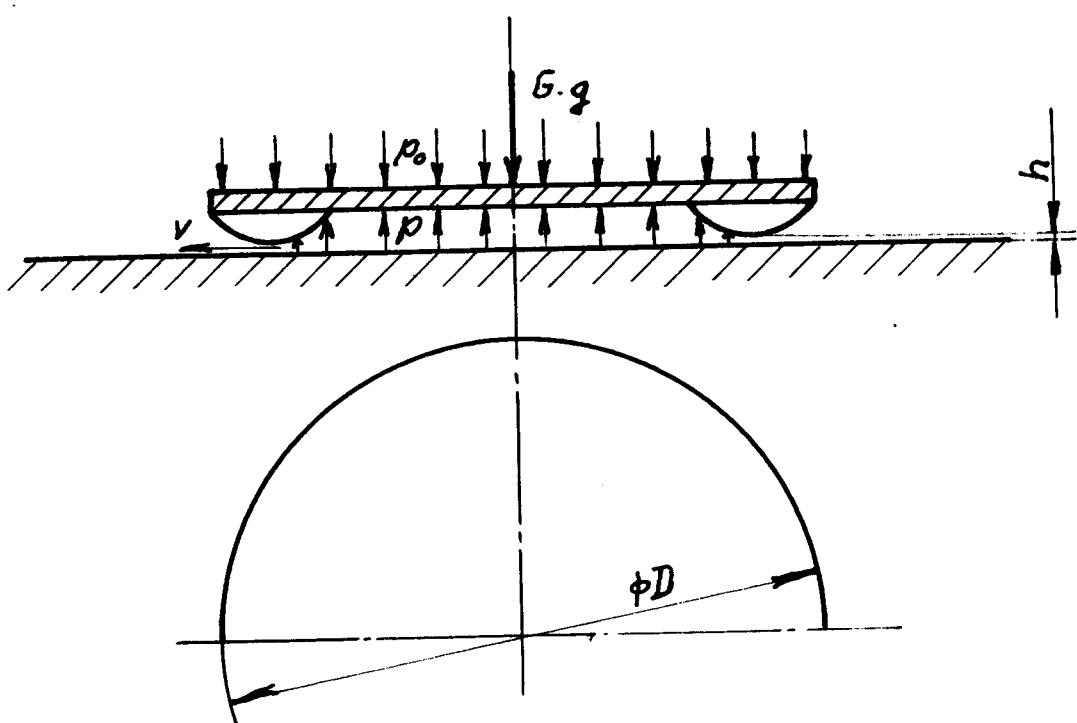
Uvažujme kruhovou opěru na vzduchovém polštáři v režimu vznášení podle obr. 11.
Podmínka rovnováhy sil, působících na opěru ve směru tíže, zní

$$G \cdot g + p_0 \cdot S - p \cdot S = 0 \quad (N) \quad (1)$$

$$\text{kde } S = \frac{\pi \cdot D^2}{4} \quad (\text{m}^2) \quad (2)$$



Obr. 10 Konstrukce a princip činnosti pneumatické opěry



Obr. 11 Síly působící na opěru

jestliže je: G - hmotnost břemene (kg),
 g - tříkové zrychlení zemské (m/s^2),
 p_0 - atmosférický tlak (Pa),
 S - plocha opěry (m^2),
 ρ - absolutní tlak vzduchu v opěře (Pa),
 D - průměr opěry (m).

Z ní plyne pro minimální potřebný tlak vzduchu v opěře výraz

$$p = p_0 + \frac{G}{S} \cdot g = p_0 + \frac{4G}{\pi \cdot D^2} \cdot g \quad (\text{Pa}). \quad (3)$$

Vzduch vytéká z vnitřního prostoru opěry, v níž se nachází celkový tlak ρ , do atmosféry s barometrickým tlakem p_0 . Na poměru tlaků p_0/ρ závisí kritičnost výtoku. Teoreticky jsou možné dva případy:

$$\frac{p_0}{\rho} \leq 0,5283 \quad \dots \dots \dots \quad \text{výtok nedkritický} \quad (4)$$

$$\frac{p_0}{\rho} > 0,5283 \quad \dots \dots \dots \quad \text{výtok podkritický}$$

Hranicí mezi nedkritickým a podkritickým výtokem je výtok kritický, pro nějž platí

$$\frac{p_0}{\rho} = 0,5283 \quad (1). \quad (5)$$

Uvažujeme-li atmosférický tlak $p_0 = 98850$ Pa, nastane kritický výtok při absolutním tlaku v opěře

$$\rho = \frac{p_0}{0,5283} = \frac{98850}{0,5283} = 1,871 \cdot 10^5 \quad (\text{Pa})$$

$$\text{či přetlaku } \Delta p = \rho - p_0 = (1,871 - 0,9885) \cdot 10^5 = 0,883 \cdot 10^5 \quad (\text{Pa}).$$

Vyloučením ρ z rovnic (3) a (5) plyne postupně

$$\frac{p_0}{0,5283} = p_0 + \frac{G}{S} \cdot g \quad (\text{Pa}),$$

$$p_0 \cdot \left(\frac{1}{0,5283} - 1 \right) = \frac{G}{S} \cdot g \quad (\text{Pa}),$$

$$\frac{G}{S} = \frac{p_0}{g} \cdot \left(\frac{1}{0,5283} - 1 \right) \text{ (kg/m}^2\text{)}. \quad (6)$$

Uvažujeme-li opět $p_0 = 0,9885 \cdot 10^5 \text{ Pa}$, $g = 9,80665 \text{ m/s}^2$, bude při měrném zatížení opěry

$$\frac{G}{S} = \frac{0,9885 \cdot 10^5}{9,80665} \cdot \left(\frac{1}{0,5283} - 1 \right) = 9 \cdot 10^3 \text{ (kg/m}^2\text{)}$$

výtok vzduchu z vnitřního prostoru opěry právě kritický, při zatížení nižším a vyšším pak

$$\frac{G}{S} < 9 \cdot 10^3 \text{ (kg/m}^2\text{)} \dots \text{ podkritický,}$$

$$\frac{G}{S} > 9 \cdot 10^3 \text{ (kg/m}^2\text{)} \dots \text{ nadkritický.}$$

5.4. Průtokové parametry vzduchového polštáře

Hmotnostní průtok vzduchu otvorem je určen vztahem

$$Q = \mathcal{L} \cdot S_Q \cdot \frac{p}{\sqrt{R \cdot T}} \cdot X \text{ (kg/s)}, \quad (7)$$

kde: Q - hmotnostní průtok vzduchu otvorem (kg/s),

\mathcal{L} - součinitel kontrakce (1),

S_Q - plocha výtokového průřezu (m^2),

R - měrná plynová konstanta vzduchu (J/kgK),

T - absolutní teplota vzduchu (K),

X - výtokový součinitel (1).

Plocha výtokového průřezu, tj. kruhové štěrbinky po obvodu pneumatické opěry, je

$$S_Q = \pi \cdot D \cdot h \text{ (\text{m}^2)},$$

kde: D - průměr opěry (m),

h - zdvih opěry nad podložkou (m).

Výtokový součinitel X závisí na kritičnosti vý toku:

$$X = \begin{cases} 0,6847 & \dots \text{ výtok nadkritický} \\ 0,6847 \cdot \sqrt{1 - \left[\frac{\frac{p_0}{p} - 0,5283}{0,4717} \right]^2} & \dots \text{ výtok podkritický} \end{cases} \quad (9)$$

Z rovnic (3), (7), (8) a (9) pak plyne

$$Q = \frac{\mathcal{L} \cdot \pi \cdot D \cdot h \cdot \frac{X}{\sqrt{R \cdot T}} \cdot (p_0 + \frac{4 \cdot G \cdot g}{\pi \cdot D^2})}{\sqrt{R \cdot T}} = \frac{\mathcal{L} \cdot \pi \cdot h \cdot X \cdot p_0}{\sqrt{R \cdot T}} \cdot D + \frac{\mathcal{L} \cdot h \cdot X \cdot 4 \cdot G \cdot g}{\sqrt{R \cdot T}} \cdot \frac{1}{D} \text{ (kg/s)}. \quad (10)$$

Naskytá se otázka, nelze-li pro dané břemeno G nalézt takový průměr pneumatické opěry D, při němž by byla hmotnostní spotřeba vzduchu Q minimální. Úloha spočívá v nalezení minima funkce

$$Q = a \cdot D + b \cdot \frac{1}{D} \text{ (kg/s)}. \quad (11)$$

Za předpokladu, že minimum se nalézá v nadkritické oblasti, tj. že X = konst., je

$$\frac{dQ}{dD} = a - \frac{b}{D^2} = 0 \text{ (kg/s.m)},$$

$$D = \sqrt{\frac{b}{a}} = \sqrt{\frac{\mathcal{L} \cdot h \cdot X \cdot 4 \cdot G \cdot g}{\sqrt{R \cdot T}} \cdot \frac{\sqrt{R \cdot T}}{\mathcal{L} \cdot \pi \cdot h \cdot X \cdot p_0}} = \sqrt{\frac{4 \cdot G \cdot g}{\pi \cdot p_0}} \text{ (m)}. \quad (12)$$

Extrém funkce Q = f(D) se tedy nachází při takovém D, kdy

$$\frac{\pi \cdot D^2}{4} \cdot p_0 = G \cdot g \text{ (N)}, \quad (13)$$

tj. při měrném zatížení opěry

$$\frac{G}{S} = \frac{p_0}{g} \text{ (kg/m²)}. \quad (14)$$

Uvažujeme-li opět $p_0 = 0,9885 \cdot 10^5$ Pa a $g = 9,80665 \text{ m/s}^2$, je hmotnostní spotřeba minimální při měrném zatížení opěry

$$\frac{G}{S} = \frac{0,9885 \cdot 10^5}{9,80665} = 10 \cdot 10^3 \text{ (kg/m²)},$$

tedy v nadkritické oblasti. Ostatně dosazením (13) s (2) do rovnice (3) plyne

$$p = p_0 + \frac{S \cdot p_0}{S} = 2 \cdot p_0 \text{ (Pa)}, \quad (15)$$

čemuž odpovídá poměr tlaků

$$\frac{p_0}{p} = \frac{p_0}{2 \cdot p_0} = 0,5 \quad (16)$$

nacházející se v nadkritické oblasti. Předpoklad $X = \text{konst.}$, za něhož byl extrém funkce (11) stanoven, se tedy ukázal být správným.

Minimální hmotnostní spotřebu vzduchu jednou pneumatickou opěrou na vzduchovém polštáři pro danou hmotnost břemene G lze stanovit dosazením výrazu (12) do rovnice (10):

$$q_{\min} = \alpha \cdot \pi \cdot \sqrt{\frac{4 \cdot G \cdot g}{\pi \cdot p_0}} \cdot h \cdot \frac{X}{\sqrt{R \cdot T}} \cdot 2 \cdot p_0 = 4 \cdot \alpha \cdot X \cdot h \cdot \sqrt{\frac{\pi \cdot G \cdot g \cdot p_0}{R \cdot T}}$$

Dosadíme-li $\alpha = 0,95$; $g = 9,80665 \text{ m/s}^2$; $p_0 = 0,9885 \cdot 10^5 \text{ Pa}$; $R = 287 \text{ J/kgK}$; $T = 293 \text{ K}$; $X = 0,6847$ je

$$q_{\min} = 15,66 \cdot h \cdot \sqrt{G} \quad (\text{kg/s}). \quad (17)$$

Objemový průtok vzduchu otvorem je zřízen vztahem

$$V = \frac{q}{\varphi} \quad (\text{m}^3/\text{s}), \quad (18)$$

kde: V - objemový průtok vzduchu otvorem (m^3/s),
 φ - měrná hmotnost vzduchu před otvorem (kg/m^3).

S užitím stavové rovnice plynu

$$\varphi = \frac{p}{R \cdot T} \quad (\text{kg/m}^3) \quad (19)$$

a výrazů (7) a (8) je

$$V = \alpha \cdot S_C \cdot \frac{p}{\sqrt{R \cdot T}} \cdot X \cdot \frac{R \cdot T}{p} = \alpha \cdot \pi \cdot D \cdot h \cdot X \cdot \sqrt{R \cdot T} \quad (\text{m}^3/\text{s}) \quad (20)$$

5.5. Výkonové parametry vzduchového polštáře

Výkon vzduchu, potřebný k vznášení opěry, je dán relací

$$N_L = \Delta p \cdot V \quad (\text{W}), \quad (21)$$

kde: N_L - výkon vzduchu při vznášení opěry (W),
 Δp - přetlak vzduchu v pneumatické opěře (Pa).

Z rovnice (3) plyně, že přetlak vzduchu v opěře je

$$\Delta p = \frac{G}{S} \cdot g \quad (\text{Pa}), \quad (22)$$

takže s užitím rovnice (2), (20) a (22) je vztah (21) roven

$$N_L = \frac{4 \cdot G \cdot g}{\pi \cdot D^2} \cdot \lambda \cdot \pi \cdot D \cdot h \cdot X \cdot \sqrt{R \cdot T} = 4 \cdot \lambda \cdot X \cdot g \cdot \sqrt{R \cdot T} \cdot G \cdot \frac{h}{D} \quad (\text{W}) \quad (23)$$

Výkon potřebný k posuvu vznášející se opěry, je roven

$$N_S = G \cdot g \cdot f_s \cdot v_s \quad (\text{W}) \quad (24)$$

kde: N_S -- výkon při posuvu vznášející se opěry (W),

f_s -- součinitel vlečného tření vznášející se opěry (1),

v_s -- rychlosť posuvu (m/s).

Úhrnný výkon na vznášení a posuv pneumatické opěry je roven součtu obou dílčích složek (23) a (24)

$$N_V = N_L + N_S = G \cdot g \cdot (4 \cdot \lambda \cdot X \cdot \sqrt{R \cdot T} \cdot \frac{h}{D} + f_s \cdot v_s) \quad (\text{W}). \quad (25)$$

5.6. Vliv velikosti absolutního tlaku p v opěře na její tlakové, průtokové a výkonové parametry a na velikost možného zatížení

K zobrazení závislostí uvedených parametrů při stálém průměru opěry je použito vztahů:

- $\Delta p = p - p_0$ pro přetlak v opěře (Pa),
- p_0/p pro poměr tlaků (1),
- (9) pro výtokový součinitel X (1),
- (18) a (19) pro objemový průtok vzduchu V opěrou (m^3/s),
- (7) pro hmotnostní průtok Q vzduchu opěrou (kg/s),
- (21) pro výkon vzduchu N_L nutný pro vznášení opěry (W),
- (3) pro velikost zatížení G (kg)

a konstantních hodnot:

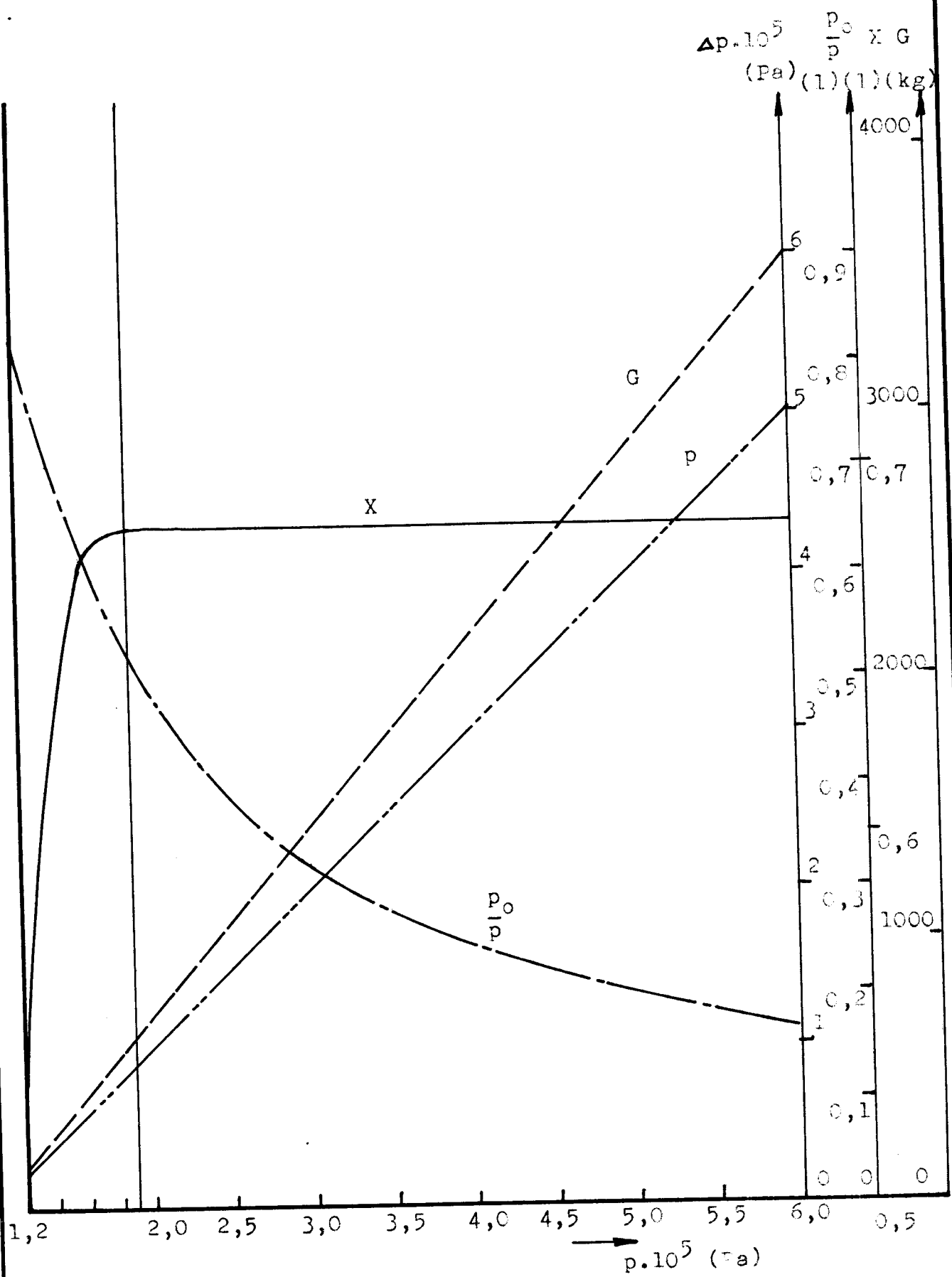
- atmosferický tlak $p_0 = 98850 \text{ Pa}$,
- zemské těhové zrychlení $g = 9,80665 \text{ m/s}^2$,
- součinitel kontrakce $\lambda = 0,95$ (1),
- zdvih opěry nad podložkou $h = 1 \cdot 10^{-4} \text{ m}$,
- průměr opěry $D = 0,3 \text{ m}$

- měrná plynová konstanta vzduchu $R = 287 \text{ J/kgK}$,
- absolutní teplota vzduchu $T = 293 \text{ K}$.

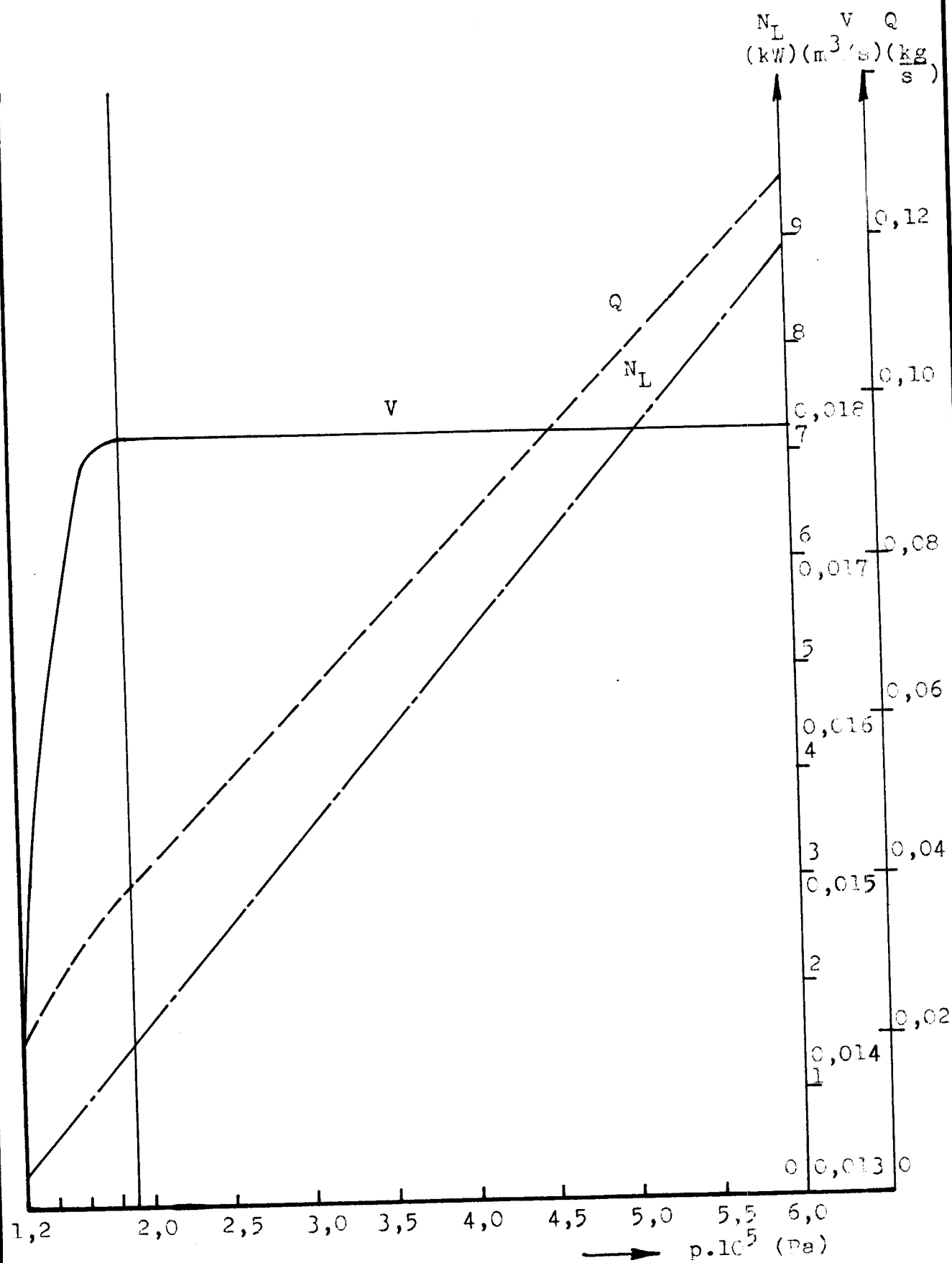
Vypočtené hodnoty jsou uspořádány v tabulce 9
a graficky znázorněny na obr. 12 a 13.

Tabulka 9

Abso-lutní tlak $p \cdot 10^5$	Parametry						Možné zatí-žení	
	tlakové		průtokové			výkon.		
	$\Delta p \cdot 10^5$	p_0/p	X	Q	V			
Pa	Pa	1	1	kg/s	m^3/s	kW	kg	
1,2	0,212	0,8238	0,5337	0,0198	0,0139	0,295	150	
1,4	0,412	0,7061	0,6342	0,0274	0,0164	0,676	300	
1,6	0,612	0,6178	0,6723	0,0332	0,0174	1,065	440	
1,8	0,812	0,5492	0,6840	0,0380	0,0178	1,445	585	
2,0	1,010	0,4942	0,6847	0,0423	0,0178	1,801	730	
2,5	1,512	0,3954	0,6847	0,0528	0,0178	2,691	1090	
3,0	2,012	0,3295	0,6847	0,0634	0,0178	3,531	1450	
3,5	2,512	0,2824	0,6847	0,0740	0,0178	4,471	1810	
4,0	3,012	0,2471	0,6847	0,0846	0,0178	5,361	2170	
4,5	3,512	0,2197	0,6847	0,0951	0,0178	6,251	2530	
5,0	4,012	0,1977	0,6847	0,1057	0,0178	7,141	2890	
5,5	4,512	0,1797	0,6847	0,1163	0,0178	8,031	3250	
6,0	5,012	0,1648	0,6847	0,1268	0,0178	8,921	3610	



Obr. 12 Závislost parametrů na absolutním tlaku



Obr. 13 Závislost parametrů na absolutním tlaku

5.7. Charakteristika pneumatické opěry na vzduch. polštáři

Charakteristikou spotřebiče tlakového vzduchu se rozumí závislost

$$\Delta p = f(V) \quad (\text{Pa}) \quad (26)$$

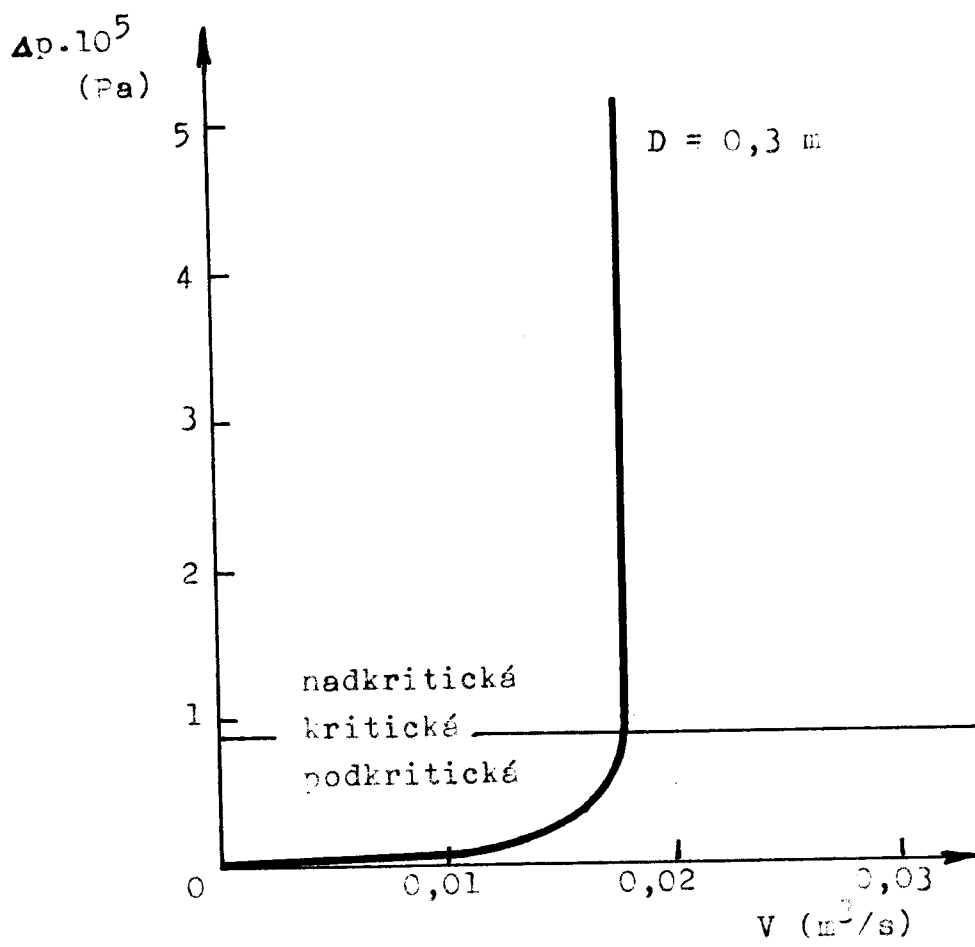
Výsledky výpočtů, uvedených v tabulce 9, umožňují tuto závislost pro pneumatickou opěru na vzduchovém polštáři se strojit do grafu na obrázku 14.

Znalost této charakteristiky je nezbytná při volbě zdroje tlakového vzduchu pro napájení pneumatické opěry. Součinnost pneumatické opěry se zdrojem tlakového vzduchu objasňuje obr. 15.

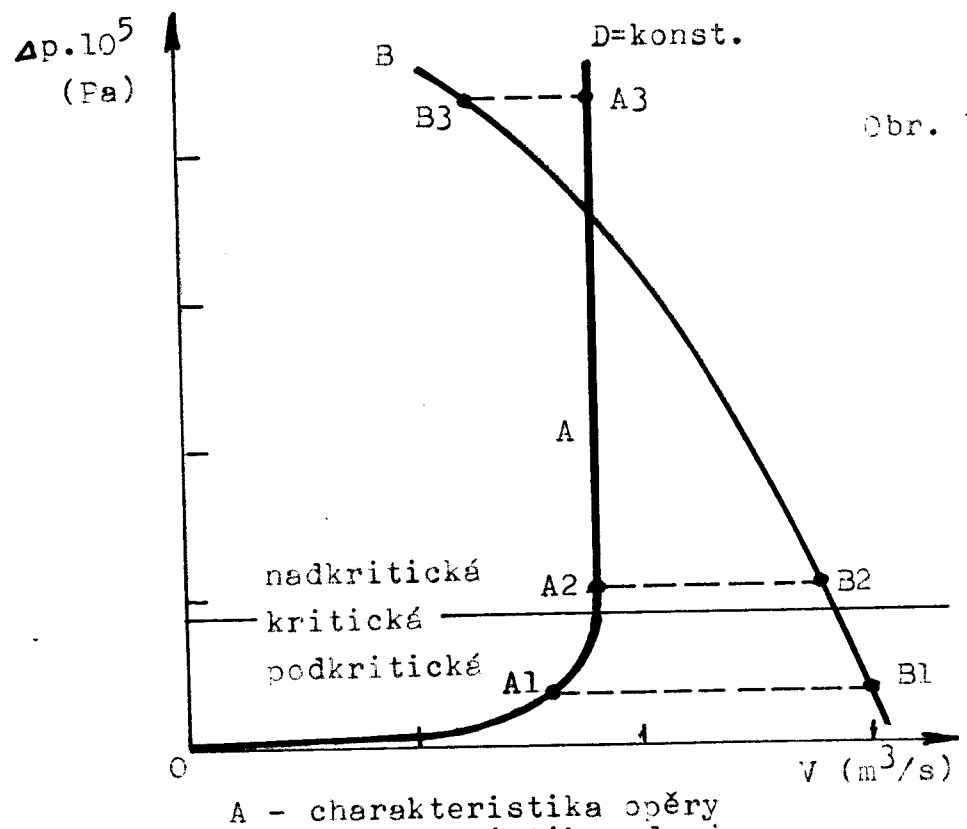
a) Nechť je zatížení G opěry a tím i potřebný přetlak vzduchu pánce opěru o daném průměru bodem A₁ v podkritické oblasti. Opěra bude pracovat v režimu, zobrazeném pracovním bodem B₁ na charakteristice zdroje. Přetlak vzduchu v opěře zůstane stejný, avšak zvýší se objemový průtok vzduchu V opěrou, tzn. zvýší se zdvih opěry nad podložkou proti hodnotě $h = 1 \cdot 10^{-4} \text{ m}$, s níž byla charakteristika sestavena, v poměru V_{B1} / V_{A1}.

b) Nechť zatížení G opěry a tedy i přetlak v opěře daného průměru vzroste tak, že se bude nacházet v kritické oblasti, například v bodě A₂. Opěra bude pracovat v režimu B₂, zdvih opěry se zvýší v poměru V_{B2} / V_{A2}.

c) Nechť zatížení G opěry a tedy i přetlak v opěře vzroste ještě více, například do bodu A₃. Opěra bude pracovat v režimu B₃, zdvih opěry se sníží v poměru V_{B3} / V_{A3}; nebudou-li dostatečný pro funkci opěry na dané podložce, efekt vzduchového polštáře zmizí.



Obr. 14 Charakteristika pneumatické opěry



5. 8 . Dopravní plošina s n pneumatickými opěrami

Dosavadní úvahy se zabývaly pouze jednou pneumatickou opěrou na vzduchovém polštáři. Je však výhodné, aby plošina měla několik opěr /3/, zejména z důvodu stability plošiny.

Uvažujme, že pro stejné břemeno G použijeme v prvním případě jedinou pneumatickou opěrkou, ve druhém případě pak dopravní plošinu s n opěrami. Jak se potom změní dřívě odvozené závislosti udává tab. 10.

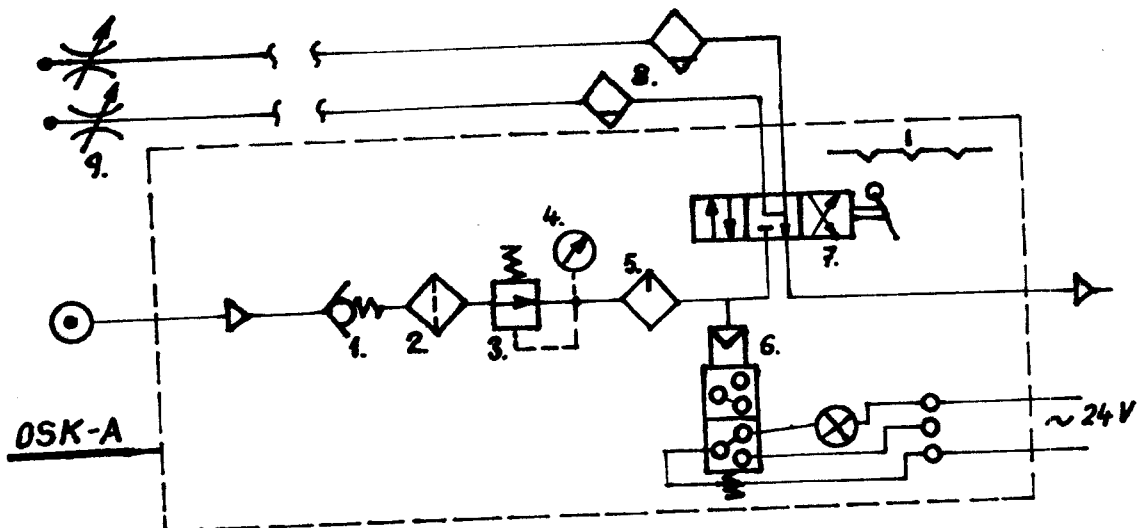
Tabulka 10

Parametr	Rozměr	Jedna opěra $n = 1$	Plošina o n opěrách
Počet opěr	1	1	n
Hmotnost břemene	kg	G	G
Zatížení jedné opěry	kg	G	G/n
Celková plocha opěr	m^2	S	S
Plocha jedné opěry	m^2	S	S/n
Průměr jedné opěry	m	D	D/\sqrt{n}
Měrné zatížení opěry	kg/m^2	G/S	G/S
Přetlak vzduchu v opěře	Pa	Δp	Δp
Absolutní tlak vzduchu v opěře	Pa	p	p
Hmotnostní průtok vzduchu	kg/s	Q	$Q \cdot \sqrt{n}$
Objemový průtok vzduchu	m^3/s	V	$V \cdot \sqrt{n}$
Výkon vzduchu pro vznášení	W	N_L	$N_L \cdot \sqrt{n}$

Z tabulky 10 je patrné, že tlakové parametry dopravní plošiny nezávisí na počtu pneumatických opěr. Její průtokové a výkonové parametry se však zhoršují, zvyšují se

s druhou odmocninou z počtu opěr. Z uvedeného plynou dva závěry:

- dříve odvozených analytických vztahů a grafických závislostí lze užívat i při névrhu plošiny s n opěrami při respektování výše uvedeného poznatku,
- při volbě počtu pneumatických opěr dopravní plošiny je třeba učinit kompromis mezi stabilitou na jedné straně a horšími energetickými ukazateli na druhé straně. Pro rozdílnější plošiny je minimální počet opěr 3, jimiž je poloha plošiny jednoznačně určena. Za maximální počet opěr lze považovat dle /3/ šest. Při dodržení těchto zásad se ekonomické parametry plošiny zhoršují 1,7 až 2,4 kráte oproti samotné opěře.



- | | |
|---|--------------------------------|
| 1. - zpětný ventil | 6. - tlakový spínač se signál. |
| 2. - čistič vzduchu | 7. - ruční rozdělovač |
| 3. - regulátor tlaku | 8. - odlučovač vody |
| 4. - tlakoměr | 9. - Škrtící ventil |
| 5. - tlaková maznice -POZOR- bez náplně oleje | |

Obr. 16 Schema rozvodu tlakového vzduchu

6. Konstrukční část

6.1. Konstrukce plošiny na vzduchovém polštáři

Konstrukci plošiny tvoří rám, svařený z tyčí U80 (výkres 1-KOM-OM-502-01-01). Na tomto rámu jsou připevněny naváděcí čepy, na které přijdou nasunout nohy stojanu pod sekce (příloha 4). Čepy jsou umístěny tak, že lze na ploše tlakového vzduchu je tvořen ocelovými trubkami Js 13 o vnějším průměru 16 mm. Spojení trubek v rozích i na odbočkách vzduchovým polštářům je realizováno normovanými armaturami. Přívod z hadice do soustavy plošiny je vytvářen pomocí rychlospojky RA 3, jejíž jedna část je trvale přivařena k rozvodu plošiny, druhá je připevněna na konci přívodní hadice. Vlastní čtyři vzduchové polštáře jsou ke spodní straně rámu plošiny trvale přivařeny a jejich rozteče jsou voleny tak, aby vyhovovaly oběma typům sekcí a aby těžiště sekce se shodovalo s těžištěm plošiny ve vertikální ose. Použity jsou vzduchové polštáře vyrobené v ČSSR, v ZVVZ Milevsko. Tento typ, jedná se o pneumatickou opěru 330, má hmotnost 7 kg, lze jej zatížit užitečným zatížením 300 kg a může pracovat v rozmezí teplot od -20° do +40°C. Montáž pneumatických opér k přepravní plošině se musí provádět tak, že nejdříve opěry ustavíme na vodorovnou podložku, na ně se položí rám a ten se přivaří. Na závěr se napojí na vzduchový rozvod plošiny. Na boku plošiny musí být zřetelně uvedena nosnost plošiny, v našem případě tedy 1100 kg.

Pro úplnost zde v tab. 11 uvedu nejčastější závady a způsob jejich odstranění, jak mě o nich informovali pracovníci ČKD Praha i ZVVZ Milevsko.

6.2. Konstrukce závěsného zařízení přívodní hadice

Závěsné zařízení je tvořeno ocelovým lanem 65 mm, napnutým pod stropem haly. Na tomto lani pojíždějí kladičky, ke kterým je pomocí pružinové smyšky připevněna hadice, jejíž hmotnost zajišťuje, že kladičky z drátu nevypadnou (výkres 2-KOM-OM-502-02-01). Pro snadné posunování jsou kladičky opatřeny vělivým ložiskem a proti pádu jsou zabezpečeny třmenem.

Na el. mostový jeřáb je připevněna lišta, která v případě pohybu jeřábu, odsunuje před sebou kladičky se zášenou hadicí (výkres 3-KOM-OM-502-03-01). Koncové dorezy jeřábové dráhy je nutno posunout tak, aby jeřáb neohrozil zášené kladičky ve shrnutém stavu. Schema rozvodu tlakového vzduchu v hale zabíhání a konečných úprav je na obr. 16.

Tabulka 11

ZÁVADA	PŘÍČINA	ZPŮSOB ODSTRANĚNÍ
Zatížená nebo nezatížená plošina vibruje nebo kmitá	Nevhodný povrch podlahy Nesprávné množství vzduchu	Upravit (vyrovnat) podlahu Seřídit množství vzduchu
Za klidu nebo po- hybu plošina houká	Velké množství vzduchu	Seškrtit dodávku vzduchu
Jízdní odpor, tj. síla potřebná k udržení plošiny v pohybu je velká (případně se plošina zastavuje)	Malé, respektive velké množství vzduchu	Zvýšit, respektive snížit množství vzduchu na vstupu do plošiny
	Malá, respektive velká tuhost elastického prstence	Zvýšit, resp. snížit tuhost prstence zaslepením resp. uvolněním otvorů M5 šroubem ve spodní části tělesa opěry
	Chybné umístění nákladu na plošině - těžiště nákladu leží mimo střed plošiny	Opravit umístění nákladu na plošině
Zastavení plošiny za provozu, silné zhoršení pohybli- vosti	Porušení elastického prstence cizím předmětem	Poškozenou opěru demonstrovat, prstenec opravit nebo vyměnit

7. Ekonomické zhodnocení

7.1. Produktivita práce a její dynamika

V našem případě použijeme pro výpočet produktivity práce metodu naturálních ukazatelů /1/. Podstatou této metody je vztah množství vyrobených produktů k vynaloženému množství práce, tj. k odpracovanému času

$$v_i = \frac{Q_i}{T_i} \quad (\text{ks/hod}) \quad (27)$$

K výpočtu použijeme stanovené a navržené výkonové normy jedné sekce pro operace konečných úprav a zabíhání, které jsou uvedeny v kapitolách 2.2, 2.3, 3.2, 3.3. Zde je jejich zkrácený přehled:

- operace konečných úprav, stávající čas pro 1 ks sekce stroje
BD 200 RCE(RN) $T_{1S} = 31 \text{ min} = 0,517 \text{ hod}$,
BDA 10 $T_{2S} = 40 \text{ min} = 0,667 \text{ hod}$,
- operace konečných úprav, navrhovaný čas jedné sekce stroje
BD 200 RCE(RN) $T_{1N} = 30,6 \text{ min} = 0,51 \text{ hod}$,
BDA 10 $T_{2N} = 39,6 \text{ min} = 0,66 \text{ hod}$,
- operace zabíhání, stávající čas pro 1 ks sekce stroje
BD 200 RCE(RN) $T_{3S} = 39,6 \text{ min} = 0,66 \text{ hod}$,
BDA 10 $T_{4S} = 66 \text{ min} = 1,1 \text{ hod}$,
- operace zabíhání, navrhovaný čas pro 1 ks sekce stroje
BD 200 RCE(RN) $T_{3N} = 35,8 \text{ min} = 0,597 \text{ hod}$,
BDA 10 $T_{4N} = 62,3 \text{ min} = 1,038 \text{ hod}$.

Dosazením uvedených hodnot do (27) dostaneme pro

$Q_i = 1 \text{ ks}$ následující ukazatele:

$$v_{1S} = \frac{Q_i}{T_{1S}} = \frac{1}{0,517} = 1,934 \quad (\text{ks/hod}),$$

$$v_{2S} = \frac{Q_i}{T_{2S}} = \frac{1}{0,667} = 1,499 \quad (\text{ks/hod}),$$

$$v_{3S} = \frac{Q_i}{T_{3S}} = \frac{1}{0,66} = 1,515 \quad (\text{ks/hod}),$$

$$v_{4S} = \frac{Q_i}{T_{4S}} = \frac{1}{1,1} = 0,909 \quad (\text{ks/hod}),$$

$$v_{1N} = \frac{Q_i}{T_{1N}} = \frac{1}{0,51} = 1,961 \quad (\text{ka/hod}),$$

$$v_{2N} = \frac{Q_i}{T_{2N}} = \frac{1}{0,66} = 1,515 \quad (\text{ks/hod}),$$

$$v_{3N} = \frac{Q_i}{T_{3N}} = \frac{1}{0,597} = 1,675 \quad (\text{ks/hod}),$$

$$v_{4N} = \frac{Q_i}{T_{4N}} = \frac{1}{1,038} = 0,963 \quad (\text{ks/hod}).$$

Ke stanovení dynamiky produktivity práce slouží jednoduchý vztah, spočívající v porovnání produktivity práce navrhovaného způsobu se stávající produktivitou práce:

$$I_i = \frac{v_{iN}}{v_{iS}} \quad (1) \qquad \qquad \qquad (28)$$

Po dosazení vypočtených hodnot do (28) tedy dostaneme:

$$I_1 = \frac{v_{1N}}{v_{1S}} = \frac{1,961}{1,934} = 1,014 ,$$

$$I_2 = \frac{v_{2N}}{v_{2S}} = \frac{1,515}{1,499} = 1,011 ,$$

$$I_3 = \frac{v_{3N}}{v_{3S}} = \frac{1,675}{1,515} = 1,106 ,$$

$$I_4 = \frac{v_{4N}}{v_{4S}} = \frac{0,963}{0,909} = 1,059 .$$

. Po zavedení navrženého způsobu manipulace se sekciemi se zvýší produktivita práce na operaci konečných úprav sekcí BD 200 RCE(RN) o 1,4 % a sekcií BDA 10 o 1,1 %; na operaci zabíhání sekcií BD 200 RCE(RN) pak o 10,6 % a sekcií BDA 10 o 5,9 % oproti stávajícímu stavu.

7.2. Úspory

a) Úspory na mzdách

Tyto úspory vzniknou snížením výkonových norem v operacích zabíhání a konečných úprav. Vezmeme-li v úvahu letošní rok, pak známe počet strojů, které se v našem závodě mají vyrobit. V plánu je 785 ks strojů BD 200 RCE(RN) a 40 ks strojů BDA 10. Protože však stroje BDA 10 mají 12 sekcí a zabíhání se provádí po 8 sekcích, provedeme přepočet tak, aby dávka 8 sekcí se brala jako jeden stroj následujícím způsobem $\frac{40 \cdot 12}{8} = 60$ strojů na zabíhání i konečné úpravy.

K výpočtu úspor jednotlivých operací použijeme vztah

$$U_i = (T_{iS} - T_{iN}) \cdot a_j \cdot b_j \cdot M_k \cdot z_k \quad (\text{Kčs/rok}) \quad (29)$$

kde: U_i - roční úspora na mzdách v dané operaci při výrobě daného stroje (Kčs/rok),

T_{iS} - stávající výkonová norma jedné sekce (hod),

T_{iN} - navrhovaná výkonová norma jedné sekce (hod),

a_j - počet sekcí do jednoho stroje (sekci/stroj),

b_j - počet pracovníků v dané operaci (prac./sekci),

M_k - roční výroba strojů (strojů/rok),

z_k - hodinový mzdový tarif jednoho pracovníka (Kčs/hod a prac.).

Při dosazování do (29) použijeme dále těchto hodnot:

$a_1 = 5$ (sekci/stroj) pro stroj BD 200 RCE(RN),

$a_2 = 8$ (sekci/stroj) pro stroj BDA 10,

$b_1 = 5$ (prac./sekci) pro stroj BD 200 RCE(RN),

$b_2 = 7$ (prac./sekci) pro stroj BDA 10,

$b_3 = 1$ (prac./sekci) pro předáka prac. čety zabíhání,

$b_4 = 2$ (prac./sekci) pro operaci konečných úprav,

$M_1 = 785$ (strojů/rok) pro stroj BD 200 RCE(RN),

$M_2 = 60$ (strojů/rok) pro stroj BDA 10,

$z_1 = 14,40$ (Kčs/hod a prac.) pro třídu TKK 8,

$z_2 = 16,20$ (Kčs/hod a prac.) pro třídu TKK 9.

Výpočet jednotlivých položek úspor dle (29) bude následující:

- i = 1; odvoz sekcí stroje BD 200 RCE(RN) do expedice

$$U_1 = (T_{1S} - T_{1N}) \cdot a_1 \cdot b_4 \cdot M_1 \cdot z_1 = \\ = (0,517 - 0,510) \cdot 5 \cdot 2 \cdot 785 \cdot 14,40 = 791,28 \text{ (Kčs/rok)},$$

- i = 2; odvoz sekcí stroje typu BDA 10 do expedice

$$U_2 = (T_{2S} - T_{2N}) \cdot a_2 \cdot b_4 \cdot M_2 \cdot z_1 = \\ = (0,667 - 0,66) \cdot 8 \cdot 2 \cdot 60 \cdot 14,40 = 96,77 \text{ (Kčs/rok)},$$

- i = 3; výměna sekcí při zabíhání stroje BD 200 RCE(RN), úsporu musíme rozdělit na úsporu od pracovníků čety a úsporu od předáka čety

$$U_3 = U_{3(1)} + U_{3(2)} \quad (\text{Kčs/rok}) \quad (30)$$

$$U_{3(1)} = (T_{3S} - T_{3N}) \cdot a_1 \cdot b_1 \cdot M_1 \cdot z_1 = \\ = (0,66 - 0,597) \cdot 5 \cdot 5 \cdot 785 \cdot 14,40 = 17803,80 \text{ (Kčs/rok)},$$

$$U_{3(2)} = (T_{3S} - T_{3N}) \cdot a_1 \cdot b_3 \cdot M_1 \cdot z_2 = \\ = (0,66 - 0,597) \cdot 5 \cdot 1 \cdot 785 \cdot 16,20 = 4005,86 \text{ (Kčs/rok)},$$

po dosazení do (30) pak úspora operace bude

$$U_3 = 17803,80 + 4005,86 = 21809,66 \text{ (Kčs/rok)},$$

- i = 4; výměna sekcí při zabíhání stroje typu BDA 10, úsporu musíme opět rozdělit na úsporu od pracovníků čety a úsporu od předáka čety

$$U_4 = U_{4(1)} + U_{4(2)} \quad (\text{Kčs/rok}) \quad (31)$$

$$U_{4(1)} = (T_{4S} - T_{4N}) \cdot a_2 \cdot b_2 \cdot M_2 \cdot z_1 = \\ = (1,100 - 1,038) \cdot 8 \cdot 7 \cdot 60 \cdot 14,40 = 2999,81 \text{ (Kčs/rok)},$$

$$U_{4(2)} = (T_{4S} - T_{4N}) \cdot a_2 \cdot b_3 \cdot M_2 \cdot z_2 = \\ = (1,100 - 1,038) \cdot 8 \cdot 1 \cdot 60 \cdot 16,20 = 482,11 \text{ (Kčs/rok)},$$

po dosazení do (31) pak výsledná úspora operace bude

$$U_4 = 2999,81 + 482,11 = 3481,92 \text{ (Kčs/rok)}.$$

Celková roční úspora z mezd se vypočte

$$U = \sum_{i=1}^4 U_i \quad (\text{Kčs/rok}) \quad (32)$$

Dosazením U_i do (32) dostaneme

$$U = U_1 + U_2 + U_3 + U_4 = 791,28 + 96,77 + 21809,66 + \\ + 3481,92 = \underline{26179,63} \text{ (Kčs/rok)}.$$

b) Úspory ze snížení spotřeby elektrické energie

Z důvodů omezení pohybu jeřábu v navrhovaném způsobu manipulace se sekciemi, vznikne úspora elektrické energie. Tuto úsporu vypočteme ze vztahů:

$$B = \sum_{i=1}^4 B_i \quad (\text{Kčs/rok}), \quad (33)$$

$$B_i = \sum_{j=1}^3 B_{i(j)} \quad (\text{Kčs/rok}), \quad (34)$$

$$B_{i(j)} = (t_{i(j)S} - t_{i(j)N}) \cdot c_j \cdot d \cdot M_k \quad (\text{Kčs/rok}), \quad (35)$$

kde: B - roční úspora za el. energii (Kčs/rok),
 B_i - roční úspora v i-té operaci (Kčs/rok),
 $B_{i(j)}$ - roční úspora v i-té operaci při j-tém pohybu jeřábu (Kčs/rok),
 $t_{i(j)S}$ - stávající čas j-tého pohybu jeřábu v i-té operaci (hod/stroj),
 $t_{i(j)N}$ - navrhovaný čas j-tého pohybu jeřábu v i-té operaci (hod/stroj),
 c_j - příkon elektromotoru pro j-tý pohyb (kW),
 d - cena el. energie (Kčs/kWh).

Pro dosazení do (35) potřebujeme znát hodnoty $t_{i(j)S}$ a $t_{i(j)N}$. Tyto hodnoty odečteme z tabulek 1 až 8. Další hodnoty budou následující:

- j = 1 pro podélný pohyb jeřábu,
- j = 2 pro příčný pohyb jeřábu,
- j = 3 pro zdvih jeřábu,

$$c_1 = 1,1; c_2 = 0,37; c_3 = 7,5 \quad (\text{kW}),$$

$$d = 0,51 \quad (\text{Kčs/kWh}),$$

$$M_1 = 785 \quad (\text{strojů/rok}) \text{ pro výrobu BD 200 RCE(RN)},$$

$$M_2 = 60 \quad (\text{strojů/rok}) \text{ pro výrobu BDA 10}.$$

Výpočet jednotlivých položek úspor dle (34) a (35) je následující:

- i = 1; odvoz sekcí stroje BD 200 RCE(RN) do expedice

$$B_{1(1)} = (0,136 - 0).1,1.0,51.785 = \underline{59,89} \quad (\text{Kčs/rok}),$$

$$B_{1(2)} = (0,013 - 0).0,37.0,51.785 = \underline{1,93} \quad (\text{Kčs/rok}),$$

$$B_{1(3)} = (0,022 - 0).7,5.0,51.785 = \underline{66,06} \quad (\text{Kčs/rok}),$$

$$B_1 = 59,89 + 1,93 + 66,06 = \underline{127,88} \quad (\text{Kčs/rok}),$$

- i = 2; odvoz sekcí stroje BDA 10 do expedice

$$B_{2(1)} = (0,183 - 0).1,1.0,51.60 = \underline{6,16} \quad (\text{Kčs/rok}),$$

$$B_{2(2)} = (0,042 - 0).0,37.0,51.60 = \underline{0,48} \quad (\text{Kčs/rok}),$$

$$B_{2(3)} = (0,036 - 0).7,5.0,51.60 = \underline{8,26} \quad (\text{Kčs/rok}),$$

$$B_2 = 6,16 + 0,48 + 8,26 = \underline{14,90} \quad (\text{Kčs/rok}),$$

- i = 3; výměna sekcí při zabíhání stroje BD 200 RCE(RN)

$$B_{3(1)} = (0,348 - 0,062).1,1.0,51.785 = \underline{125,15} \quad (\text{Kčs/rok}),$$

$$B_{3(2)} = (0,061 - 0,033).0,37.0,51.785 = \underline{4,12} \quad (\text{Kčs/rok}),$$

$$B_{3(3)} = (0,044 - 0,044).7,5.0,51.785 = \underline{0} \quad (\text{Kčs/rok}),$$

$$B_3 = 125,15 + 4,12 = \underline{129,27} \quad (\text{Kčs/rok}),$$

- i = 4; výměna sekcí při zabíhání stroje BDA 10

$$B_{4(1)} = (0,5 - 0,073).1,1.0,51.60 = \underline{14,37} \quad (\text{Kčs/rok}),$$

$$B_{4(2)} = (0,094 - 0,05).0,37.0,51.60 = \underline{0,50} \quad (\text{Kčs/rok}),$$

$$B_{4(3)} = (0,071 - 0,071).7,5.0,51.60 = \underline{0} \quad (\text{Kčs/rok}),$$

$$B_4 = 14,37 + 0,50 = \underline{14,87} \quad (\text{Kčs/rok}).$$

Pro výpočet celkové úspory ze snížení spotřeby el. energie dosadíme do vztahu (33)

$$B = 127,88 + 14,90 + 129,27 + 14,87 = \underline{286,92} \quad (\text{Kčs/rok}).$$

c) Celkové úspory

Výpočet těchto úspor, které by vznikly zavedením nové manipulace se sekciemi určíme ze vztahu

$$Z = U + B \quad (\text{Kčs/rok}) \quad (36)$$

$$Z = 26179,63 + 286,92 = \underline{26466,55} \quad (\text{Kčs/rok}).$$

7.3. Nutné náklady na navrhovaný způsob manipulace

a) Náklady na výrobu plošin na vzduchovém polštáři

Tyto náklady vypočteme z nákladů na nákup elementů vzduchového polštáře a z nákladů na výrobu vlastních rámů plošin

$$A = A_1 + A_2 \quad (\text{Kčs}) \quad (37)$$

kde: A_1 - náklady na nákup elementů vzduchového polštáře (Kčs),
 A_2 - náklady na výrobu rámu plošin (Kčs).

Položku A_1 vypočteme z následujícího vztahu:

$$A_1 = n \cdot s_2 \cdot C_1 \quad (\text{Kčs}), \quad (38)$$

kde: n - počet vzduchových polštářů na jedné plošině,

s_2 - počet plošin, které se musí vyrobit (ks),

C_1 - cena jednoho vzduchového polštáře (Kčs/ks).

Jestliže dosadíme do (38) za $n = 4$, $s_2 = 18$ ks a dle udání výrobce cenu $C_1 = 500$ Kčs/ks dostaneme

$$A_1 = 4 \cdot 18 \cdot 500 = \underline{36000} \quad (\text{Kčs}).$$

Položku A_2 vypočteme následovně:

$$A_2 = s_2 \cdot C_2 \quad (\text{Kčs}), \quad (39)$$

kde: C_2 - odhadová výrobní cena jednoho rámu plošiny provedená technologem nástrojárny dle výkresu rámu.

Dosazení do (39) za $s_2 = 18$ ks a $C_2 = 1500$ Kčs/ks dostaneme

$$A_2 = 18 \cdot 1500 = \underline{27000} \quad (\text{Kčs}).$$

Celkové náklady na výrobu 18 kompletních plošin budou dle (37)

$$A = 36000 + 27000 = \underline{63000} \quad (\text{Kčs}).$$

b) Náklady na roční výrobu potřebného tlakového vzduchu

Tyto náklady vypočteme na základě vztahů

$$H = \sum_{i=1}^4 H_i \quad (\text{Kčs/rok}), \quad (42)$$

$$H_i = t_{iv} \cdot V_v \cdot M_k \cdot C_6 \quad (\text{Kčs/rok}), \quad (43)$$

kde: H - roční náklady na potřebný tlak. vzduch (Kčs/rok),

H_i - roční náklady pro i-tou operaci (Kčs/rok),

t_{iv} - čas, po který je tlak. vzduch spotřebováván pro manipulaci se sekciemi daného stroje (hod/stroj),

V_v - spotřeba tlakového vzduchu plošinou (m^3/hod),

C_6 - náklady na výrobu 1 m^3 tlak. vzduchu (Kčs/ m^3).

Pro dosazení do (43) potřebujeme znát hodnoty t_{iv} . Tyto hodnoty odečteme z tabulek 1 až 8. Další hodnoty jsou:

$V_v = 30 \quad (\text{m}^3/\text{hod})$ dle udání výrobce v TPP,

$M_1 = 785 \quad (\text{strojů/rok})$ pro výrobu BD 200 RCE(RN),

$M_2 = 60 \quad (\text{strojů/rok})$ pro výrobu BDA 10,

$C_6 = 0,07 \quad (\text{Kčs}/\text{m}^3)$ dle údaje energetika závodu z hodnot platných v roce 1986.

Výpočet jednotlivých položek nákladů dle (43) bude tento:

- $i=1$; odvoz sekcí stroje BD 200 RCE(RN) do expedice

$$H_1 = 0,105 \cdot 30 \cdot 785 \cdot 0,07 = \underline{\underline{173,09}} \quad (\text{Kčs/rok}),$$

- $i=2$; odvoz sekcí stroje BDA 10 do expedice

$$H_2 = 0,168 \cdot 30 \cdot 60 \cdot 0,07 = \underline{\underline{21,17}} \quad (\text{Kčs/rok}),$$

- $i=3$; výměna sekcí při zabíhání stroje BD 200 RCE(RN)

$$H_3 = 0,035 \cdot 30 \cdot 785 \cdot 0,07 = \underline{\underline{57,70}} \quad (\text{Kčs/rok}),$$

- $i=4$; výměna sekcí při zabíhání stroje BDA 10

$$H_4 = 0,06 \cdot 30 \cdot 60 \cdot 0,07 = \underline{\underline{7,56}} \quad (\text{Kčs/rok}),$$

Pro výpočet celkových nákladů na tlakový vzduch dosadíme do vztahu (42)

$$H = 173,09 + 21,17 + 57,70 + 7,56 = \underline{\underline{259,52}} \quad (\text{Kčs/rok}).$$

c) Náklady na úpravu stojanů pod sekce a na výrobu nových

Tyto náklady určíme ze vztahu

$$J = J_1 + J_2 \quad (\text{Kčs}), \quad (44)$$

kde: J_1 - náklady na úpravu stojanů (Kčs),

J_2 - náklady na výrobení dalších stojanů (Kčs).

V současné době je vyrobeno 16 ks stojanů pod sekce, které se musí upravit (příloha 4). Náklady na úpravu vypočteme ze

$$J_1 = s_3 \cdot C_7 \quad (\text{Kčs}), \quad (45)$$

kde: s_3 - počet stojanů k úpravě (ks),

C_7 - náklady na úpravu 1 ks stojanu (Kčs/ks).

Dosadíme-li do (45) za $s_3 = 16$ ks a za $C_7 = 200$ Kčs/ks dle odhadu technologa nástrojárny bude

$$J_1 = 16 \cdot 200 = \underline{\underline{3200}} \quad (\text{Kčs}).$$

Protože je celkem potřeba 18 ks stojanů, musí se ještě dva stojany vyrobit a náklady na jejich výrobu budou tyto:

$$J_2 = s_4 \cdot C_8 \quad (\text{Kčs}), \quad (46)$$

kde: s_4 - počet stojanů k výrobě (ks),

C_8 - náklady na výrobu jednoho stojanu (Kčs/ks).

Dosadíme-li do (46) za $s_4 = 2$ ks a za $C_8 = 7500$ Kčs/ks podle nákladů na již vyrobené stojany bude

$$J_2 = 2 \cdot 7500 = \underline{\underline{15000}} \quad (\text{Kčs}).$$

Celkové náklady na stojany budou po dosazení do (44) představovat

$$J = 3200 + 15000 = \underline{\underline{18200}} \quad (\text{Kčs}).$$

d) Náklady na úpravu podlahy

Po odstranění kolejí, které spojují prostor konečných úprav s expedicí, je nutno v tomto prostoru položit vrstvu plastbetonu a provést i několik menších úprav stávajícího povrchu v celkovém rozsahu zhruba 50 m^2 . Náklady určíme ze vztahu

$$P = P_1 + P_2 \quad (\text{Kčs}), \quad (47)$$

kde: P_1 - náklady na odstranění kolejí (Kčs),

P_2 - náklady na položení vrstvy plastbetonu (Kčs).

Dle sázebníku stavebních prací činí náklady na odstranění kolejí přibližně $P_1 = 900$ Kčs.

Náklady P_2 vypočteme následujícím způsobem:

$$P_2 = s_5 \cdot C_9 \quad (\text{Kčs}), \quad (48)$$

kde: s_5 - plocha, která bude pokryta novou vrstvou (m^2),

C_9 - náklady na položení 1 m^2 plastbetonu ($\text{Kčs}/\text{m}^2$).

Dosadíme-li do (48) za $s_5 = 50 \text{ m}^2$ a $C_9 = 300 \text{ Kčs}/\text{m}^2$ dle fakturace n.p. Armabeton Praha, který plastbeton pokládá je

$$P_2 = 50 \cdot 300 = 15000 \quad (\text{Kčs}).$$

Po dosazení do (47) dostaneme celkové náklady na podlahu

$$P = 900 + 15000 = 15900 \quad (\text{Kčs}).$$

e) Náklady na rozvod tlakového vzduchu

Tyto náklady vypočteme podle vztahu

$$E = E_1 + E_2 + E_3 \quad (\text{Kčs}), \quad (49)$$

kde: E - celkové náklady na rozvod tlakového vzduchu (Kčs),

E_1 - náklady na zhotovení nosného prvku hadice (Kčs),

E_2 - náklady na výrobu a montáž nosných kladek a shrnovací lišty jeřábu (Kčs),

E_3 - náklady na nákup hadic a potřebné vzduchotechniky (Kčs).

Náklady E_1 byly odhadnuty stavebním technikem závodu s přihlédnutím k ceníku stavebníků prací na $E_1 = 1250$ Kčs.

Náklady E_2 určíme ze vztahu

$$E_2 = s_6 \cdot C_3 + C_4 + C_5 \quad (\text{Kčs}), \quad (50)$$

kde: s_6 - počet nosných kladek (ks),

C_3 - výrobní cena jedné kladky (Kčs/ks),

C_4 - výrobní cena shrnovací lišty (Kčs),

C_5 - montážní náklady (Kčs).

Dosadíme-li do (50) za $s_6 = 20$ ks, $C_3 = 200$ Kčs/ks, $C_4 = 600$ Kčs, $C_5 = 900$ Kčs (položky C_3 , C_4 , C_5 odhadl technolog nástrojárny dle výkresů a přibližné přesnosti) je

$$E_2 = 20 \cdot 200 + 600 + 900 = \underline{5500} \text{ (Kčs).}$$

Náklady E_3 určíme ze vztahu

$$E_3 = s_7 \cdot C_{10} + C_{11} \quad (\text{Kčs}), \quad (51)$$

kde: s_7 - celkové potřebné délka hadice (m),
 C_{10} - nákupní cena 1 m hadice (Kčs/m),
 C_{11} - celkové nákupní cena potřebné vzduchotechniky (Kčs).

Dosadíme-li do (51) za $s_7 = 55$ m, $C_{10} = 16$ Kčs/m dle údajů zásobovacího oddělení cena 1 m hadice DN16, $C_{11} = 5500$ Kčs opět dle údajů zásobovacího oddělení podniku, bude

$$E_3 = 55 \cdot 16 + 5500 = \underline{6380} \text{ (Kčs).}$$

Celkové náklady na rozvod tlakového vzduchu dostaneme dosazením do (49)

$$E = 1250 + 5500 + 6380 = \underline{13130} \text{ (Kčs).}$$

f) Souhrn nákladů

Sečtením uvedených nákladů získáme celkovou výši potřebné sumy W

$$W = A + J + P + E \quad (\text{Kčs}). \quad (52)$$

Dosazením jednotlivých hodnot bude

$$W = 63000 + 18200 + 15900 + 13130 = \underline{110230} \text{ (Kčs).}$$

7.4. Návratnost vynaložených nákladů

Návratnost nákladů vypočteme ze vztahu

$$n_R = \frac{W}{Z - H} \quad (\text{rok}), \quad (53)$$

kde: n_R - počet let, za které nám úspory vyrovnejí náklady,
W - celkový souhrn nákladů (Kčs),
Z - celkový roční souhrn úspor (Kčs/rok),
H - celkové roční náklady na výrobu tlakového vzduchu
(Kčs/rok).

Dosadíme do (53) dříve vypočtené hodnoty

$$n_R = \frac{110230}{26467 - 260} = 4,21 \text{ (rok)}.$$

Z uvedeného výpočtu vyplývá, že vynaložené náklady se nám v úsporách vrátí zhruba za 4 roky a 3 měsíce.

8. Závěr

Úkolem této diplomové práce byla racionálizace mezioperácní manipulace se sekciemi bezvřetenových dopředacích strojů v prostoru zapředání. Použitím plošin na vzduchovém polštáři byla odstraněna dosavadní zdlouhavá a neoperativní přeprava pomocí elektrického mostového jeřábu a kolejového vozíku.

Zkrácením času výměny sekcí na zapředacích stendech byly vykázány nejen úspory na mzdách, ale otevřel se i prostor pro zvýšení výroby strojů BD 200 RCE(RN) a BDA 10, které se očekává v příštích letech.

Ukázalo se také, že jestliže budou pracovníci dodržovat provozní předpisy navržené pro tato pracoviště, tehdy energetické náročnost navrhované přepravy bude nižší než přepravy současné.

Dalším kladem navrhovaného způsobu přepravy je i zvýšení bezpečnosti práce. Pojíždění s jeřábem, ať již s břemenem nebo jenom se závesným zařízením, ohrožuje pracovníky při plnění jejich pracovních povinností. Zvláště nebezpečné je rozkývání břemene a nikdy nelze zaručit jeho pád.

I když vypočtená doba návratnosti činí více než 4 roky předpokládám, že bude kratší, protože se v příštích letech bude vyrábět více strojů než je plánováno na letošní rok, jejichž počet byl použit ve výpočtu. Tím se zvýší úspory, ale nikoliv již náklady.

Určitým přínosem této práce již nyní je to, že v současné době se uvažuje v našem závodě o dalších pracovištích a skladových prostorách, kde by bylo vhodné využít přednosti a výhod tohoto způsobu dopravy a využít tak poznatků, vědomostí a kontaktů, které jsem získal při přípravě a zpracování této práce.

Přehled použité literatury:

- /1/ - Líbal V. a kol.: Organizace a řízení výroby; 3; SNTL 1976.
- /2/ - Matějka J.; Manipulace, skladování, balení; 13; 1985; 4; 104; Zahájení výroby přepravních plošin na vzduchovém polštáři v ČSSR.
- /3/ - Kušnír M.E.; Montažnyje i specialnyje raboty v strojítelstvě; 1975; 9; Transportnyje ustrojstva na vozdušnoj poduške.
- /4/ - Mayer J.: Teoretické základy energetických zařízení; II. díl; 2; Ediční středisko VŠST Liberec 1984.

Tab. I

$$\begin{aligned}t_1(1)_S &= 0,136 \text{ hod} \\t_1(2)_S &= 0,013 \text{ hod} \\t_1(3)_S &= 0,022 \text{ hod}\end{aligned}$$

Pokračování tab. 1

Jednotlivé úkony		Čtvrtá sekce		Pátá sekce	
odvozu sekcí BD RCE	a BD RN z prostoru	Čas	Pohyb jeřábů	Čas	Pohyb jeřábů.
kon. úprav do exp.	úko., prů nu běž.	podél	napříč	úko. nu běž.	podél
Současný stav.	t	L	L	t	napříč
Jeřáb do vých. polohy	s	m	s	m	zdvih
Zavěšení sekce	15	633		0,6	prů nu běž.
Odvoz nad poj. vozík	52	685	12 48	4	15
Ustavení na poj. vozík	20	705		60	829
Vozík do expedice	15	720		1,2	889
Zavěšení sekce	15	735		8	14
Odjezd vozíku znět	15	750		20	56
Jeřáb nad další sekci	64	814	14 56	1	1
Součet		26104	2	8	4
				2,4	16
					14
					56
					1
					4
					1,812

Tab. 2

Jednotlivé úkony odvozu sekcí BDA 10 z prostoru konečných řízení do expedice, současný stav.	První sekce				Druhá sekce				Třetí sekce													
	Čas		Pohyb jeřábu		Čas		Pohyb jeřábu		Čas		Pohyb jeřábu											
	úko nu běž. s	prů vodél nu běž.	nepříč zadní m	úko nu běž.	prů vodél nu běž.	nepříč zadní m	úko nu běž.	prů vodél nu běž.	úko nu běž.	prů vodél nu běž.	nepříč zadní m	úko nu běž.										
Jeráb do vých. polohy	122	27	108	2,5	10	0,6	4				0,6	4	15	449	0,6	4						
Zavěšení sekce	15	137		0,6	4	15	285				0,6	4	15	493	10	4						
Odvoz nad poj. vozík	28	165	6	24	1	4		36	321	8	32	1	4	44	493	10	4					
Ustavení na poj. voz.	20	185			1,2	6	20	341			1,2	8	20	513		1,2	8					
Vozík do expedice	15	200					15	356					15	528								
Zavěšení sekce	15	215					15	371					15	543								
Odjezd vozíku zvět.	15	230					15	386					15	558								
Jeráb nad dálší sek.	40	270	8	32	1	4	0,6	4	48	434	10	40	1	4	0,6	4	0,6	4				
Součet			41	164	4,5	18	3	20		18	72	2	8	2,4	16		22	83	2	8	2,4	16

Pokračování tab. 2

Jednotlivé úkony odvozu sekcí BDA 10 z prostoru konečných úprav do expedice.												Dokračování tab. 2													
Čtvrtá sekce						Pátá sekce						Šestá sekce						Pohyb jeřábu							
Čas	Pohyb jeřábu					Čas	Pohyb jeřábu					Čas	Pohyb jeřábu					Čas	Pohyb jeřábu						
úko nu nu	prů běž. t	odél L	nepříč t	zdvih L	úko nu nu	prů běž. t	odél L	nepříč t	zdvih L	úko nu nu	prů běž. t	odél nu nu	prů běž. t	nepříč zdvih L	úko nu nu	prů běž. t	odél nu nu	prů běž. t	nepříč zdvih L	úko nu nu	prů běž. t	nepříč zdvih L			
s	s	m	s	m	s	s	m	s	m	s	s	s	m	s	m	s	s	m	s	m	s	m	s		
Jeřáb do výchozí pol.																									
Zevření sekce	15	629				0,6	4	15	803							0,6	4	15	971					0,6	4
Odvoz nad vozík.	52	681	12	48	1	4																			
Ustavení na poj.voz.	20	701				1,2	8	20	861							1,2	8	20	1037					1,2	8
Vozík do expedice	15	716																							
Zavření sekce	15	731																							
Odjízd vozíku zpět	15	746																							
Jeřáb nad další sek.	42	788	6	24	3,5	14	0,6	4	50	956	8	32	3,5	14	0,6	4	58	1146	10	40	3,5	14	0,6	4	
Součet			18	72	4,5	18	2,4	16			14	56	7	28	2,4	16		18	72	7	28	2,4	16		

$$\begin{aligned}
 t_2(1)S &= 0,183 \text{ hod} \\
 t_2(2)S &= 0,042 \text{ hod} \\
 t_2(3)S &= 0,036 \text{ hod}
 \end{aligned}$$

Pokračování tab. 2

Jednotlivé úkony odvozu sekcí BDA 10. z prostoru konečných úprav sekcí do exp. Současný stav.	Sedmá sekce				Osmá sekce				Pohyb jeřábu				
	Čas	pohyb jeřábu	úk. prů běž.	podél	nagříč zdvih	úk. prů běž.	nodél	nagříč zdvih	Čas	pohyb jeřábu	úk. prů běž.	nodél	nagříč zdvih
Součet			s	s	s	s	s	s	12	48	3,5	14	1,812
Odjezd vozíku zpět	15	1274							15	1482			
Zavěšení dálší sekci	66	1340	12	48	3,5	14	0,6	4	15	1467			
Odjezd vozíku zpět	15	1259							15	1452			
Vozík do expedice	15	1244							1,2	20	1437		
Ustavení na poj. vozík	20	1229							1,2	8			
Zavěšení sekce	15	1259											
Odjezd vozíku zpět	15	1274											
Jeřáb nad dálší sekci	66	1340	12	48	3,5	14	0,6	4					
Součet			22	88	7	28	2,4	16					

Tab. 3

$$\begin{aligned}
 t_3(1)s &= 0,348 \text{ hod} \\
 t_3(2)s &= 0,061 \text{ hod} \\
 t_3(3)s &= 0,044 \text{ hod}
 \end{aligned}$$

Pokračování tab. 3

Jednotlivé úkony výměny sekcí BD RCE a BD RN na zábíhacích stendech. Současný způsob.	Čtvrtá sekce						Pátá sekce					
	Čas			Pohyb jeřábu			Čas			Pohyb jeřábu		
	úko nu běžný	při podél	napříč	úko nu běžný	při	zdvih	úko nu běžný	při	zdvih	úko nu běžný	při	zdvih
Jeráb do vých. polohy	s	s	m	s	m	s	s	m	s	t	L	t
Zavěšení sekce	20	1107			0,6	4	20	1486				
Dřesun do osy haly	10	1117		2,5	10		10	1496				0,6
Přesun do prost. mytí	90	1207	20	80	2,5	10	94	1590	21	84	2,5	10
Umištění sekce	20	1227			1,2	8	20	1610				10
Jeráb nad poj. vozík	54	1281	11	44	2,5	10	62	1672	13	52	2,5	10
Zavěšení sekce	15	1296			1,2	8	15	1687				1,2
Přesun mezi stendy	124	1420	31	124			136	1823	34	136		8
Přesun nad stend	10	1430		2,5	10		10	1833				
Uložení sekce	20	1450			1,2	8	20	1853				
Přesun nad delší sek.	16	1466	3	12		0,6	4	1677	1	4	2,5	10
Poj. vozík pod prop.	15	1120					15	1500				
Uložení sekce na voz.	30	1150					30	1530				
Přesun do haly zab.	15	1165					15	1545				
Spouštění			65	260	10	40	4,8	32		69	2750	2,2

Tab. 4

Jednotlivé úkony výměny sekcí BDA 10 na zábihacích stendech.	První sekce								Druhé sekce								Třetí sekce								
	Čas	Pohyb jeřábu							Čas	Pohyb jeřábu							Čas	Pohyb jeřábu							
		úko nu	pří nu	podél	napříč	zdvih	úko nu	pří nu		pří nu	úko nu	pří nu	podél	napříč	zdvih	pří nu		úko nu	pří nu	podél	napříč	zdvih			
Současný způsob.	s	s	m	s	m	s	m	s	s	m	s	m	s	m	s	s	m	s	m	s	m	s	m	s	
Jeráb do vých. polohy	90	90	19	76	2,5	10	0,6	4																	
Zavěšení sekce	20	110			0,6	4	20	401										0,6	4	20	706				0,6
Přesun do osy haly	10	120			2,5	10		411										2,5	10		10	718			2,5
Přesun do prost. mytí	66	186	14	56	2,5	10		66	477	14	56	2,5	10					66	784	14	56	2,5	10		
Umístění sekce	20	206					1,2	8	20	497								1,2	8	20	804				1,2
Jeráb nad poj. vozík	34	240	5	20	2,5	10		42	539	7	28	2,5	10					50	854	9	36	2,5	10		
Zavěšení sekce	15	255			0,6	4	15	554										0,6	4	15	869				0,6
Přesun mezi stendy	80	335	19	76			0,6	4	88	642	21	84						0,6	4	96	965	23	92		0,6
Přesun nad stend	10	345			2,5	10		10	652				2,5	10				10	975			2,5	10		0,6
Uložení sekce	20	365			0,6	4	20	672										0,6	4	20	995				0,6
Přesun nad dálší sek.	16	381	2	8			1,2	8	16	688	2	8						1,2	8	16	1011	2	8		1,2
Poj. vozík pod prop.	15	115							13	415								13	725						
Uložení sekce na voz.	30	145							30	445								30	755						
Přesun do haly zsb.	15	160						15	460									15	770						
Součet			59	236	125	50	5,4	36		44	179	10	40	4,8	32			48	192	10	40	4,8	32		

Pokračování tab. 4

$$\begin{aligned}
 t_4(1)S &= 0,5 \text{ hod} \\
 t_4(2)S &= 0,094 \text{ hod} \\
 t_4(3)S &= 0,071 \text{ hod}
 \end{aligned}$$

Pokračování tab. 4

Jednotlivé úkony výměny sekcí BDA 10 na zábihacích stendech.	Sedmá sekce				Čas				Osmá sekce						
	síko	prů nu	běžný L	t	Pohyb jeřábu				íko	prů nu	běžný L	Pohyb jeřábu			
					L	t	L	t				nubřený	L	t	L
Současný způsob.	s	s	m	s	m	s	m	s	s	m	s	m	s	m	s
Jeřáb do vých. polohy															
Zavěšení sekce	20	2096				0,6	4	20	2483						
Přesun do osy halý	10	2106			2,5	10			10	2493					0,6 4
Přesun do zrost. mytí	98	2204	22	88	2,5	10			98	2591	22	88	2,5	10	
Umístění sekce	20	2224				0,6	4	20	2611						
Jeřáb nad noj. vozík	50	2274	9	36	2,5	10	0,6	4	58	2669	11	44	2,5	10	0,6 4
Zavěšení sekce	15	2289				0,6	4	15	2684						0,6 4
Přesun mezi stendy	128	2417	31	124		0,6	4	136	2820	33	132				0,6 4
Přesun nad stend	10	2427			2,5	10			10	2830					0,6 4
Uložení sekce	20	2447													0,6 4
Přesun nad další sek.	16	2463	2	8		0,6	4	20	2850						0,6 4
Pojezdový vozík	15	2115													0,6 4
Uložení sekce na vozík	30	2145													
Přesun do halý záb.	15	2160													
Součet			64	256	10	40	4,9	32				67	26812,5	56,4,2	28

$$\begin{array}{lcl} t_1(1)_N & = & 0 \\ t_1(2)_N & = & 0 \\ t_1(3)_N & = & 0 \end{array}$$

Tab. 5

Tab. 6

Jednotlivé úkony odvozu sekcí	První sekce	Druhá sekce	Třetí sekce	Čtvrtá sekce	Pátá sekce
	Čas	Plošina	Čas	Plošina	Čas
BDA 10 do expedice a navezení nových. Navrhovaný způsob.	úk. prů nu běž.	L t nu běž.	úk. prů nu běž.	L t nu běž.	úk. prů nu běž.
Zapojení vzdachu	10	10	10	187	10
Odjezd pl. do exp.	22	32	17	22	25
Zavěšení sekce	15	47	15	227	15
Umístění nové sek.	30	77	30	257	30
Odjezd zpět	20	97	12	15	20
Přepojení vzdachu	15	112	15	292	15
Odjezd mezi stendy	41	153	33	41	39
Návrat do spr. mytí	24	177	22	353	20
Součet		62	78	63	79
				64	81
				66	82
					54
					69

$t_2(1)_N = 0$ hod
 $t_2(2)_N = 0$ hod
 $t_2(3)_N = 0$ hod
 $t_{2V} = 0,168$ hod

Pokračování tab. 6

Jednotlivé úkony odvozu sekcí	šestá sekce				sedmá sekce				osmá sekce			
	Čas	Plôšina	Čas	Plôšina	Čas	Plôšina	Čas	Plôšina	Čas	Plôšina	Čas	Plôšina
ZDA 10 do expedice a návezení nových a navrhovaný zpùsob.	úko nu běž.	L	t	úko nu běž.	L	t	úko nu běž.	L	t	úko nu běž.	L	t
Zapojení vzduchu	10	886			10	1051			10	1216		
Odjízda cl. do exco.	25	911	20	25	29	1080	23	29	33	1249	27	33
Zavěšení sekce	15	926			15	1095			15	1264		
Umístění nové sek.	30	956			30	1125			30	1294		
Odjízadlo zpět	20	976	12	15	20	1145	12	15	20	1314	12	15
Přepojení vzduchu	15	991			15	1160			15	1329		
Odjízadlo mezi stendy	30	1021	24	30	28	1189	22	28	26	1355	20	26
Návrat do pr. mytí	20	1041			18	1206			18	1373		
Součet		56	70		57	72			59	74		

Tab. 7

$$\begin{aligned}
 t_3(1)N &= 0,062 \text{ hod} \\
 t_3(2)N &= 0,033 \text{ hod} \\
 t_3(3)N &= 0,044 \text{ hod} \\
 t_{3V} &= 0,035 \text{ hod}
 \end{aligned}$$

Pokračování tab. 7

Jednotlivé úkony výměny sekcí BD RCE a BD RN na zábihacích stendech.		Čtvrtá sekce						Pátá sekce						
Čas	Pohyb jeř. nebo ploš.	Čas	Pohyb jeř. nebo ploš.	Čas	Pohyb jeř. nebo ploš.	Čas	Pohyb jeř. nebo ploš.	Čas	Pohyb jeř. nebo ploš.	Čas	Pohyb jeř. nebo ploš.	Čas	Pohyb jeř. nebo ploš.	
úko nu běž. s	prů du t	napříč s m s m s m s m s m s m s m s m s	úko nu běž. s	prů du t	napříč s m s m s m s m s m s m s m s m s	úko nu běž. s	prů du t	napříč s m s m s m s m s m s m s m s m s	úko nu běž. s	prů du t	napříč s m s m s m s m s m s m s m s m s	úko nu běž. s	prů du t	napříč s m s m s m s m s m s m s m s m s
Navrhovaný způsob.														
Jeřáb do vých. dolory														
Zavěšení sekce	20 491			0,6 4		20 626								
Přesun do osy haly	22 513	3	122,5 10			22 648	3	12 2,5 10					0,6 4	
Umíst. sekce na ploš.	20 533			1,2 8		20 668								
Jeřáb nad dálší ploš.	12 545	3	12			12 680	3	12					1,2 8	
Zavěšení sekce	15 560			1,2 8		15 695								
Přesun nad stend	10 570		2,5 10			10 705							1,2 8	
Uvolnění sekce	20 590			1,2 8		20 725								
Přesun nedálejší sek.	16 606	3	12			0,6 4	14 739	1	4 2,5 10				1,2 8	
Odsun ploš. k mytí	26 566	17	22			28 708	18 23							
Ustavení plošiny	10 576		5			10 718		5						
Návrat mezi stendy	18 594					19 737								
Scučet		9 17	36 27 5	20 4,8 32		7 18 28	7,5 30 4,2 28							

Tabulka 8

Jednotlivé úkony výměny sekcí BDA 10 na záběhacích stendech.	První sekce						Druhá sekce						Třetí sekce							
	Čas	pohyb jeř. nebo ploš.	Čas	pohyb jeř. nebo ploš.	Čas	pohyb jeř. nebo ploš.	Čas	pohyb jeř. nebo ploš.	Čas	pohyb jeř. nebo ploš.	Čas	pohyb jeř. nebo ploš.	Čas	pohyb jeř. nebo ploš.	Čas	pohyb jeř. nebo ploš.	Čas	pohyb jeř. nebo ploš.		
Navrhovaný způsob.	úko nu nu nu nu nu	příč. běž. t t t t t	dodél s s s s s s	nepříč s s s s s s	zdvih s s s s s s	úko nu nu nu nu nu	příč. běž. t t t t t	příč. běž. t t t t t	příč. běž. t t t t t	zdvih s s s s s s	úko nu nu nu nu nu	příč. běž. t t t t t	příč. běž. t t t t t	příč. běž. t t t t t	zdvih s s s s s s	úko nu nu nu nu nu	příč. běž. t t t t t	příč. běž. t t t t t	zdvih s s s s s s	
Jeřáb do výchozí pol.	90	90	19	76	2,5	10	0,6	4	20	233	18	251	2	8	2,5	10	0,6	4	20	356
Zavěšení sekce	20	110					0,6	4												
Přesun do osy haly	18	128	2	3	2,5	10			18											
Umíst. sekce na ploš.	20	148					1,2	8	20	271										
Jeřáb nad další ploš.	8	156	2	3					8	279	2	8								
Zavěšení sekce	15	171					1,2	8	15	294										
Přesun nad stend	10	131			2,5	10			10	304			2,5	10			1,2	8	15	417
Uvolnění sekce	20	201					1,2	8	20	324							10	427		
Přesun nad další sek.	12	213	2	8			0,5	4	12	335	2	8					1,2	8	20	447
Cd sun ploš. k mytí	20	180	14	17					20	300	14	17								
Vstupem do výložiny	10	190							10	310	5									
Návrat mezi stendy	15	205							15	325							10	430		5
Součet			25	100	27	5	30	5,4	35	6	24	5	20	4,8	32	15	445	6	24	5
			14	14	22	7,5				14	22						14	22	5	20
																		4	932	

Jednotlivé úkony
výměny sekcí BDA 10
na záhlavacích
stendech.

Pokračování tab. 6

Čas	Čtvrtá sekce				Pátá sekce				Šestá sekce						
	úk o	příru	dodél	napříč	zdvih	úk o	příru	dodél	napříč	zdvih	úk o	příru	dodél	napříč	zdvih
nu běž.	L	t	L	t	L	nu běž.	L	t	L	t	L	t	L	t	L
Navrhovaný způsob.	s	s	m	s	m	s	s	m	s	m	s	s	m	s	m
Jeřáb do vých. polohy															
Zavěšení sekce	20	479		0,6	4	20	602		0,6	4	20	725			
Přesun do osy haly	18	497	2	8	2,5	10	18	620	2	8	2,5	10	18	743	2
Umíst. sekce na ploš.	20	517			1,2	8	20	640			1,2	8	20	763	
Jeřáb nad delší ploš.	8	525	2	8			8	648	2	8			8	771	2
Zavěšení sekce	15	540			1,2	8	15	663			1,2	8	15	786	
Přesun nad stend	10	550		2,5	10		10	673		2,5	10		10	796	
Uvolnění sekce	20	570			1,2	8	20	693			1,2	8	20	816	
Přesun nad delší sek	12	582	2	8		0,6	4	12	705	2	8		0,6	4	12
Odsun ploš. k mytí	20	540	14	17				30	675	22	27			30	800
Ustanovení plošiny	10	550		5				10	685	5				10	810
Návrat mezi stendy	15	565						25	710					25	835
Součet			6	24	5	20	4,8	32		6	24	5	20	4,8	32
			14	22				22	32	5	20	5	22	32	

$t_4(1)N = 0,073$ hod
 $t_4(2)N = 0,05$ hod
 $t_4(3)N = 0,071$ hod
 $t_{4V} = 0,06$ hod

Pokračování tab. 8

Jednotlivé úkony výměny sekcí BDA 10 na zábiacích stendech.	Sedmé sekce						Osmá sekce					
	Čas		Pohyb jeř. nebo ploš.				Čas		Pohyb jeř. nebo ploš.			
	úko	črù	podélný	nanoříč	zdvih		úko	črù	přu	podél	nanoříč	zdvih
Navrhovaný zvýšeb.	nu	běžný	L	t	L	t	nu	běž.	L	t	L	t
	s	s	m	s	m	s	s	s	m	s	m	s
Jeřáb do výč. dolohy	20	848					0,6	4	20	971		
Zavěšení sekce	18	866	2	8	2,5	10			18	989	2	8
Přesun do osy haly	20	886					1,2	8	20	1009		
Umišt. sekce na ploš.												
Jeřáb nad další ploš.	8	894	2	8					8	1017	2	8
Zavěšení sekce	15	909					1,2	8	15	1032		
Přesun nad stend	10	919		2,5	10				10	1042		
Uvolnění sekce	20	939					1,2	8	20	1062		
Přesun nad další sek.	12	951	2	8								
Odsun ploš. k mytí	30	930	22	27					30	1050	22	27
Ustavení plošiny	10	940		5					10	1060		5
Návrat mezi stendy	25	965							25	1085		
Součet			6	24	5	26	4,8	32		5	22	7,5
			22	32					22	32	4,22	

Poč. ks	Název Rozměr	Polotovar	Materiál konečný	Materiál výchozí	Tř. odpovád čí	Čís. odpovád čí	Hrubá váha	Číslo vykresu	Pos.
2	U 80 - 2600	ČSN425570	11373.0		001		22,45		1
1	U 80 - 710	ČSN425570	11373.0		001		6,15		2
1	U 80 - 710	ČSN425570	11373.0		001		6,15		3
3	U 80 - 620	ČSN425570	11373.0		001		5,35		4
1	PLO 32x6-250	ČSN426522	11373.0		001		0,35		5
2	TR KR 16x15-1956	ČSN426713	11373.0		001		1,05		6
1	TR KR 16x15-576	ČSN426713	11373.0		001		0,35		7
1	TR KR 16x15-576	ČSN426713	11373.0		001		0,35		8
4	TR KR 16x15-234	ČSN426713	11373.0		001		0,15		9
8	KR 30 - 32	ČSN426510	11500.0		001		0,20		10
8	PLO 25x8-25	ČSN426522	11373.0		001		0,05		11
4	PNEUM. OP. 330						7,00		12
1	RYCHLOSPOJKA RA3 JK 414926650028						0,25		13
4	SPOJKA T Jsl3	ČSN137890					0,20		14
4	SPOJKA ÚHL. Jsl3	ČSN137885					0,15		15
20	MATICE Jsl3	ČSN137950					0,05		16
20	TĚS. PRSTEN Jsl3	ČSN137931					0,01		17
8	ŠROUB M8x30	ČSN021143					0,01		18

25.4.1987

V. S.
LISIČÍK
Fai Česká rep.

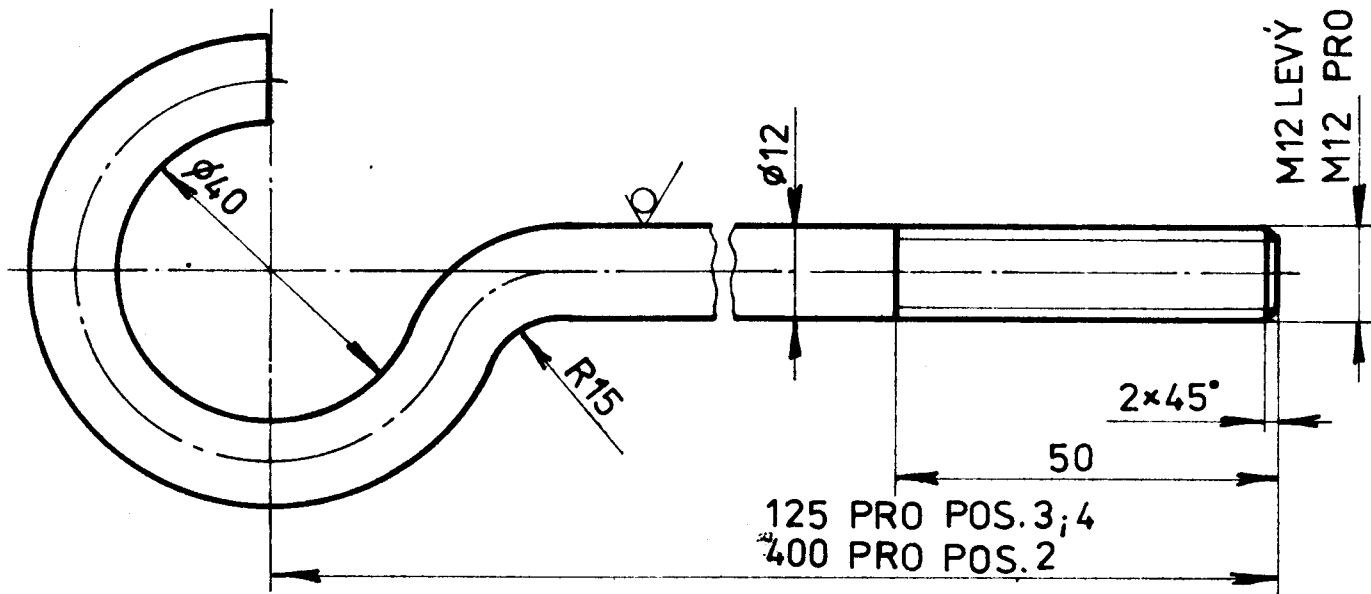
P L O Š I N A

4 - KOM - OM - 502 - 01 - 01

1. stránka 3

3

6,3 ✓✓
M12 LEVÝ PRO POS. 4
M12 PRO POS. 2; 3



1	Φ12-210	ČSN425510	11 500		001	. .	0,20		4
1	Φ12 210	ČSN425510	11 500		001	. .	0,20		3
2	Φ12-485	ČSN425510	11.500		001	. .	0,50		2

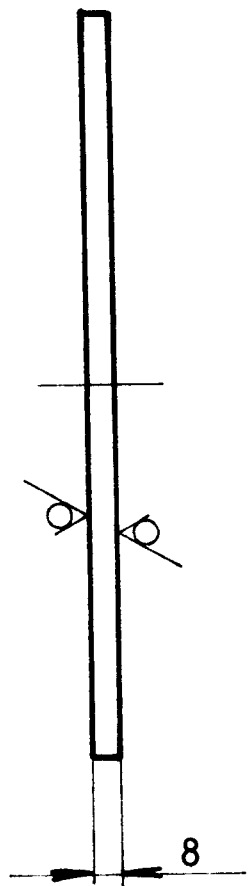
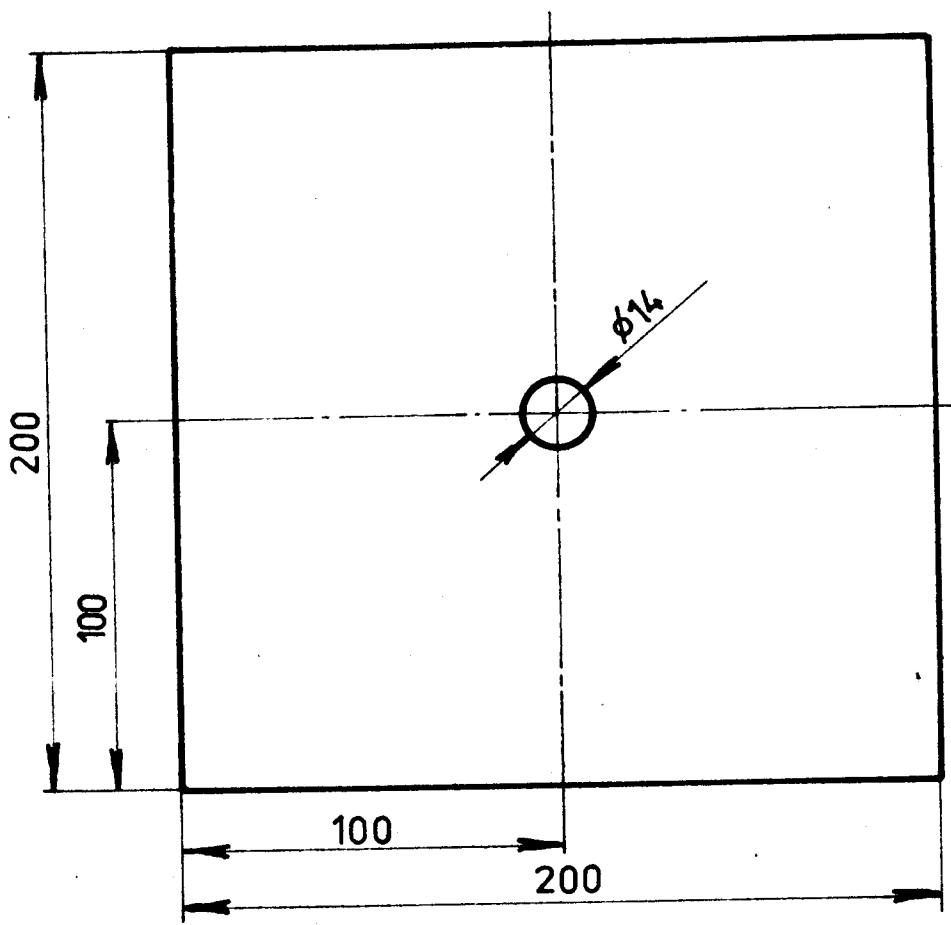
1:1

25.4.87

HÁK I.-III.

4-KOM-OM-502-04-02

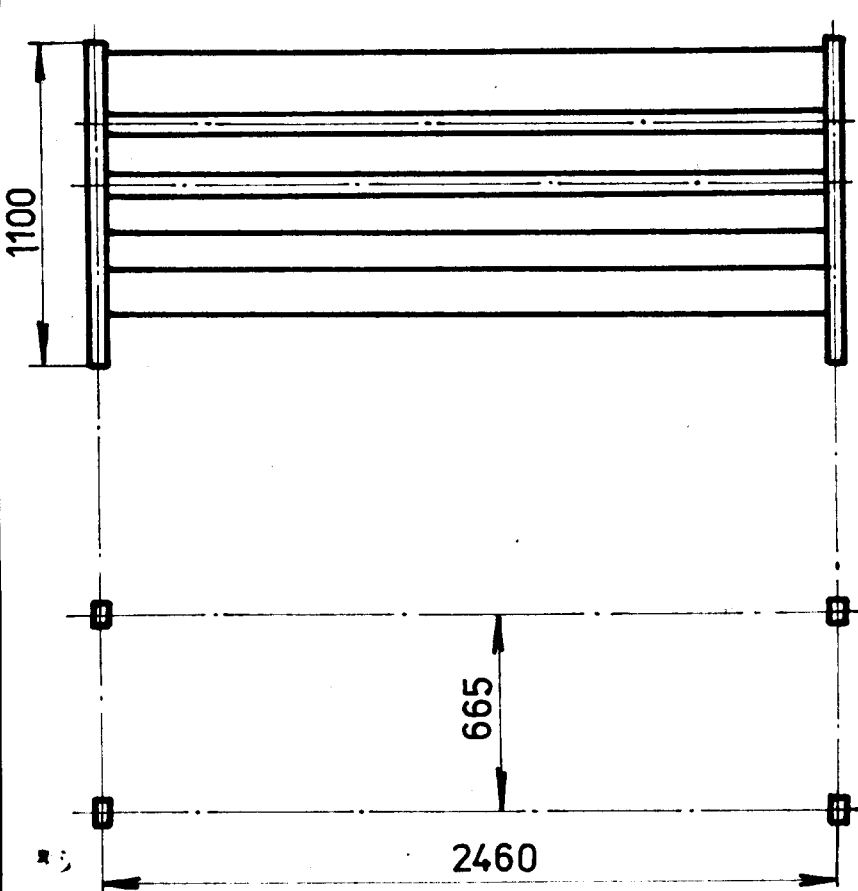
12,5



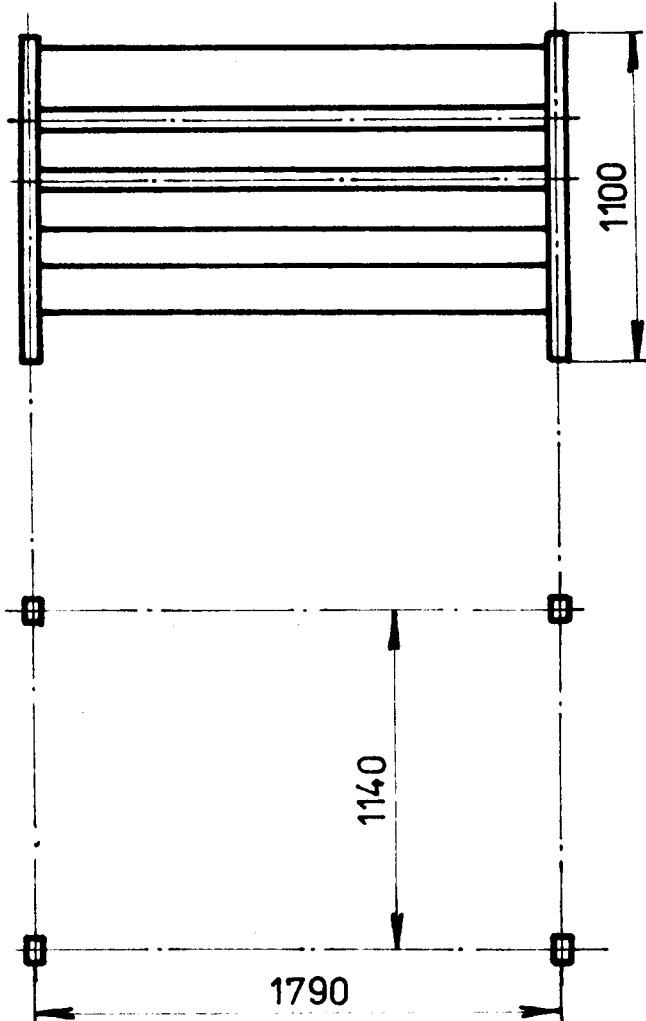
P 8-200x200	ČSN425310	11 364	007	2,40	1
číslo řádku	pojetovar	met. číslo	met. ročník		
1:2	<i>Huller's</i>				
	Schval.	C. číslo			
	Dne 25.4.87				
	čp	skupina	číslo výkresu		
DESKA		4-KOM-0M-502-04-03			

BD 200 RCE (RN)

BDA 10



HMOTNOST: 600 KG



HMOTNOST: 900 KG

Kullman

25.4.87

ROZMĚRY SEKcí

PŘÍLOHA 1

8

9.

2	ŠKRT. VENTIL	SV 15				14
2	ODLUČ. VODY	FVP-13/40A				13
1	OVL. SKŘÍŇKA	OSK-A				12
1	HADICE	DN16-55m				11
						10
2	PODLOŽKA 13	ČSN021701				9.
4	MATICE M12	ČSN021401			0,02	8
1	MATICE M12	ČSN021682			0,30	7
1	LANO 5 x 41,5	ČSN024322.68/ČSN024481.36			3,30	6.
						5
1	HÁK III. ø12- 210	ČSN425510	11 500	001	0,20	4
1	HAK II. ø12- 210	ČSN425510	11 500	001	0,20	3
2	HÁKI. ø12-485	ČSN425510	11 500	001	0,50	2
2	DESKA P8-200x200	ČSN425310	11 373	001	2,40	1

1:10				

ZÁVĚSNÉ ZAŘ.
A VZDUCH. TECH.

3-KOM-OM-502-04-01

Poket Hora

25. 4. 87

6.

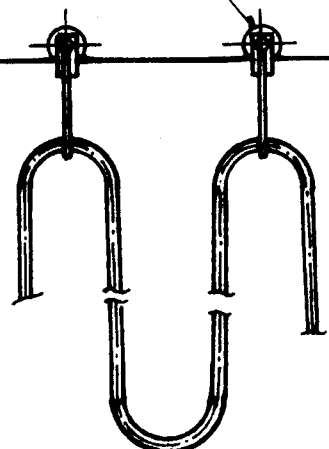
4

3

2

1

2-KOM-0M-502-02-00



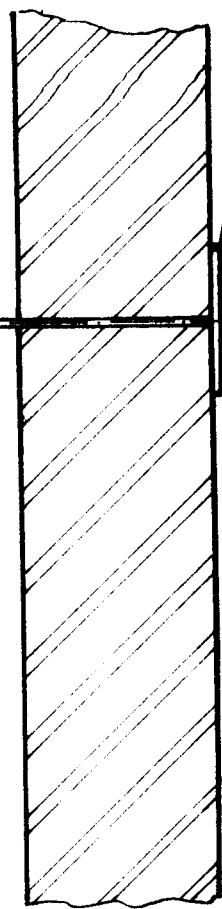
11

12

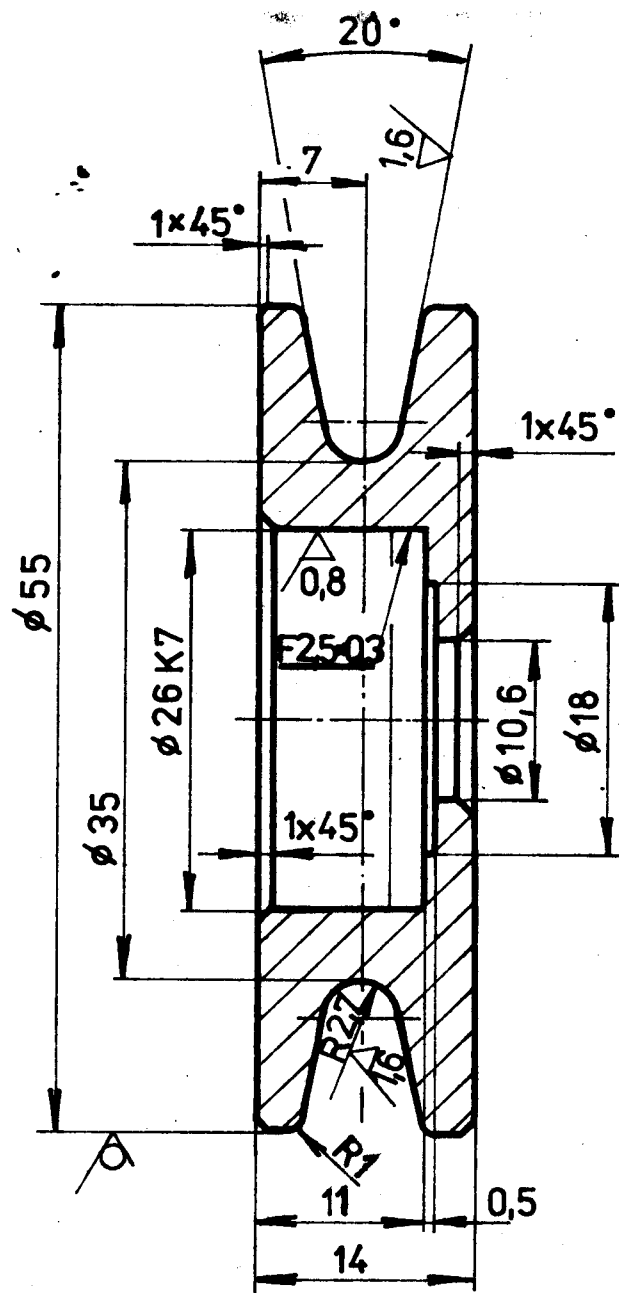
13

14

7

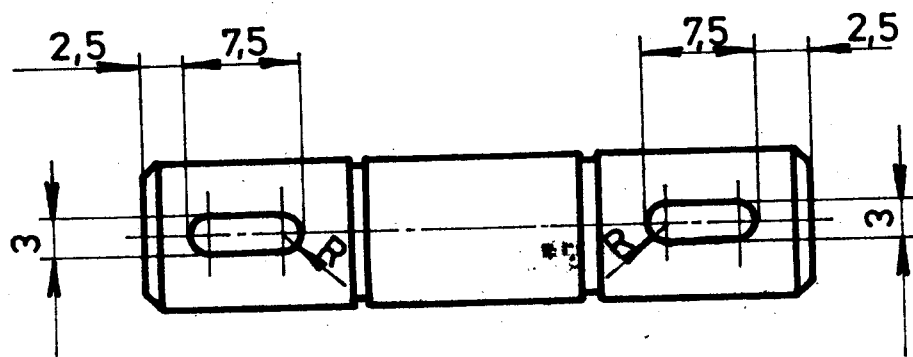
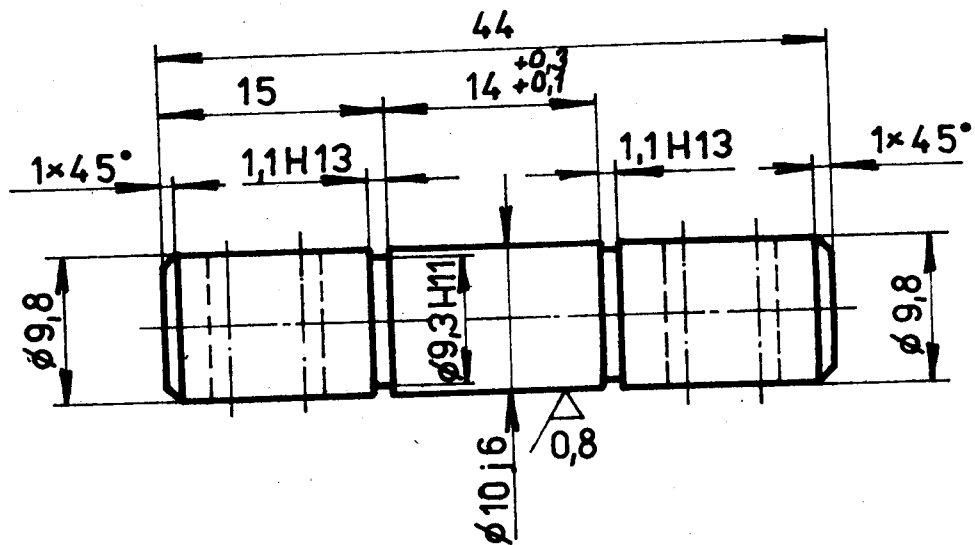


3,2



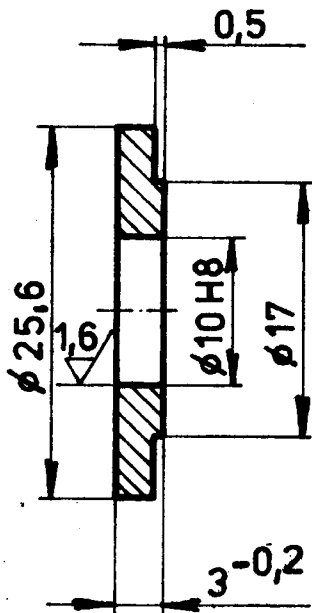
Ø55-16		ČSN426510	11 500.0	001	0,25
Přísluš.	Název	Rezér.	Položovář	Mat. konečný	Mat. výchozí
Příslušenství					Celkově čistá hmotnost v kg
100000.	1. kus	<i>Hultman J.</i>		C. snímek	
2. kus					
3. kus					
Norm. ref.					
Výr. projekčník	Schválil		C. transp.		
	Dne 25.4.87				
Typ		Skupina		Starý výkres	Nový výkres
Název					
KLADKA		4-KOM-0M-502-02-01			
Počet listů					

6,3



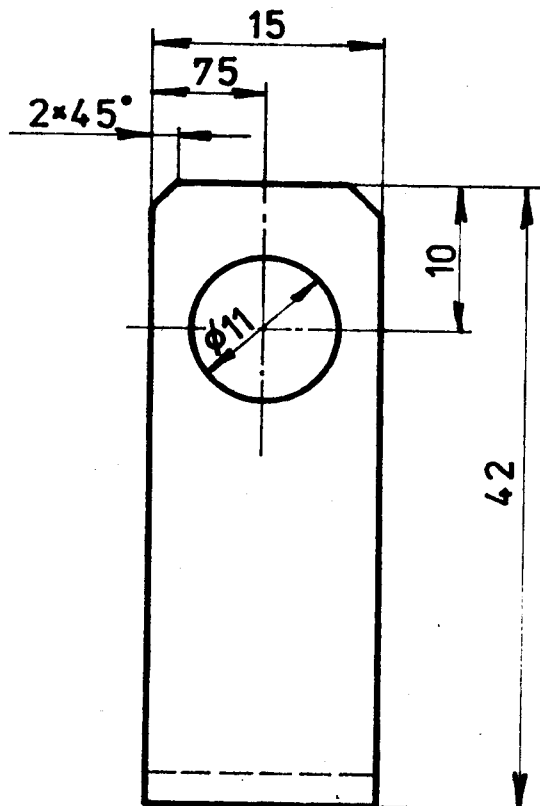
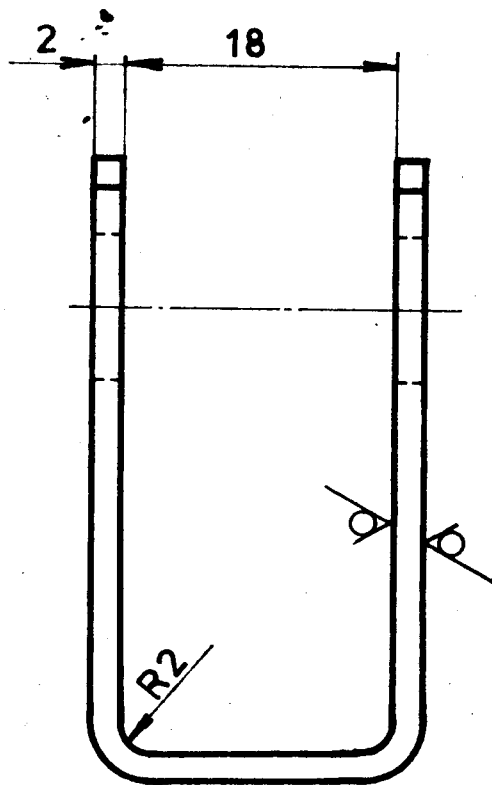
Ø11-45	ČSN 426510	11 600.0	001	0,03
číslo výkresu	Název Rezimér	Položovat	Mat. konečný	Mat. výchozí
Celkové čisté hmota v kg				
Pezačného Měřítko: 2:1 Kreslil: <i>Kutilek</i> Měřitoucí: Norm. ref.: Výr. projednat: Schválil: C. transfor: Dne: 25.4.87				
Typ		Skupina	Starý výkres	Nový výkres
Název		ČEP		
		4-KOM-0M-502-02-02		
		Podpis Hráček		
		Lhot		

6,3 ✓ ✓ ✓



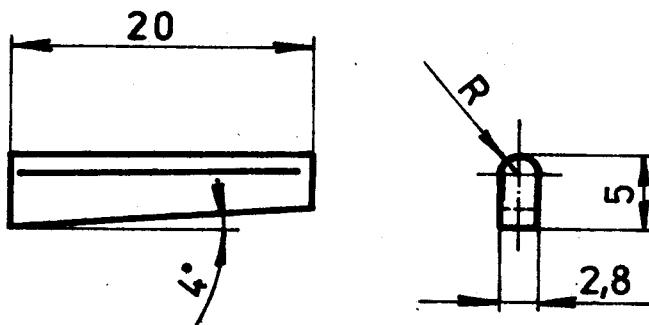
Ø 26-3	ČSN426510	11500.0	001	0,01				
Počet ks	Název Rozměr	Položka	Mat. konečný	Mat. výchozí	Hlava odst.	C. hmoty	Hr. hmoty	Cíle výrobky
Poznámka				Celková hmotnost v kg				
Měřítko 2:1	Kreslil	<i>H. Klempt</i>	C. námkou	a	E			
	Pracovník		b	F	G			
	Norm. ref.		c	H	I			
	Výr. projednat	Schválil	d	J	K			
		Dne 25.4.87	e	L	M			
	Typ	Skupina	Starý výkres			Nový výkres		
	Název							
	KRYT					4-KOM-0M-502-02-03		
						Počet kartí		
						List		

6,3 ✓✓✓



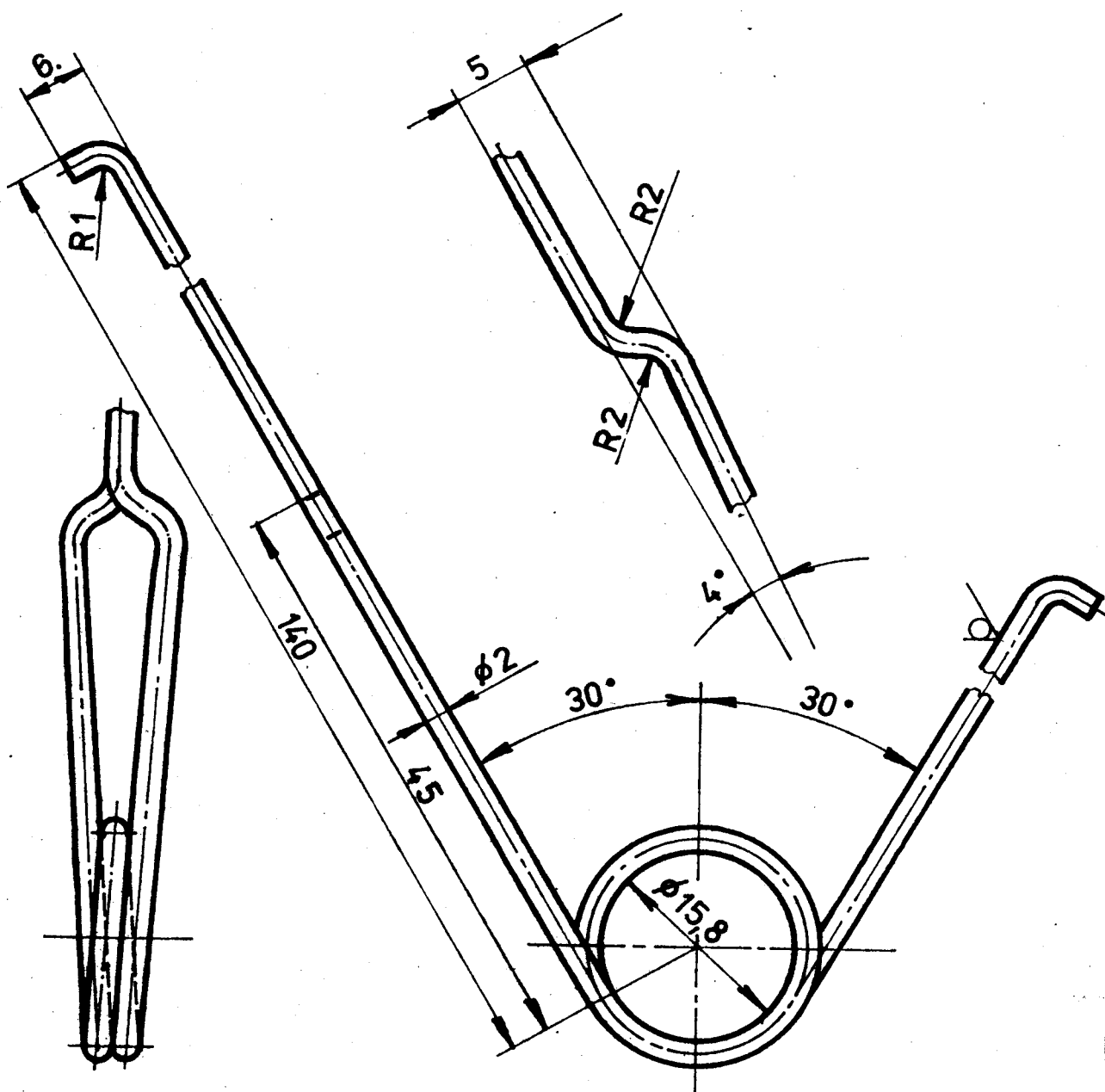
Příloha	P 2 - 15x102	ČSN 425301	11373.0	001	0,02			
Název plazmář	Název plazmář	Poločovar	Mat. koncový	Mat. výchozí	Thick. mm.	Cíhla	Hr. hmoty	Cíhla v hmotě
Poznámka						Celková čistá hmota v kg		
2:1	Kreslil M. Štěpánek	<i>K. Štěpánek</i>	Č. animku					
Norm. ref.								
Výr. projednatel	Schválil	C. řešení						
	Dne 25.4.87							
		Typ	Skupina	Starý výkres	Nový výkres			
		Název	TŘMEN	4-KOM-0M-502-02-04			Počet krtků	
							Litr	

32



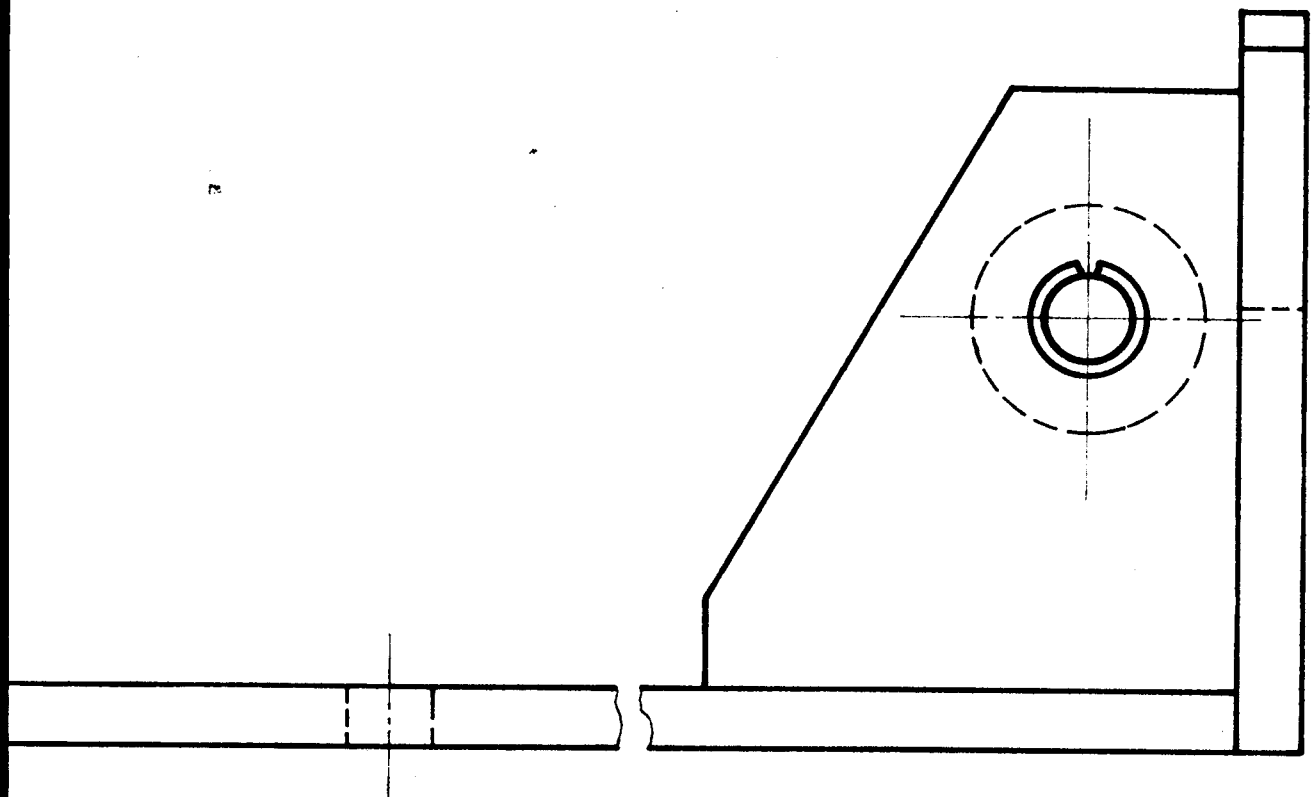
5 x 3-20		ČSN426522	11600.0	001	0,01			
Počet kusů	Název Řezání	Položová	Mater. koncový	Mater. výčesat	Thick exp.	Chmota	Hr. hmoty	Cílové výčesu
Poznámka		Celková čistá hmota v kg						
Měřítka 2:1	Kreslil	<i>Kalter</i>		Cenímková				
	Překoušel							
	Norm. ref.							
	Výr. projednat	Schváili	C. řezací					
		Dne 25.4.87						
		Typ	Skupina	Senzor výčesu		Nový výčes		
		Název						
		KLÍN						
				4-KOM-0M-502-02-05				
				Počet kusů		Lit		

6,3 ✓✓



$\phi 2-375$	$\text{ČSN}42\,6450$	12090.6	002	0,01	
Počet kusů	Název Rozměr	Polotovar	Mat. konečný	Mat. výchozí	Průdušek číslo Č.hmoty Hr.hmoty
Peznámka					
Měřítko	Kreslil	<i>H. K. L.</i>	C. s námkou	Celková čistá hmota v kg	
2:1	Př. zkoušel			<input checked="" type="checkbox"/> A	<input type="checkbox"/> B
Norm. ref.				<input type="checkbox"/> C	<input type="checkbox"/> D
Výr. projednot	Schválil	C. transp.		<input type="checkbox"/> E	<input type="checkbox"/> F
	Dne 25.4.87			<input type="checkbox"/> G	<input type="checkbox"/> H
				<input type="checkbox"/> I	<input type="checkbox"/> J
				<input type="checkbox"/> K	<input type="checkbox"/> L
				<input type="checkbox"/> M	<input type="checkbox"/> N
				<input type="checkbox"/> O	<input type="checkbox"/> P
				<input type="checkbox"/> Q	<input type="checkbox"/> R
				<input type="checkbox"/> S	<input type="checkbox"/> T
				<input type="checkbox"/> U	<input type="checkbox"/> V
				<input type="checkbox"/> W	<input type="checkbox"/> X
				<input type="checkbox"/> Y	<input type="checkbox"/> Z
	TYP	Skupina	Starý výkres	Nový výkres	
	Název				
ZÁVĚS				4-KOM-0M-502-02-06	
Počet listů				List	

1



1. MIMO POS. 4,5 A 7 NÁTĚR č. 5/4265 EUST 038009

4	POJ. KROUŽEK 12	ČSN 022930						7
2	KLADKA ø30-29	ČSN 426510	11 500.0		001	0,03		6.
2	ČEP ø12-50	ČSN 426510	11 500.0		001	0,03		5
4	→ 70×6-82	ČSN 426522	11 373.0		001	0,27		4
2	→ 50×8-100	ČSN 426522	11 373.0		001	0,31		3
1	→ 50×8-600	ČSN 426522	11 373.0		001	1,87		2
								1

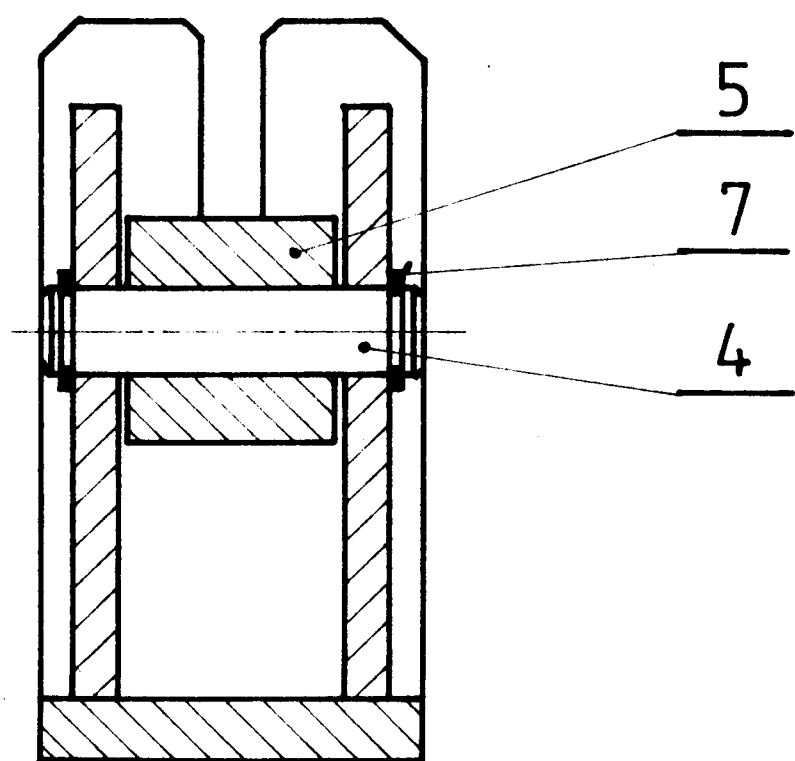
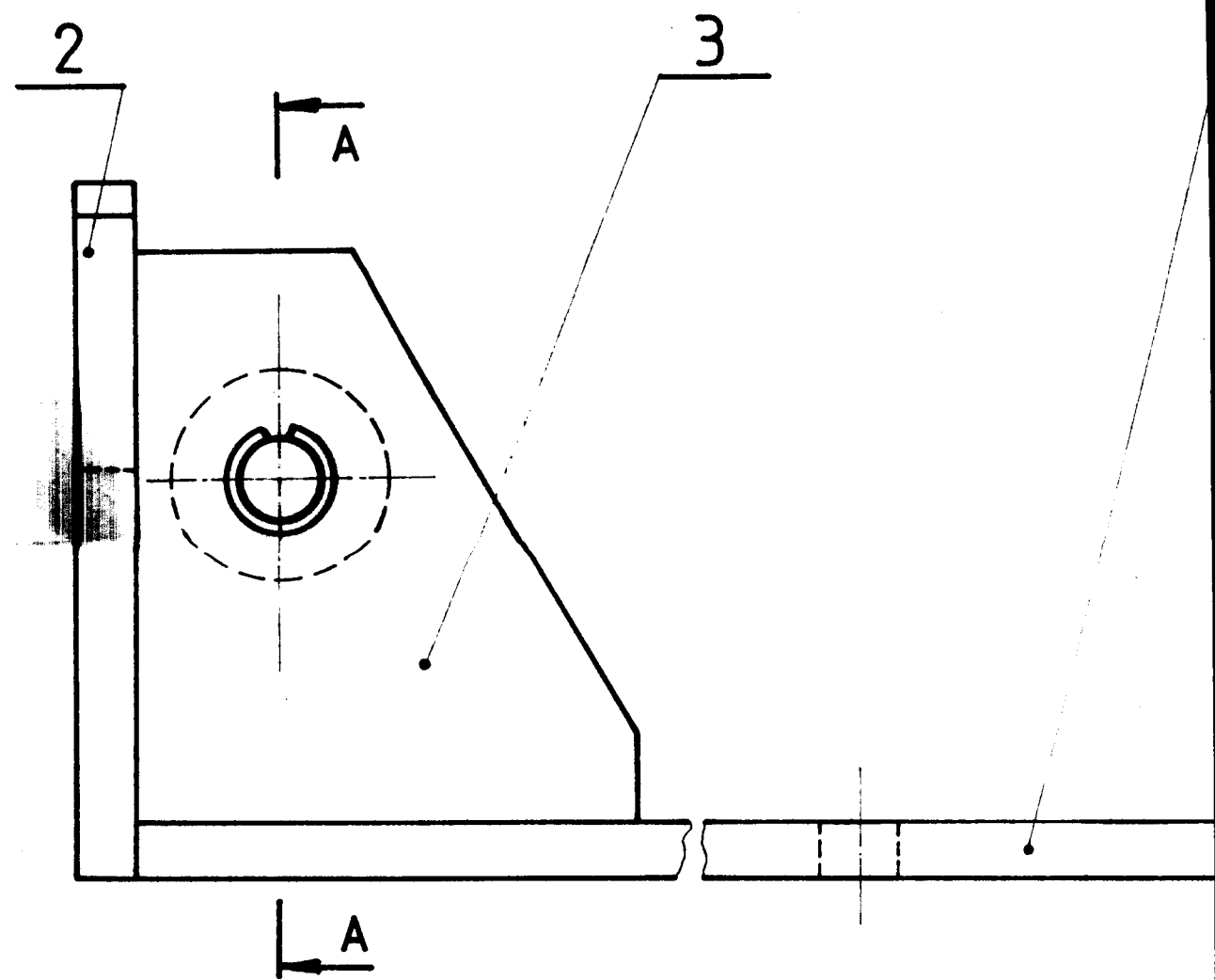
Kulhavý ř.

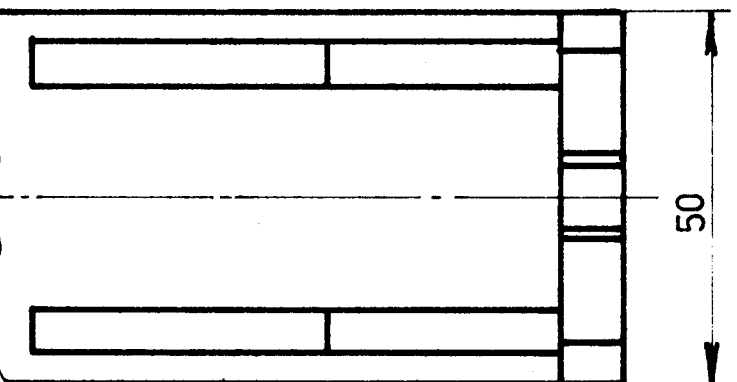
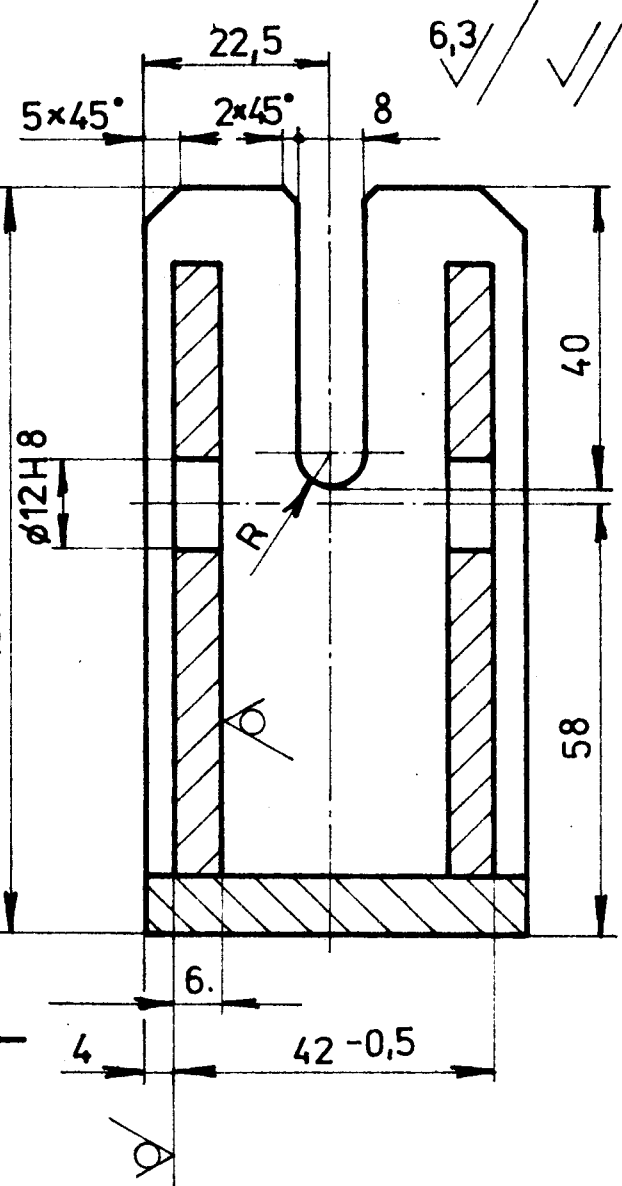
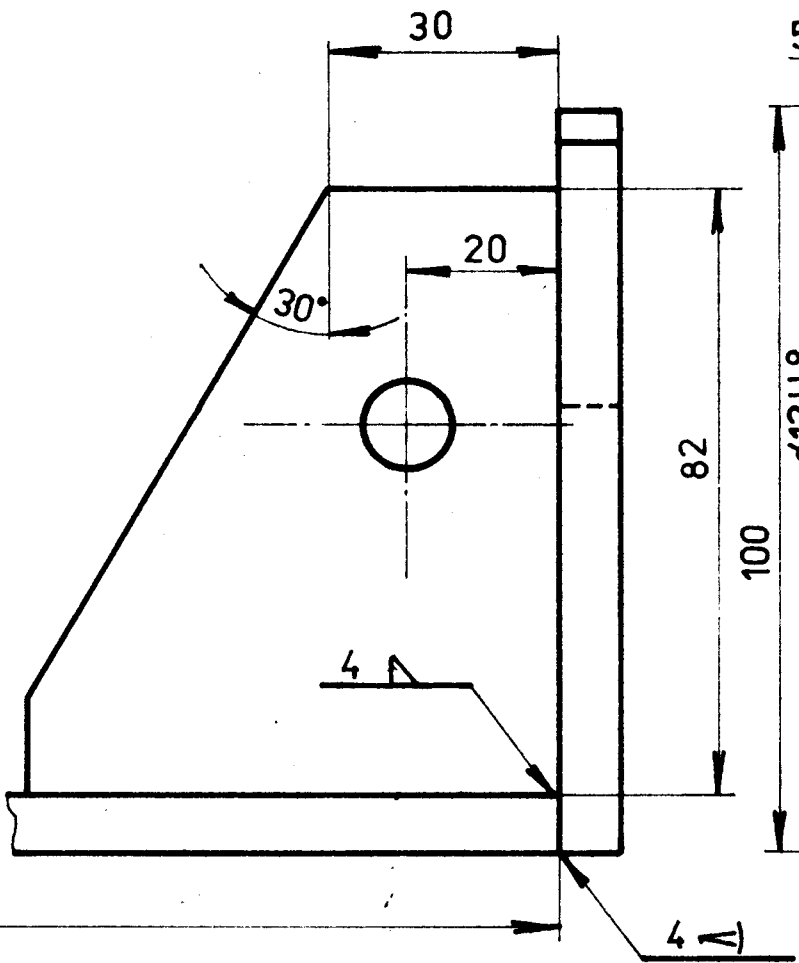
1:1

25.4.87

SHRN. LIŠTA

3-KOM-0M-502-03-01





DLE ROZPISU

zpracoval:

platovat:

Materiály a výrobci:

1:3

1:1

Dne 25.4.87

typ

Skupina

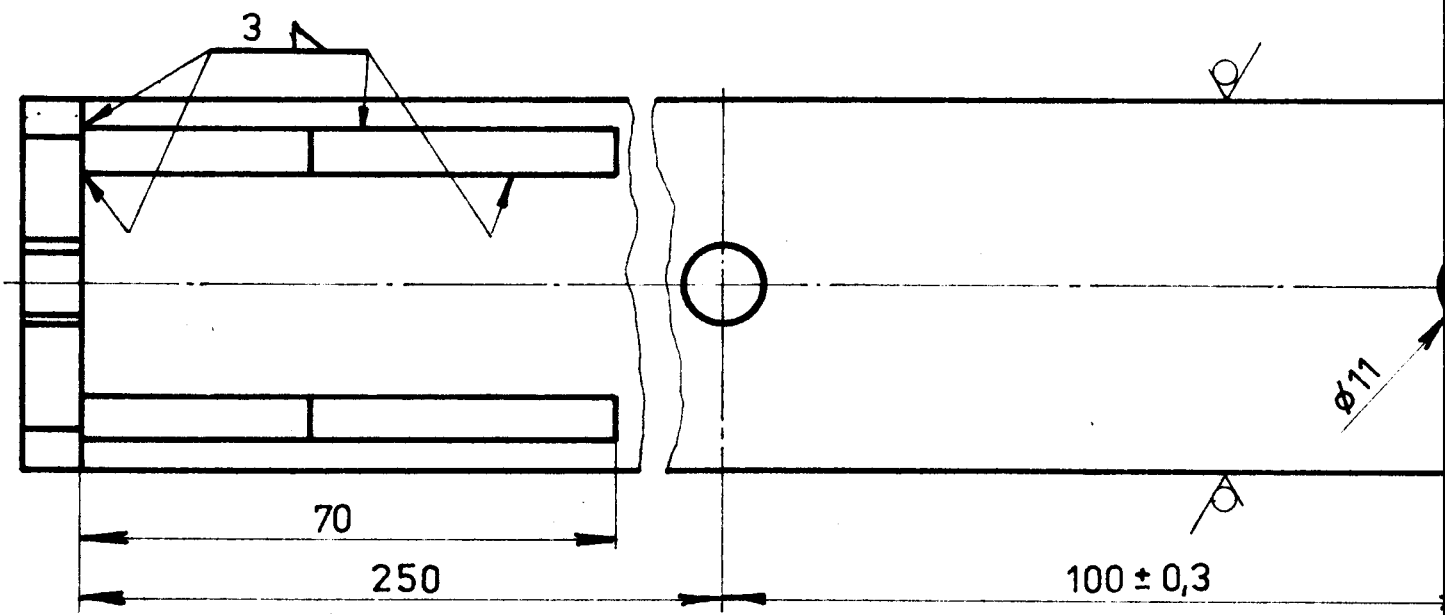
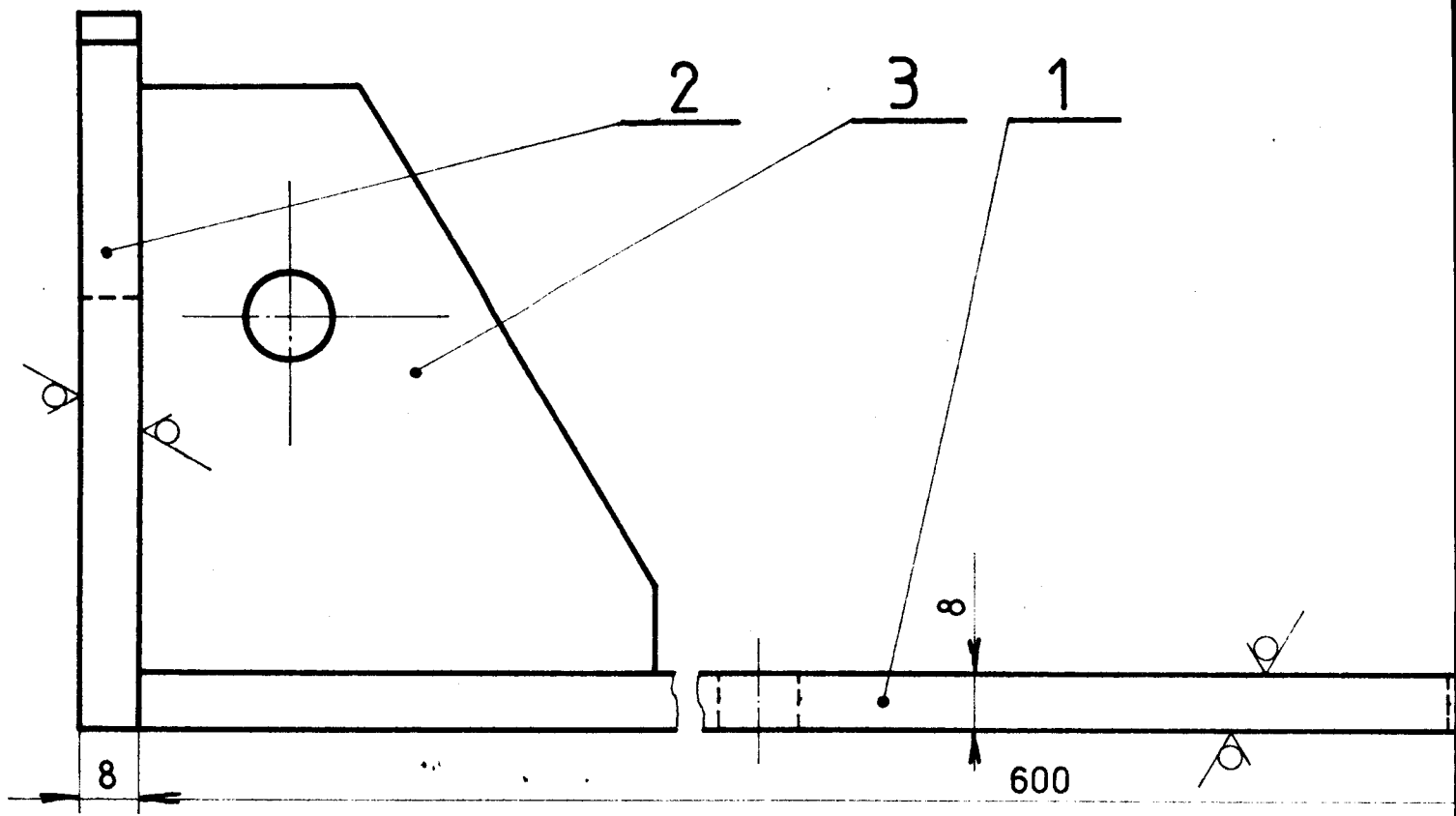
Uzav. výkres

UVV

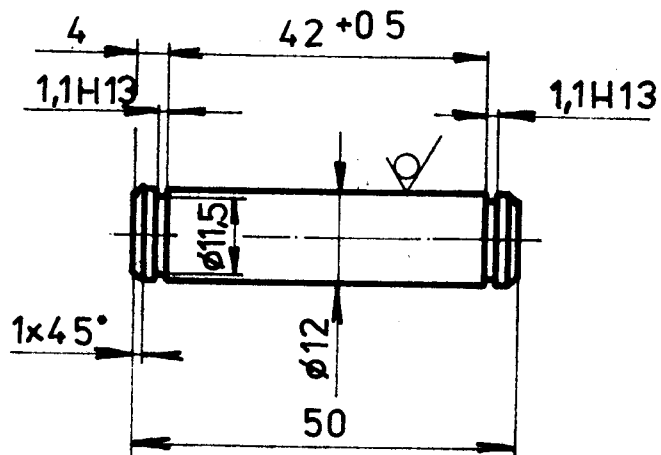
NOSNÍK

3-KOM-0M-502-03-02

Fotoř. listy



3,2/ / ✓ /



Ø12-50

ČSN426510

11 500.0

001

0,03

4

1:1

Kvetko J.

25.4.87

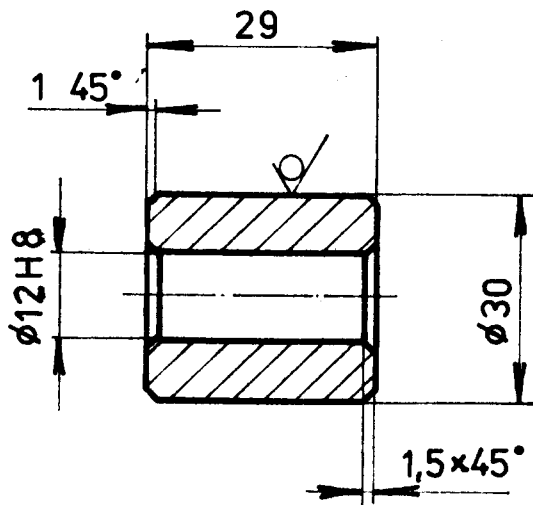
skupina

výkres

ČEP

4-KOM-OM-502-03-03

3,2 // ✓//



030-29

ČSN426510

11 500.0

001

0,03

5

Kulten

1:1

Due 25.4.87

4-KOM-0M-502-03-04

KLADKA